

مقالات‌های پژوهشی

- بررسی تأثیر سلول‌های بنیادی پالپ دندان شیری انسانی بر سلول‌های توموری K562 در شرایط هم‌کشتی ۱۶۳۳
منا گرجی، دکتر بتول هاشمی بنی، دکتر حمید بهرامیان، دکتر حسین صالحی، راضیه علی پور، مریم علی‌اکبری
اثر ضد قارچی انسانی گیاه خوشابز (Echinophora platyloba) بر گونه‌های کاندیدایی جدا شده از واژینیت ۱۶۴۶
کاندیدایی در مقایسه با فلوکوتونازول ۱۶۴۶
نوید امینیان، دکتر پروین دعماقان، دکتر مصطفی چادگانی پور، دکتر ابراهیم سجادی، مریم یزدی
 تشخیص کاندیدیازیس واژینال با استفاده از استخراج اتوماتیک قارچ کاندیدا در تصاویر مربوط به نمونه‌های پاپ اسمیر ۱۶۵۹
محمد رضا مؤمن‌زاده، دکتر ارشیدیر طالبی، دکتر علیرضا مهری دهنری، دکتر حسین ربانی

مقاله موروثی

- اینفلاماژوم و نقش آنها در بیماری‌ها ۱۶۶۸
امین توسلی، دکتر علیرضا حق پرست

مقاله کوتاه

- بررسی میزان فراوانی استافیلوکوکوس‌های اورئوس جدا شده از سواب بینی کودکان مهدیهای کودک اصفهان .. ۱۶۹۰
دکتر حمید رحیمی، دکتر مژگان لقمانی، پریسا شعاعی، رامین دیباچ، دکتر بهروز عطایی، عباس داعی ناصر، دکتر حسن شجاعی

Original Articles

- The Effects of Coculture of Stem Cells from Human Exfoliated Deciduous Teeth (SHED) on K562 Tumor Cells 1645
Mona Gorji, Batoul Hashemibeni PhD, Hamid Bahramian PhD, Hosein Salehi PhD, Razieh Alipour MSc, Maryam Aliakbari
Antifungal Effect of Echinophora Platyloba Essence against the Candida Species Isolated from Vulvovaginal Candidiasis, Compared with Fluconazole 1658
Navid Aminian MSc, Parvin Dehghan PhD, Mostafa Chadeganipour PhD, Ebrahim Sajadi PhD, Maryam Yazdi MSc
Diagnosis of Vulvovaginal Candidiasis via Automatic Extraction of Candida Fungus from Pap Smear Images ... 1667
Mohammadreza Momenzadeh, Ardesir Talebi MD, Alireza Mehri-Dehnavi PhD, Hossein Rabbani PhD

Review Article

- Inflamasomes and Their Role in Diseases 1689
Amin Tavassoli MSc, Alireza Haghparast DVM, PhD

Short Communication

- A Study on Frequency of Nasal Staphylococcus Aureus Colonization in Children from Kindergartens in Isfahan City, Iran 1697
Hamid Rahimi MD, Mojgan Loghmani MD, Parisa Shoaei MSc, Ramin Dibaj MSc, Behrouz Ataei MD, Abbas Daei Naser, Hasan Shojaei PhD



محله دانشکده پزشکی اصفهان

سال سی و دوم، شماره (۳۰۴)، هفته اول آذر ۱۳۹۳

صاحب امتیاز:

دانشگاه علوم پزشکی و خدمات بهداشتی- درمانی استان اصفهان

مدیر مسؤول: دکتر منصور شعلهور

سردبیر: دکتر مجید برکتین

معاون سردبیر: دکتر رضا روزبهانی

امور نشر:

(ویراستاری، صفحه آرایی، طراحی و چاپ)

شرکت فرزانگان راداندیش

اصفهان، صندوق پستی ۸۱۴۶۵-۱۷۹۸

تلفن و دورنگار: ۰۳۱۱-۶۶۸۶۳۰۲

f.radandish@gmail.com
www.farzaneganco.ir

تیراژ: ۵۰۰ نسخه

ناشر:

انتشارات دانشگاه علوم پزشکی اصفهان

نشانی: اصفهان، خیابان هزار جریب، دانشگاه علوم پزشکی اصفهان

E-mail: publications@mui.ac.ir

دفتر مجله: دانشکده پزشکی صندوق پستی: ۸۱۷۴۴/۱۷۶

مسئول دفتر: گلناز رجبی

دورنگار: ۰۳۱۱-۷۹۲۲۲۹۱

تلفن: ۰۳۱۱-۶۶۹۴۷۳۷

E-mail: jims@med.mui.ac.ir

http://www.journals.mui.ac.ir/jims

وب سایت مجله:

این مجله در نمایه‌های بین‌المللی زیر در دسترس قرار دارد.

- Scopus
- Chemical Abstracts
- Islamic World Science Citation Center (ISC)
- Academic Search Complete EBSCO Publishing databases
- WHO/EMRO/Index Medicus

- Google Scholar
- Index Copernicus
- Directory of Open Access Journal (DOAJ)
- Index Academicus
- Scientific Information Database (www.sid.ir)
- www.iranmedex.com

کپیرایت: چاپ مطالب مندرج در این مجله به شرط ذکر منبع مجله بلامانع است.

تصاویر رنگی مقالات و کلیپهای ویدئویی بر روی وب سایت مجله قابل دسترسی می‌باشند

اعضای شورای نویسندگان مجله دانشکده پزشکی اصفهان (به ترتیب حروف الفبا)

نام و نام خانوادگی	مرتبه علمی
۱- دکتر مجتبی اطحی	دانشیار، متخصص گوش و حلق و بینی، دانشگاه علوم پزشکی اصفهان، اصفهان، ایران
۲- دکتر ابراهیم اسفندیاری	استاد، متخصص علوم تشریحی، دانشگاه علوم پزشکی اصفهان، اصفهان، ایران
۳- دکتر محمد اسماعیل اکبری	استاد، فوق تخصص جراحی، دانشگاه علوم پزشکی تهران، تهران، ایران
۴- دکتر فرامرز اسماعیل بیگی	استاد، متخصص داخلی، دانشکده پزشکی، آمریکا
۵- دکتر افسون امامی	دانشیار، فوق تخصص نفروЛОژی، دانشگاه علوم پزشکی اصفهان، اصفهان، ایران
۶- شاهین امامی	گروه بیوشیمی و غدد داخلی، بیمارستان سن آنتونیو، فرانسه
۷- دکتر علیرضا امامی	دانشیار، متخصص بیماری های عفونی و گرمسیری، دانشگاه علوم پزشکی اصفهان، اصفهان، ایران
۸- دکتر بابک امرا	استاد، فوق تخصص رید، دانشگاه علوم پزشکی اصفهان، اصفهان، ایران
۹- دکتر رضا امین	استاد، متخصص اطفال، دانشگاه علوم پزشکی شیراز، شیراز، ایران
۱۰- دکتر کن باست	استاد، متخصص بیماری های پوستی، مرکز تحقیقات پوست و لیشماینیوز، کانادا
۱۱- دکتر رضا باقریان سرارودی	استادیار، متخصص روانشناسی، دانشگاه علوم پزشکی اصفهان، اصفهان، ایران
۱۲- دکتر مجید برکتین	دانشیار، متخصص روانپزشکی، دانشگاه علوم پزشکی اصفهان، اصفهان، ایران
۱۳- فرزین پور فرزاد	گروه زیست شناسی سلولی و ژنتیک، دانشگاه اراسموس، روتردام، هلند
۱۴- دکتر مسعود پورمقدس	استاد، متخصص قلب و عروق، دانشگاه علوم پزشکی اصفهان، اصفهان، ایران
۱۵- دکتر احمد چیت‌ساز	دانشیار، متخصص سلولی اعصاب، دانشگاه علوم پزشکی اصفهان، اصفهان، ایران
۱۶- دکتر مینا حسن رضایی	متخصص نورو ایمونولوژی، دانشکده داروسازی، آمریکا
۱۷- دکتر سید مرتضی حیدری	دانشیار، متخصص بیوهوشی، دانشگاه علوم پزشکی اصفهان، اصفهان، ایران
۱۸- دکتر بهناز خانی	دانشیار، متخصص زنان و زایمان، دانشگاه علوم پزشکی اصفهان، اصفهان، ایران
۱۹- دکتر مجید خزاعی	دانشیار، متخصص فیزیولوژی، دانشگاه علوم پزشکی اصفهان، اصفهان، ایران
۲۰- دکتر حسن رزمجو	استاد، متخصص چشم، فلوشیپ ویتره و رتین، دانشگاه علوم پزشکی اصفهان، اصفهان، ایران
۲۱- دکتر رضا روزبهانی	استادیار، متخصص بیوشکی اجتماعی، دانشگاه علوم پزشکی اصفهان، اصفهان، ایران
۲۲- دکتر مسعود سهیلیان	استاد، فلوشیپ ویتره و رتین، دانشگاه علوم پزشکی شهید بهشتی، تهران، ایران
۲۳- دکتر منصور شعلهور	دانشیار، متخصص قلب و عروق، دانشگاه علوم پزشکی اصفهان، اصفهان، ایران
۲۴- دکتر محمد رضا صفوی	استادیار، متخصص بیوهوشی، دانشگاه علوم پزشکی اصفهان، اصفهان، ایران
۲۵- دکتر خسرو عادلی	استاد، متخصص پاتولوژی، دانشگاه لویس ویل، آمریکا
۲۶- دکتر سعید عندیلی	متخصص بیماری های پوستی، دانشگاه علوم پزشکی شهید بهشتی، تهران، ایران
۲۷- دکتر غلامرضا عسکری	دانشیار، متخصص پزشکی اجتماعی، دانشگاه علوم پزشکی اصفهان، اصفهان، ایران
۲۸- دکتر زیبا فرجزادگان	دانشیار، متخصص چشم، فلوشیپ ویتره و رتین، دانشگاه علوم پزشکی اصفهان، اصفهان، ایران
۲۹- دکتر حمید فشارکی	دکترای پرستاری، دانشگاه فلوریدا، آمریکا
۳۰- دکتر مرجانه فولادی	استاد، فوق تخصص جراحی قلب، کالیفرنیا، آمریکا
۳۱- دکتر علی قیصری	دانشیار، متخصص اورولوژی، کالیفرنیا، آمریکا
۳۲- دکتر منصور کارآموز	استاد، متخصص اطفال، دانشگاه علوم پزشکی اصفهان، اصفهان، ایران
۳۳- دکتر رویا کلشادی	دانشیار، فوق تخصص قلب و عروق، دانشگاه علوم پزشکی اصفهان، اصفهان، ایران
۳۴- دکتر جعفر گلشاهی	استاد، متخصص بیماری های پوستی، مرکز تحقیقات پوست و لیشماینیوز، کانادا
۳۵- دکتر عزیر گهری	دانشیار، فوق تخصص آسیب شناسی پزشکی، دانشگاه علوم پزشکی اصفهان، اصفهان، ایران
۳۶- دکتر پروین محزونی	استاد، متخصص چشم، دانشگاه علوم پزشکی تهران، تهران، ایران
۳۷- دکتر سید مهدی مدرس	دانشیار، متخصص علوم تشریحی، دانشگاه علوم پزشکی اصفهان، اصفهان، ایران
۳۸- دکتر محمد مردانی	استاد، متخصص جراحی اعصاب، دانشگاه علوم پزشکی اصفهان، اصفهان، ایران
۳۹- دکتر هوشنگ معین	استاد، متخصص غدد داخلی، مرکز تحقیقات غدد و متابولیسم، آمریکا
۴۰- دکتر ایله مغیثی	دانشیار، متخصص قلب و عروق، دانشگاه علوم پزشکی شهید بهشتی، تهران، ایران
۴۱- دکتر مجید ملکی	دانشیار، متخصص فیزیوتراپی، آمریکا
۴۲- دکتر محمد رضا نوربخش	استاد، متخصص قلب و عروق، دانشگاه علوم پزشکی تهران، تهران، ایران
۴۳- دکتر فریدون نوحی	دانشیار، متخصص قلب و عروق، دانشگاه علوم پزشکی شیراز، ایران
۴۴- دکتر علی محمد هنجنی	

راهنمای نویسنده‌گان مجله دانشکده پزشکی اصفهان

- اهداف و چشم انداز:** مجله دانشکده پزشکی اصفهان به صورت هفته‌نامه و تحت حمایت دانشگاه علوم پزشکی اصفهان منتشر می‌گردد.
- این مجله** مقالات اصلی و پژوهشی، مروری، مقالات کوتاه، مقالات دارای امتیاز بازآموزی و نامه به سردبیر را منتشر می‌نماید و همچنین فیلم‌های آموزشی تهیه شده توسط محققین را بر روی وب سایت مجله قرار می‌دهد.
- پذیرش دست‌نوشته:** پذیرش دست نوشته‌ها و پیگیری‌های بعدی در این مجله فقط از طریق وب سایت اختصاصی آن به آدرس <http://www.journals.mui.ac.ir/jims> و پس از ثبت نام (Registration) در آن ممکن می‌باشد. همراه دست نوشته باید یک نامه تایپ شده (Covering letter) به سردبیر، شامل عنوان و اسمی نویسنده یا نویسنده‌گان و اعلام این که این دست نوشته در مجلات دیگر چاپ نشده است و یا هم‌زمان در حال بررسی نمی‌باشد، ارسال گردد.
- دست‌نوشته** باید توسط نرم‌افزار MS Word در سایز A4 و فاصله خطوط دو برابر (Double Spaced) با حاشیه‌های ۲/۵ سانتی‌متری تهیه شوند. جداول بدون حاشیه خارجی و تصاویر در فرمت GIF و JPEG و در تعداد محدود باشند. ارسال مدارک با فرمت PDF به هیچ عنوان پذیرفته نیست.
- دست نوشته** باید شامل صفحه عنوان، چکیده، مقدمه، روش‌ها، یافته‌ها، بحث، تقدیر و تشکر و منابع باشد.
صفحه عنوان: این صفحه باید شامل عنوان کامل، عنوان مکرری، اسمی نویسنده یا نویسنده‌گان با بالاترین مدرک تحصیلی، گروه یا بخش یا مؤسسه محل فعالیت ایشان و همچنین آدرس، تلفن، فاکس و پست الکترونیکی نویسنده مسؤول باشد. ذکر منابع مالی و اعتباری طرح پژوهشی در این صفحه ضروری است.
- چکیده:** تمام مقالات اصلی باید دارای چکیده مقاله به دو زبان فارسی و انگلیسی با حداقل ۲۵۰ کلمه باشد. چکیده باید شامل بخش‌های سابقه علمی موضوع، روش‌ها، یافته‌ها و بحث باشد. در پایان چکیده مقاله ۳-۵ کلمه کلیدی قرار می‌گیرد که تنها با استفاده از راهنمای MESH در آدرس (<http://nlm.nih.gov/mesh/MBrowser.html>) استخراج گردد.
- مقدمه و معرفی:** در این بخش اهداف و علل انجام مطالعه آورده می‌شود؛ بنابراین نیازی به ارائه گستره مطالب موجود در متون علمی نیست. در این بخش باید از ارائه اطلاعات، یافته‌های و نتایج مطالعه خودداری گردد.
- روش‌ها:** این بخش شامل ارائه دقیق مشاهدات، مداخلات و روش‌های مورد استفاده در مطالعه است. اگر روش مورد استفاده شناخته شده است فقط منبع آن ذکر گردد اما اگر روشی نوین است، باید به صورتی توضیح داده شود که برای سایر محققان قابل درک و به طور عینی قابل انجام و تکرار باشد. در صورت استفاده از دستگاه و تجهیزات خاص باید نام، نام کارخانه سازنده و آدرس آن در پرانتز ذکر گردد. اگر از دارو در مطالعه استفاده شده است باید نام ژنریک، دوز و روش مصرف آن آورده شود. در مورد افراد و بیماران تحت مطالعه باید جنس و سن (همراه انحراف معیار) آورده شود. در مورد نرم‌افزارها و سیستم‌های کامپیوتری باید سال و ویرایش آن در پرانتز و پس از نام آن ذکر گردد. در صورتی که مطالعه دارای پرسشنامه یا چک لیست است، ضمیمه کردن آن لازم است؛ در مورد پرسشنامه‌های استاندارد ذکر نام و مرجع آن کافی است.
- یافته‌ها:** این بخش به صورت متن همراه با جدول‌ها، شکل‌ها و نمودارها ارائه می‌گردد. محتوای جداول باید به صورت کامل در متن ارائه شوند، بلکه کافی است با ذکر شماره جدول، شکل و یا نمودار به آنها اشاره شود. جدول‌ها، نمودارها و شکل‌ها هر کدام باید در یک صفحه جداگانه و پس از منابع، در پایان دست‌نوشته آورده شوند. در این بخش فقط یافته‌ها ارائه می‌شود و باید از ذکر دلایل و استدلال‌های مرتبط با آن خودداری گردد.
- بحث:** در این بخش در ابتداء به یافته‌های مهم اساسی مطالعه و سپس تشابه و تفاوت‌های آن با یافته‌های سایر پژوهشگران در مطالعات مشابه اشاره می‌گردد. ذکر جزئیات کامل یافته‌ها در این بخش لازم نیست. تأکید بر یافته‌های جدید و با اهمیت مطالعه حاضر و دستاوردهای آن در این قسمت ضروری است. ذکر این که فرضیه ارائه شده در مطالعه صحیح یا نادرست بوده، یا این که دلایل کافی برای رد یا قبول آن به دست نیامده است، ضروری می‌باشد. هدف این بخش، ذکر دلیل اصلی انجام تحقیق، تحلیل و تفسیر یافته‌ها و همچنین نتیجه‌گیری کلی (Conclusion) است.

۱۱- **تقدیر و تشکر:** تمام افرادی که به نحوی در انجام مطالعه نقش داشته ولی جزء نویسنده‌گان نبوده‌اند باید در این بخش مورد تقدیر قرار گیرند؛ از جمله کسانی که کمک‌های فنی، نوشتاری و مالی داده و همچنین سرپرستان و مدیران بخش‌های محل انجام مطالعه که در امر پشتیبانی‌های عمومی در اجرای تحقیق فعالیت داشته‌اند.

۱۲- **جدول‌ها:** تعداد محدود جدول با توجه به حجم مطالعه و مقاله، همراه با ذکر عنوان آن در بالای جدول مورد قبول خواهد بود. ارسال جداول فقط تحت نرم‌افزار MSWord مورد قبول است. توضیحات اضافی درخصوص محتوای جداول باید به صورت بی‌نوشته و در پایین جدول باشد. جدول‌ها باید در صفحات جداگانه و در پایان دست نوشته (پس از منابع) قرار داده شوند.

۱۳- **شکل‌ها:** تعداد محدود شکل همراه ذکر عنوان آن در زیر شکل یا نمودار و با فرمت GIF و JPEG قابل قبول است. اطلاعات موجود در شکل‌ها یا نمودارها باید به طور کاملاً مشابه در جدول‌ها و یا متن مقاله ذکر شده باشند.

۱۴- **منابع:** نویسنده باید از صحت اشاره منابع ذکر شده به مطالب مورد استناد مطمئن باشد. ساختار منابع در این مجله بر اساس Uniform Requirements for Manuscripts Submitted to Bio Medical Journals (ICMJE) و نکور (Vancouver) می‌باشد. تمامی منابع باید به زبان انگلیسی باشد، ترجمه متن منابع فارسی به عهده نویسنده است و در پایان آن عبارت [Persian] خواهد آمد. موارد ذیل برای نمونه ذکر می‌گردند:

اگر منبع مورد نظر مقاله است:

نام خانوادگی نویسنده، حرف اول نام کوچک نویسنده، عنوان مقاله، مخفف نام مجله (بر اساس Medline)، سال انتشار، شماره‌ی انتشار، شماره‌ی مجله، شماره‌ی صفحات. مثال:

(EN): Inser N. Treatment of calcific aortic stenosis. Am J Cardiol 1987; 59(6): 314-7.
(FA): Zini F, Basiri Jahromo Sh. Study of fungal infections in patients with leukemia. Iranian journal of public health 1994; 1(4):89-103.[Persian].

(چنانچه تعداد نویسنده‌گان ۶ نفر یا کمتر باشد، ذکر اسمی آن‌ها ضروری است. اگر تعداد آن‌ها ۷ نفر یا بیشتر باشد، پس از ۶ نفر، عبارت "et al." استفاده شود).

اگر منبع مورد نظر کتاب است:

نام خانوادگی و حرف اول نام کوچک نویسنده (نویسنده‌گان). عنوان کتاب. نوبت چاپ. محل نشر: ناشر؛ سال انتشار. p. شماره صفحات (نام نویسنده‌گان با علامت کاما از هم جدا شود). مثال:

(EN): Romenes GJ. Cunningham's manual. 15th ed. New York: Oxford Univ Press; 1987.p.43-5.
(FA): Azizi F, Janghorbani M, Hatami H. Epidemiology and control of common disorders in Iran. 2nd ed. Tehran: Eshtiagh Publication; 2000.p.558.[Persian].

اگر منبع مورد نظر فصلی از کتاب است:

نام خانوادگی و حرف اول نام کوچک نویسنده (نویسنده‌گان) آن فصل. عنوان فصل مورد نظر. در: نام خانوادگی و حرف اول نام تدوین کننده کتاب. عنوان کتاب. نوبت چاپ. محل نشر: نام ناشر؛ سال انتشار. p. صفحات. مثال:

(EN): Bodly L, Bailey Jr. Urinary tract infection. In: Tailor R, editor. Family medicine. 6th ed. New York: Springer; 2003.p. 807-13.

۱۵- **نمونه‌خوانی (Proofreading):** یک نسخه از مقاله پیش از چاپ جهت انجام اصلاحات ضروری و بر طرف کردن اشکالات احتمالی برای نویسنده مسؤول ارسال می‌گردد که لازم است در کوتاه‌ترین زمان تغییرات مورد نظر مجله انجام داده، از طریق وب‌سایت مجله ارسال نماید.

۱۶- **اختصارات و نشانه‌ها:** تنها از اختصارات و نشانه‌های استاندارد استفاده شود و از ذکر عبارت‌های مخفف در عنوان و خلاصه مقاله خودداری گردد.

۱۷- توضیح کامل در مورد هر کدام از عبارت‌های اختصاری برای اولین بار در متن آورده شود، مگر این که مربوط به مقیاس‌ها و مقادیر استاندارد شناخته شده باشد.

۱۸- پس از چاپ، یک نسخه از مجله برای نویسنده مسؤول ارسال خواهد شد.

- ۱۹- **ملاحظات اخلاقی**: این ملاحظات باید در بخش روش‌ها اشاره گردد. اخذ رضایت‌نامه از کلیه‌ی افراد بالغ شرکت کننده در مطالعه ضروری است و در مورد کودکان و افراد تحت تکفل باید از ولی قانونی آنها اخذ شود. ذکر منبع تأیید کننده ملاحظات اخلاقی مطالعه لازم است. هنگام استفاده از حیوانات آزمایشگاهی ذکر رعایت و مقررات استاندارد مربوط لازم است.
- ۲۰- **تداخل منافع (Conflict of Interest)**: نویسنده یا نویسنده‌گان باید هر گونه ارتباط مالی مانند دریافت هزینه، حق‌الزحمه، مواد و تجهیزات از دانشگاه‌ها، سازمان‌ها، نهادها، شرکت‌ها و سایر منابع که انتشار یافته‌های مطالعه می‌تواند به آنها سود یا زیان برساند را اعلام نمایند.
- ۲۱- **هزینه چاپ**: هیچ گونه هزینه‌ای برای چاپ مقالات در این مجله دریافت نمی‌شود.
- ۲۲- **حق نسخه‌برداری (Copyright)**: تمامی محتویات مجله دانشکده پژوهشی اصفهان تحت قانون حق نسخه‌برداری بین‌المللی قرار دارد. این مجله برای استفاده غیر تجاری در اختیار افراد قرار می‌گیرد. اصلاح، انتشار، انتقال و نمایش هر گونه محتویات مجله بدون ذکر نام این مجله ممنوع است.
- ۲۳- **فرآیند مرور دقیق (Peer Review)**: تمام دست‌نوشته‌ها توسط حداقل ۳ نفر از داوران منتخب شورای نویسنده‌گان مجله مورد بررسی دقیق قرار می‌گیرد. نویسنده‌ی مسؤول در کوتاه‌ترین زمان در جریان تصمیم سردبیر در مورد رد، قبول یا اصلاحات مورد نظر داوران و هیأت تحریریه قرار خواهد گرفت. در صورت پذیرش مقاله برای چاپ، نامه پذیرش به همراه ایمیل برای نویسنده‌ی مسؤول ارسال می‌شود و مقاله در نوبت چاپ قرار خواهد گرفت.
- ۲۴- هیأت تحریریه در رد، اصلاح، ویرایش و خلاصه کردن مقاله آزاد است.
- ۲۵- مسؤولیت صحت یا سقم مطالب ارائه شده در مقاله بر عهده‌ی نویسنده یا نویسنده‌گان است.

فهرست مطالب

مقالات‌های پژوهشی

- بررسی تأثیر سلول‌های بنیادی پالپ دندان شیری انسانی بر سلول‌های توموری K562 در شرایط هم کشتی ۱۶۳۳
منا گرجی، دکتر بتول هاشمی بنی، دکتر حمید بهرامیان، دکتر حسین صالحی، راضیه علی‌پور، مریم علی‌اکبری
- اثر ضد قارچی اسانس گیاه خوشاریزه (*Echinophora platyloba*) بر گونه‌های کاندیدایی جدا شده از واژینیت کاندیدایی در مقایسه با فلوکونازول ۱۶۴۶
نوید امینیان، دکتر پروین دهقان، دکتر مصطفی چادگانی‌پور، دکتر ابراهیم سجادی، مریم یزدی

- تشخیص کاندیدیازیس واژینال با استفاده از استخراج اتوماتیک قارچ کاندیدا در تصاویر مربوط به نمونه‌های پاپ اسمیر ۱۶۵۹
محمد رضا مؤمن‌زاده، دکتر اردشیر طالبی، دکتر علیرضا مهری دهنوی، دکتر حسین ربانی

مقاله مروری

- اینفلاماژوم و نقش آنها در بیماری‌ها ۱۶۶۸
امین توسلی، دکتر علیرضا حق‌پرست

مقاله کوتاه

- بررسی میزان فراوانی استافیلوکوکوس‌های اورئوس جدا شده از سواب بینی کودکان مهدهای کودک اصفهان ۱۶۹۰
دکتر حمید رحیمی، دکتر مژگان لقمانی، پریسا شعاعی، رامین دیباچ، دکتر بهروز عطایی، عباس داعی ناصر، دکتر حسن شجاعی

بررسی تأثیر سلول‌های بنیادی پالپ دندان شیری انسانی بر سلول‌های توموری K562 در شرایط هم‌کشتی

منا گرجی^۱، دکتر بتول هاشمی بنی^۲، دکتر حمید بهرامیان^۳، دکتر حسین صالحی^۳، راضیه علی‌پور^۴،
مریم علی‌اکبری^۵

مقاله پژوهشی

چکیده

مقدمه: به دلیل افزایش میزان سرطان در جوامع انسانی، دانشمندان روش‌های گوناگونی از قبیل شیمی درمانی و دارو درمانی را جهت مبارزه با سرطان به کار گرفته‌اند، اما این روش‌ها به دلیل عود مکرر و مقاومت دارویی به صورت کامل جواب‌گو نیست. به همین دلیل، در سال‌های اخیر علاوه بر روش‌های دیگر، سلول درمانی نیز در درمان سرطان مورد توجه قرار گرفته است. از آن جا که در بررسی تأثیر سلول‌های بنیادی بر سلول‌های توموری نتایج متناقضی به دست آمده است، این مطالعه با هدف بررسی میزان تکثیر و بقای رده‌ی سلولی سرطانی K562 در شرایط هم‌کشتی با سلول‌های بنیادی پالپ دندان شیری انجام شد.

روش‌ها: سلول‌های بنیادی حاصل از پالپ دندان‌های شیری افتاده، از دانشکده‌ی دندانپزشکی دانشگاه علوم پزشکی اصفهان و سلول‌های K562 از انتیتیو پاستور تهیه و کشت داده شد. هم‌کشتی مستقیم سلول‌های بنیادی با K562 در زمان‌های ۴۸ و ۹۶ ساعت با نسبت سلولی ۱ به ۱۰، ۱ به ۱ و ۱ به ۱ صورت پذیرفت. لازم به ذکر است تعداد سلول‌های توموری در تمام گروه‌های آزمایشی یکسان انتخاب گردید. بررسی میزان تکثیر و بقای سلول‌های توموری، با روش‌های رنگ‌آمیزی تریپیان بلو و MTT [4,5-dimethylthiazol-2-yl]-2,5-diphenyltetrazolium bromide] انجام گرفت.

یافته‌ها: مقایسه‌ی نتایج MTT در گروه‌های مختلف پس از ۴۸ و ۹۶ ساعت هم‌کشتی، نشان داد که با افزایش دانسیتی سلول‌های بنیادی نسبت به توموری، میانگین تکثیر سلول‌های کاهش یافت. در گروه اول که نسبت سلول‌های بنیادی مشتق از پالپ دندان ۱۰ برابر سلول‌های K562 بود، میزان تکثیر سلول‌های سرطانی حداقل ($O.D = 0/6$) و در گروه سوم که سلول‌های بنیادی مشتق از پالپ دندان با دانسیتی ۰/۱ سلول‌های K562 کشت داده شد، حداقل ($O.D = 1/6$) تکثیر سلول‌های توموری به دست آمد ($P < 0.05$). نتایج شمارش سلولی با رنگ‌آمیزی تریپیان بلو، مطابق نتایج پیش‌گفته بود.

نتیجه‌گیری: در شرایط هم‌کشتی، افزایش نسبت سلول‌های بنیادی به سلول‌های سرطانی K562 بر روی تکثیر سلول‌های K562 تأثیر بازدارنده‌ی دارد.

وازگان کلیدی: سلول بنیادی پالپ دندان، سلول‌های توموری K562، هم‌کشتی

ارجاع: گرجی منا، هاشمی بنی بتول، بهرامیان حمید، صالحی حسین، علی‌پور راضیه، علی‌اکبری مریم. بررسی بقا و تکثیر سلول‌های K562 تحت تأثیر هم‌کشتی با سلول‌های بنیادی مشتق از پالپ دندان. مجله دانشکده پزشکی اصفهان، ۱۳۹۳؛ ۳۲(۳۰۴): ۱۶۴۵-۱۶۳۳.

- ۱- دانشجوی کارشناسی ارشد، گروه علوم تشریحی، دانشکده‌ی پزشکی و کمیته‌ی تحقیقات دانشجویی، دانشگاه علوم پزشکی اصفهان، اصفهان، ایران
- ۲- دانشیار، گروه علوم تشریحی، دانشکده‌ی پزشکی، دانشگاه علوم پزشکی اصفهان، اصفهان، ایران
- ۳- استادیار، گروه علوم تشریحی، دانشکده‌ی پزشکی، دانشگاه علوم پزشکی اصفهان، اصفهان، ایران
- ۴- دانشجوی دکتری، گروه ایمنی‌شناسی، دانشکده‌ی پزشکی، دانشگاه علوم پزشکی اصفهان، اصفهان، ایران
- ۵- گروه علوم تشریحی، دانشکده‌ی پزشکی، دانشگاه علوم پزشکی اصفهان، اصفهان، ایران

نویسنده‌ی مسؤول: دکتر بتول هاشمی بنی Email: hashemibeni@med.mui.ac.ir

خودنوزایی و تمایز Multi-lineage هستند (۶). Stefanovic و Petrovic در حین تکثیر به صورت سلول‌های کروی و خوش‌های در می‌آیند. این سلول‌ها نسبت به سلول‌های بنیادی مزانشیمی جدعاً شده از مغز استخوان و بافت چربی، کمتر مورد توجه قرار گرفته‌اند و اکثر مطالعات بر روی آن‌ها نیز در زمینه‌ی طب ترمیمی و مهندسی بافت به ویژه بافت‌های دندانی بوده است (۷).

از آن جا که ابتلا به انواع سرطان‌ها و تومورها یکی از مهم‌ترین مشکلات بهداشتی بشر امروز و عامل ۱۳ درصد مرگ‌ها است، تصور استفاده از سلول‌های بنیادی شگفت‌انگیز در درمان انواع سرطان‌ها، از همان اوایل شناخت سلول‌های بنیادی، مورد توجه بوده است (۸).

خصوصیت لانه‌گرینی و تجمع سلول‌های بنیادی مزانشیمی در اطراف بافت توموری موجب شده است که این سلول‌ها را ابزارهای مناسبی، جهت هدف قرار دادن بافت توموری و فرستادن مولکول‌های ضد توموری مانند پیش داروهای (Prodrugs)، سایتوکاین‌های تحریک کننده‌ی ایمنی و ... به محل تومور بدانند. به همین دلیل، در سال‌های اخیر، آزمایش‌های متعددی در این باره طراحی و انجام شده‌اند (۹-۱۲).

Valtieri و Sorrentino بیان می‌کنند که سلول‌های بنیادی موجب مرگ سلول‌های توموری نشده و حتی باعث تبدیل سلول‌های بنیادی به سلول‌های سرطانی می‌شود و اگر تعداد سلول‌های بنیادی کم باشد، این سلول‌ها باعث ایجاد حالت متاستاتیک در تومور می‌شود (۱۱). همچنین در تحقیق دیگری، DelaRosa و Lombardo گزارش

مقدمه

سلول‌های بنیادی به عنوان سلول‌هایی تعریف شده‌اند که توانایی خودنوزایی (Self-renewal) و پتانسیل تمایز (Multi potent) را دارند و می‌توانند به سلول‌های دختری و به انواع سلول‌های بالغ تبدیل شوند (۱-۲). به طور کلی، خصوصیات سلول‌های بنیادی عبارت از توانایی چسیدن به ظرف و داشتن شکل شبیه فیبروبلاستی در محیط کشت، داشتن قابلیت خودنوزایی و توانایی تمایز به سلول‌های بافت‌های مزانشیمی (استخوان، غضروف و بافت چربی)، عدم بیان نشانگرهای مربوط به رده‌ی هماپویتیک (CD14، CD45، CD34، CD19 و CD11b) و بیان بعضی از نشانگرهای مانند CD44، CD105 (Thy-1)، CD73 و CD90 است (۳-۵).

در سال‌های اخیر نیز وجود نشانگرهای سلول‌های بنیادی بر روی SHED مورد بررسی قرار گرفته و مشخص شده است که SHED‌ها خواص سلول‌های بنیادی را دارند.

دندان و سلول‌های اطراف ریشه، دارای انواع سلول‌های بنیادی هستند که تا کنون چند نوع آن شناسایی شده‌اند که عبارت از DPSC، SHED، (Dental pulp stem cells)، (Stem cells from exfoliated deciduous teeth)، PDLC، (Stem cells from apical papilla)، SCAP، DFPC، (Periodontal ligament stem cells)، (Dental follicle progenitor cells) می‌باشند.

سلول‌های بنیادی دندان شیری (SHED) یا (Stem cell from human exfoliated deciduous teeth) در انسان توسط Huang و همکاران معرفی گردید. این سلول‌های اکتو‌مزانشیمی هتروژنوس با خاصیت

حالی که سلول‌های بنیادی مزانشیمی مشتق از مغز استخوان روی متاستاز به ریه در موش‌های مبتلا به کارسینومای متاستاتیک پستان تأثیری ندارند، سلول‌های بنیادی مزانشیمی مشتق از خون بند ناف و همین طور بافت چربی، متاستازهای ریوی را در این موش‌ها کاهش می‌دهند (۱۸) و یا در مطالعه‌ی دیگری مشاهده شده است که تزریق زیر جلدی سلول‌های بنیادی مزانشیمی مشتق از خون بند ناف و یا بافت چربی همراه با سلول‌های سرطانی، موجب کاهش و تزریق زیر جلدی سلول‌های بنیادی مزانشیمی مشتق از مغز استخوان همراه با سلول‌های سرطانی، موجب افزایش توانایی متاستاتیک سلول‌های توموری شده است (۱۹).

به طور اختصاصی‌تر، در مورد سلول‌های بنیادی مشتق از بافت چربی (ADSC) یا Adipose-derived stem cells که با تزریق زیر جلدی این سلول‌ها به منطقه‌ی تومور سرعت رشد تومور و میزان متاستاز افزایش می‌یابد (۲۰). در مطالعه‌ی Galie و همکاران مشاهده شد که وقتی سلول ADSC در مجاورت سلول سرطانی (PC3) قرار می‌گیرد، در محدوده‌ی تومور، رگ‌زایی اتفاق می‌افتد (۲۱). در تحقیقات دیگر نشان داده شده است که همکشتی سلول‌های ADSC با سلول‌های پانکراس سرطانی، باعث توقف سلول توموری در مرحله‌ی G1 می‌شود و همکشتی سلول‌های ADSC با سلول‌های سرطانی K562 باعث کاهش تکثیر در سلول‌های توموری می‌شود. در واقع، یک رده‌ی اریتروblast لکومی انسانی، غیر چسبنده، معلق و با شکل گرد است. این رده‌ی سلولی از بیماران مبتلا به CML (Chronic myeloid leukemia) به دست

کرده‌اند که سلول‌های بنیادی دارای خاصیت ضد ایمنی هستند و قادرند با ترشح عواملی از تکثیر و عملکرد لنفوسیت‌ها جلوگیری کنند (۱۲).

Shi و همکاران بیان کرده‌اند که سلول‌های بنیادی می‌توانند به محل تومور مهاجرت کنند و سلول‌های بنیادی به همراه IFN-γ (Interferon gamma)، IL-α (Interleukin alpha) و IL-β (Interleukin beta) باعث القای خاصیت ضد ایمنی می‌شوند (۱۳). به تازگی در انسان و بابون دیده شده است که همکشتی سلول‌های بنیادی و لنفوسیت‌ها باعث بروز خاصیت سرکوب ایمنی شده و تولید سایتوکاین‌ها نیز تعدیل گردیده است (۱۴-۱۶).

Frank و همکاران در تحقیق نشان دادند که قادرند به محل تومور مهاجرت کنند و باعث ایجاد خاصیت ایمونوژنیتی (تحریک سیستم ایمنی) شوند. در واقع، با تعییراتی در سلول‌های بنیادی، آن‌ها مولکول‌های شبه آنتی‌بادی را تولید می‌کنند که باعث ایجاد منافذ در دیواره‌ی سلول توموری می‌شوند. وقتی سلول‌های بنیادی در مجاورت سلول‌های توموری قرار می‌گیرند، می‌توانند انواع مختلفی از عوامل ضد سرطانی مثل ایترلوكین‌ها و ایترفرون‌ها را تولید کنند و حتی با تولید سایتوکاین‌ها و عوامل رشد و ماتریکس خارج سلولی، باعث پسرفت تومور و آپوپتوز سلول‌های توموری می‌شوند (۱۷). همچنین سلول‌های بنیادی تکثیر سلول‌های توموری را کاهش می‌دهند و چرخه‌ی سلولی را در سلول‌های توموری در مراحل G0-G1 نگه می‌دارند و مانع پیشرفت آن می‌شوند (۶).

از طرف دیگر، به نظر می‌رسد که اثرات سلول‌های بنیادی بر سلول‌های توموری به منشأ سلول‌های بنیادی نیز بستگی دارد؛ برای مثال، در

(Roswell Park Memorial Institute 1640) (Fetal bovine serum) FBS (Abcami)

Penicillin/Streptomycin (Sigma) ۱۰ درصد و (Gibco) ۱ درصد فراهم گردید. به دلیل این که این سلول‌ها قادر توانایی چسبندگی به کف فلاسک هستند، کشت به صورت سوسپانسیون انجام شد.

جهت به دست آوردن سلول‌های بنیادی از دندان شیری، پالپ دندان‌ها جدا شد و تحت شرایط استریل از دانشکدهٔ دندانپزشکی دانشگاه علوم پزشکی اصفهان به آزمایشگاه کشت سلول گروه علوم تشریحی منتقل گردید. تحت شرایط استریل در زیر هود لامینار کلاس II، پالپ دندان‌ها جدا شد و با اسکالپل به قطعات چند میلی‌متری بریده شد و جهت تجزیه‌ی بافت، آنزیم کلارنائز نوع A (Sigma) I به میزان ۱ mg/g بافت پالپ دندانی به کار گرفته شد. نمونه‌ها در دمای ۳۷°C به مدت ۳۰ دقیقه انکوبه گردید. پس از اطمینان از تجزیه شدن کامل بافت، برابر حجم محلول آنزیم به کار رفته، محیط کشت RPMI 1640 تهیه شده، جهت خنثی کردن فعالیت آنزیم به سوسپانسیون سلولی اضافه گردید.

در ادامه‌ی کار، سوسپانسیون در لوله‌های فالکون ۱۴۰۰ rpm ۱۵ ml به مدت ۱۰ دقیقه با دور سانتریفوژ شد و مایع رویی تخلیه گردید. به رسوب سلولی به دست آمده، محیط کشت ۱۰ FBS ۱۰ درصد و RPMI افزوده شد و در مرحله‌ی پایانی، سلول‌ها در فلاسک ۲۵ cm² در محیط کشت ۱۰ FBS در میان ۱ درصد Penicillin/Streptomycin، RPMI، CO₂ ۵ درصد و رطوبت نسبی انکوباتور ۳۷°C در میان ۹۰ درصد کشت داده شدند.

می‌آید (۲۲-۲۳).

در همکشتی سلول‌های بنیادی مشتق از بند ناف با سلول‌های K562 نیز کاهش تکثیر سلول‌های توموری و توقف تقسیم سلولی در مرحله‌ی G₀/G₁ مشاهده شد (۲۴). زمانی که سلول‌های K562 با روش همکشتی مستقیم و همکشتی غیر مستقیم در مجاورت سلول‌های بنیادی مزانشیمی مغز استخوان قرار می‌گیرند، باعث کاهش تکثیر سلول‌های تومور می‌شود (۲۵).

از آن جایی که دندان‌های شیری، بعد از افتادن استفاده‌ی کلینیکی خاصی ندارند و سلول‌های بنیادی موجود در آن (SHED) نسبت به سایر منابع سلول‌های بنیادی، هم با روشی بدون آسیب و درد قابل دسترسی هستند و هم از حیث هزینه، مقرر به صرفه‌تر می‌باشند؛ سلول‌های SHED را می‌توان به عنوان یک منبع مناسب در تحقیقات مختلف استفاده نمود (۶-۷). این سلول‌ها به تازگی شناخته شده‌اند و اطلاعات به دست آمده در مورد آن‌ها، نسبت به سلول‌های بنیادی مشتق از مغز استخوان و چربی کمتر است. با توجه به نتایج متناقض به دست آمده از تحقیقات مختلف در زمینه‌ی همکشتی سلول‌های توموری و بنیادی و عدم وجود مطالعه مبنی بر همکشتی سلول‌های بنیادی دندان شیری و رده‌ی سلولی K562، در این تحقیق تأثیر همکشتی سلول‌های SHED و سلول‌های توموری K562 مورد بررسی قرار گرفت.

روش‌ها

سلول‌های K562 از انسیتیو پاستور ایران تهیه شد؛ همچنین، محیط کشت RPMI 1640

سلول‌ها پیپت گردید و به طور یکنواخت شناور شد. سپس $10 \text{ }\mu\text{l}$ محلول تریپان بلو (Merck) $0/4$ درصد با $10 \text{ }\mu\text{l}$ سوسپانسیون سلولی مخلوط گردید و $10 \text{ }\mu\text{l}$ از این مخلوط، به لام نثوبار منتقل شد و شمارش سلولی انجام گرفت.

یافته‌ها

کشت سلولی: در کشت سوسپانسیون سلول‌های K562، این سلول‌ها با مورفولوژی کروی بدون ایجاد زواید سلولی به حالت شناور و بدون چسبندگی به کف فلاسک مشخص بودند. در این شرایط، برخی سلول‌ها به یکدیگر چسبیده و به صورت توده‌های مجتمع دیده شدند که با پیپتینگ از هم جدا گردیدند (شکل ۱).

پس از تجزیه‌ی بافت پالپ دندان شیری انسانی تحت تأثیر آنزیم کلاژنаз، سلول‌های تک هسته‌ای حاصل در فلاسک‌های 25 cm^2 کشت داده شدند. در ابتدا با مشاهده‌ی فلاسک‌ها در زیر میکروسکوپ، سلول‌ها به حالت کروی و شناور بودند، اما با گذشت چند ساعت، به تدریج مرحله‌ی چسبندگی خود را به کف فلاسک آغاز کردند و در این زمان از حالت کروی خارج و به اشکال چند وجهی، ستاره‌ای و دوکی با زواید سیتوپلاسمی کوتاه و اندک مشخص شدند. به تدریج تحت شرایط مناسب دما (37°C) و 5 CO_2 درصد در انکوباتور، سلول‌ها با انجام تقسیمات میتوزی متوالی، رشد و تکثیر یافتند و پس از $10-12$ روز، کف فلاسک را اشغال نمودند. با تکثیر و افزایش تعداد سلول‌ها، اشکال ستاره‌ای و چند وجهی کمتر شد و اکثر سلول‌ها دوکی شکل بودند (شکل ۲).

همکشتی سلول‌های بنیادی و توموری

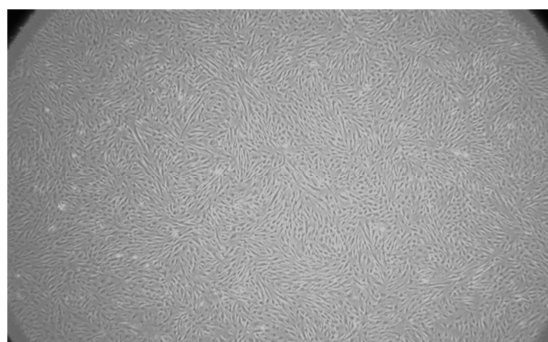
بعد از به دست آوردن تعداد کافی SHED از طریق پاساژهای متوالی، دو پلیت ۱۲ خانه انتخاب و ۴ خانه‌ی اول هر پلیت یک میلیون سلول SHED در ۴ خانه‌ی بعدی ۱۰۰۰۰ سلول و در ۴ خانه‌ی آخر، ۱۰۰۰۰ سلول ریخته شد. بعد از گذشت ۲۴ ساعت و چسبیدن سلول‌های SHED به کف چاهک‌های هر پلیت، به هر کدام از ۱۲ خانه‌ی هر پلیت، 100000 سلول K562 اضافه شد و این گونه نسبت‌های $1/10$ و $1/1$ و $10/1$ با 4 تکرار برقرار شد. پس از 48 و 96 ساعت همکشتی، میزان تکثیر و زنده بودن سلول‌ها با استفاده از روش $[4,5\text{-dimethylthiazol-2-yl})-2,5\text{-diphenyltetrazolium bromide}] \text{ MTT}$ با بررسی شد. این مراحل، 3 مرتبه تکرار گردید.

روش MTT

جهت بررسی میزان تکثیر و بقای سلول‌ها از روش رنگ‌آمیزی MTT استفاده شد. مدیوم رویی تخلیه شد و (Phosphate buffered saline) PBS $1/5 \text{ cc}$ چاهک با $400 \text{ }\mu\text{l}$ مدیوم خالص و (Sigma) شستشو داده شد و $400 \text{ }\mu\text{l}$ میکرومولیت 5 mg/ml سپس $40 \text{ }\mu\text{l}$ محلول MTT (Merck) با غلظت $400 \text{ }\mu\text{l}$ اضافه شد و پس از 4 ساعت انکوبه و تخلیه‌ی مدیوم $400 \text{ }\mu\text{l}$ دی‌متیل سولفوکساید اضافه شد، 2 ساعت در تاریکی ماند و سپس از هر چاهک، $100 \text{ }\mu\text{l}$ محلول به پلیت ۹۶ خانه منتقل شد و توسط دستگاه الیزا پلیت (Microplate Reader) جذب نوری (OD) یا (Optical density) آن در موج 570 nm خوانده شد.

روش رنگ‌آمیزی تریپان بلو

در روش تریپان بلو سوسپانسیون سلول‌های K562 به لوله‌ی فالکون منتقل گردید. پس از سانتریفوژ کردن محلول رویی خارج گردید، 1 ml مدیوم اضافه شد و



شکل ۲. سلول‌های بنیادی مشتق از پالپ دندان (SHED) یا (Stem cell from human exfoliated deciduous teeth) به صورت شبه فیروblastی و دوکی هستند و قسمت اعظم فلاسک را اشغال کرده‌اند ($\times 40$).



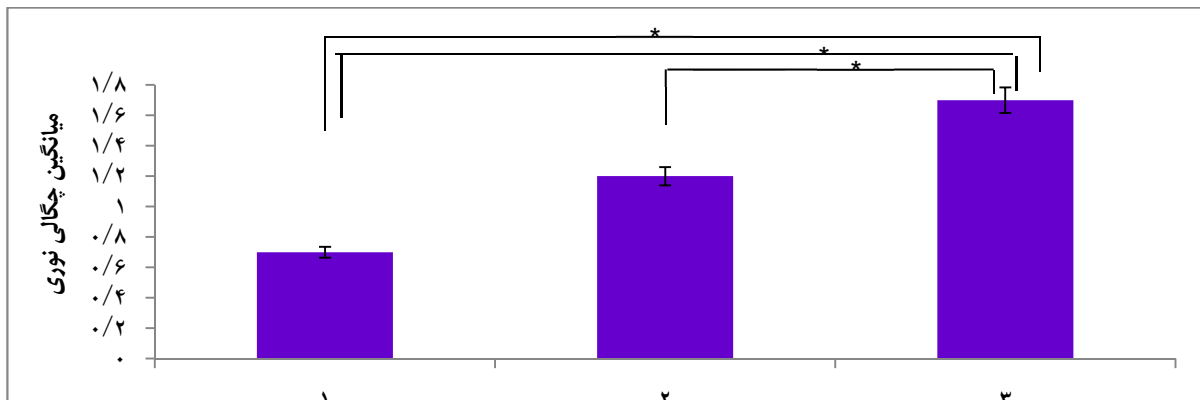
شکل ۱. در تصویر میکروسکوپ اینورت سلول‌های K562 در کشت سوسپانسیونی به صورت معلق، کروی و شبکه‌کلونی مشخص می‌باشند ($\times 40$).

تکثیر سلول‌های توموری کاهش یافت. در گروه اول که سلول‌های بنیادی مشتق از پالپ دندان ۱۰ برابر سلول‌های K562 بود، میزان تکثیر سلول‌های سرطانی حداقل و در گروه سوم که سلول‌های بنیادی مشتق از پالپ دندان ۱/۰ سلول‌های K562 بود، حداقل تکثیر سلول‌های توموری مشاهده گردید.

پس از مقایسه این دو گروه با یکدیگر، اختلاف معنی‌داری به دست آمد ($P \leq 0.050$) (اشکال ۳ و ۴).

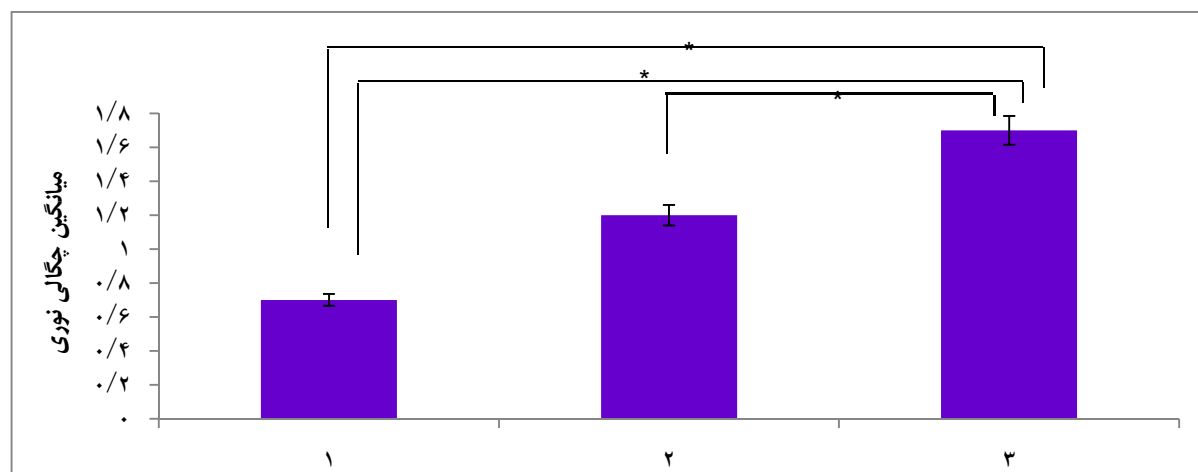
نتایج رنگ‌آمیزی MTT و تریپان بلو: پس از همکشتی سلول‌های بنیادی پالپ دندان و توموری K562 با نسبت‌های سلولی مختلف در دو زمان، میزان تکثیر و بقای نمونه‌های مورد آزمایش از طریق روش‌های MTT مقایسه گردید.

مقایسه نتایج MTT در گروه‌های مختلف پس از ۴۸ و ۹۶ ساعت همکشتی نشان داد که با افزایش دانسیته سلول‌های بنیادی نسبت به توموری میانگین



شکل ۳. میزان تکثیر سلول‌های توموری ردیف K562 در شرایط همکشتی با سلول‌های بنیادی مشتق از پالپ دندان به مدت ۴۸ ساعت که با روش دانسیته سلول‌های بنیادی نسبت به توموری، میانگین تکثیر سلول‌های توموری کاهش یافت ($*P \leq 0.050$).

در گروه ۱ تعداد سلول‌های بنیادی ۱۰ برابر سلول‌های توموری، در گروه ۲ تعداد سلول‌های بنیادی برابر با سلول‌های توموری و در گروه ۳ تعداد سلول‌های بنیادی ۱/۰ سلول‌های توموری بود.

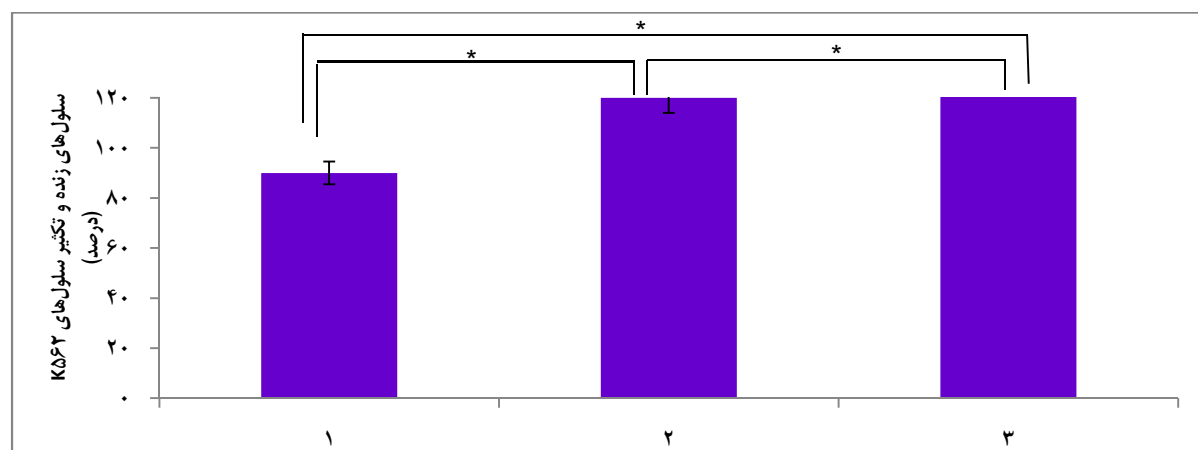


شکل ۴. میزان تکثیر سلول‌های توموری ردهی k562 در شرایط همکشتی با سلول‌های بنیادی مشتق از پالپ دندان به مدت ۹۶ ساعت که با روش دانسیته‌ی سلول‌های بنیادی نسبت به توموری، میانگین تکثیر سلول‌های توموری کاهش یافت ($P \leq 0.05$).*

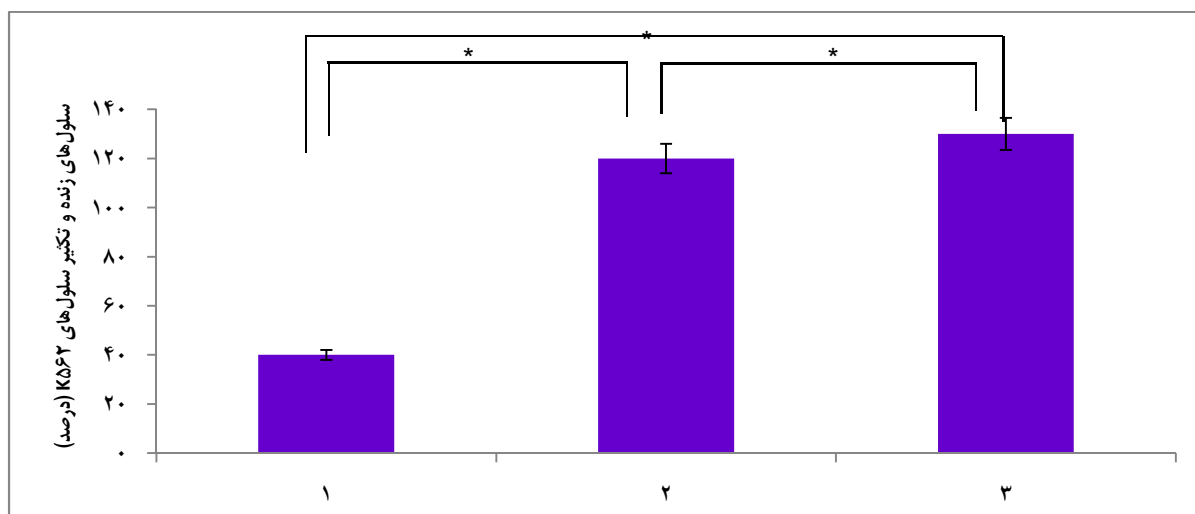
در گروه ۱ تعداد سلول‌های بنیادی ۱۰ برابر سلول‌های توموری، در گروه ۲ تعداد سلول‌های بنیادی برابر با سلول‌های توموری و در گروه ۳ تعداد سلول‌های بنیادی ۱/۰ سلول‌های توموری بود.

بود و در نسبت سلولی ۱۰ برابر سلول‌های بنیادی مشتق از پالپ دندان در مقایسه با سلول‌های K562 میزان تکثیر سلول‌های سرطانی در مقایسه با گروه‌های دیگر کاهش معنی‌داری را نشان داد ($P \leq 0.05$) (اشکال ۵ و ۶).

نتایج رنگ‌آمیزی تریپان بلو: نتایج شمارش سلول‌های زنده پس از همکشتی سلول‌های بنیادی پالپ دندان و توموری K562 با نسبت‌های سلولی مختلف در دو زمان ۴۸ و ۹۶ ساعت مطابق با نتایج روش MTT



شکل ۵. درصد سلول‌های زنده و تکثیر سلول‌های K562 در شرایط همکشتی با سلول‌های بنیادی مشتق از پالپ دندان به مدت ۴۸ ساعت که از طریق روش رنگ‌آمیزی با تریپان بلو بررسی گردید. با افزایش سلول‌های بنیادی نسبت به توموری، درصد سلول‌های زنده‌ی توموری کاهش نشان داد و میزان تکثیر در تمام گروه‌ها با یکدیگر اختلاف معنی‌دار داشته است ($P \leq 0.05$). گروه اول با نسبت ۱ به ۱۰ سلول‌های K562 به سلول‌های بنیادی؛ گروه دوم با نسبت ۱ به ۱ (سلول‌های K562 به سلول‌های بنیادی)؛ گروه سوم با نسبت ۱۰ به ۱ (سلول‌های K562 به سلول‌های بنیادی)



شکل ۶. درصد سلول‌های زنده و تکثیر سلول‌های K562 در شرایط همکشتی با سلول‌های بنیادی مشتق از پالپ دندان به مدت ۹۶ ساعت که از طریق روش رنگآمیزی با تریبان بلو بررسی گردید. با افزایش سلول‌های بنیادی نسبت به توموری، درصد سلول‌های زنده توموری کاهش نشان داد و میزان تکثیر در تمام گروه‌ها در مقایسه با یکدیگر اختلاف معنی‌دار داشت ($P \leq 0.05$). گروه اول با نسبت ۱ به ۱۰ (سلول‌های K562 به سلول‌های بنیادی)؛ گروه دوم با نسبت ۱ به ۱ (سلول‌های K562 به سلول‌های بنیادی) گروه سوم با نسبت ۱۰ به ۱ (سلول‌های K562 به سلول‌های بنیادی)

بار از مغز استخوان جداسازی شدند، اما تحقیقات بعدی، وجود آن‌ها را در بسیاری از بافت‌های بالغین شامل بافت چربی، خون محیطی، بافت پیوندی ماهیچه‌ها، پالپ دندان و همچنین در بافت‌های جنینی مانند ریه و طحال جنینی، خون بند ناف، مایع آمینوتیک و جفت به خوبی نشان داد. این سلول‌ها دارای پتانسیل‌های تمایز یافته‌گی و ویژگی‌های ایمونولوژیک و ترمیم هستند (۳۰-۲۹، ۳). نکته‌ی مهمی که در مورد سلول‌های بنیادی مزانشیمی به دست آمده از بافت‌های مختلف باید مد نظر باشد، این است که اگر چه سلول‌های بنیادی مزانشیمی از نظر ویژگی‌های کلی شبیه هم هستند، اما به طور دقیق مانند یکدیگر رفتار نمی‌کنند و تفاوت‌هایی نیز در قدرت تکثیر، توانایی سرکوب ایمنی و توانایی تمایز به بافت‌های مختلف با هم را دارند (۱۹).

از مهم‌ترین ویژگی سلول‌های بنیادی، توانایی آن‌ها در

بحث

سلول‌های بنیادی به عنوان سلول‌هایی تعریف شده‌اند که توانایی خودنوژایی (Self-renewal) و پتانسیل تمایز (Multi potent) را دارند که می‌توانند به سلول‌های دختری و به انواع سلول‌های بالغ تبدیل شوند (۱-۲) و به طور کامل بقای خود را حفظ کنند و حتی دچار آتروفی و هاپیر پلازی زودرس نیز نمی‌شوند (۲۶). این سلول‌ها به عنوان منبع سلولی احتمالی برای تمام بافت‌ها، به علت توانایی در تمایز به هر نوع سلولی، پتانسیل درمانی زیادی دارند (۲۷). به طور کلی، سلول‌های بنیادی بر اساس قدرت تمایز و درجه‌ی خودنوژایی تقسیم‌بندی می‌شوند. بر اساس منشأ، حداقل دو دسته سلول‌های بنیادی رویانی (Adult) و بالغ (Embryonic stem cell) وجود دارند (۲۸-۲۹).

هر چند که سلول‌های بنیادی مزانشیمی برای اولین

را ترشح و خاصیت پیش بقا (Pro-survival) را از خود نشان دادند، اما سلول‌های MSC (Mesenchymal stem cells) بر روی گلیوبلاستوما اثر بازدارنده داشتند. آن‌ها پیشنهاد کردند که تمام نتایج بستگی به پاسخ سلول توموری به عوامل ترشح شده‌ی پاراکرینی از MSC دارد که منجر به فعالیت‌های دینامیک و واکنش‌های معکوس بین سلول‌های توموری بدخیم و استروما می‌شود (۳۴). Suchanek و همکاران بیان کردند که در زمان طولانی مدت کشت، سلول‌های SHED عالیمی از دژنره شدن و تخریب و تمایز خود به خودی از خود نشان نمی‌دهند و این ویژگی، استفاده‌ی SHED را برای زمان‌های ۴۸ و ۹۶ ساعت مناسب‌تر کرده است (۳۵). Nakamura و همکاران در محیط کشت از SHED و سلول‌های بنیادی مشتق از مغز استخوان SHED استفاده و مشاهده نمودند که سرعت تکثیر در مقایسه با سلول‌های مغز استخوان به میزان ۵۰ درصد بیشتر است. علاوه بر آن در SHED، ژن‌هایی وجود دارند که بیان بسیار بالایی دارند و در ارتباط با افزایش تکثیر سلولی و ماتریکس خارج سلولی عمل می‌نمایند (۳۶). در تحقیقی دیگر که توسط Kerkis و همکاران صورت گرفت، بیان گردید که سلول‌های بنیادی مشتق از مغز استخوان می‌توانند به سمت سرطانی شدن پیشرفت نمایند که این حالت در رابطه با سلول‌های SHED دیده نشده است (۳۷). در چند تحقیق دیگر گزارش شده است که همکشتی سلول‌های ADSC (Adipose derive stem cell) با سلول‌های سرطانی K562 باعث کاهش تکثیر در سلول‌های توموری می‌شود (۲۳-۲۴). Fonseka و همکاران نمونه‌ای از همکشتی سلول‌های K562 با

سرکوب سیستم ایمنی است. سلول‌های بنیادی دارای پتانسیل درمانی هستند؛ بدین صورت که می‌توانند از پس زدن بافتی جلوگیری کنند و در ترمیم نقاطیص جنینی و درمان بیماری‌های خود ایمنی نیز کارا باشند (۱۳). دیده شده است که سلول‌های بنیادی می‌توانند تکثیر لنفوسيت‌ها را مهار کنند و هر چه میزان دانسیته‌ی سلول‌های بنیادی بیشتر باشد، این سرکوب نیز بیشتر است (۳۱-۳۲). در تحقیق حاضر نیز با افزایش سلول‌های بنیادی نسبت به توموری، درصد سلول‌های زنده‌ی توموری کاهش یافت.

Keramidas و همکاران اعلام کردند که خاصیت ضد ایمنی سلول‌های بنیادی به خاطر این است که این سلول‌ها، عوامل محلول را ترشح می‌کنند که این عوامل، پتانسیل تکثیری سلول‌های توموری را کاهش می‌دهند (۳۳). در مطالعه‌ای دیگر که توسط Zhu و همکاران صورت گرفت، گزارش شد که سلول‌های بنیادی با ترشح موادی از قبیل IFN1 β , IL8 (Interferon1 β) Tumor necrosis factor (TNF α), IFNY (IFN γ), alpha IL6 و IL6 مانع تکثیر سلول‌های توموری Dikfopt باعث القای آپوپتوز در سلول‌های توموری می‌شوند (۸). Kucerova و همکاران، اثر سلول‌های بنیادی مشتق از چربی را بر روی دو رده‌ی سلول توموری مختلف از نوع ملانوما (Melanoma) و گلیوبلاستوما (Glioblastoma) بررسی کردند. اگر چه سلول‌های مزانشیمی به طور کامل مشابه و از یک منشأ بودند، اما وقتی هر دو رده‌ی سلول توموری با سلول‌های بنیادی مزانشیمی مجاور شدند، نتایج مختلفی به دست آمد. سلول‌های ملانوما عوامل پیش رگزایی و پیش التهابی (Pro-inflammatory/pro-angiogenic) باعث

سلول‌های توموری این گروه نسبت به گروه شاهد افزایش بسیار زیادی پیدا کرده است. شاید بتوان از این یافته به این نتیجه رسید که در همکشتی سلول‌های بنیادی و توموری، نسبت سلولی نیز علاوه بر زمان از اهمیت برخوردار است.

نتیجه‌ی تحقیق حاضر با آن چه که Fonseka و همکاران گزارش نمودند، متفاوت است؛ شاید دلیل این تفاوت، استفاده از سلول‌های بنیادی متفاوت باشد، اما نتایج تحقیق حاضر مؤید تحقیق Crop و همکاران مبنی بر آن است که عملکرد سلول‌های بنیادی حتی اگر همگی منشأ مزانشیمی یکسانی داشته باشند، در شرایط متفاوت می‌تواند متفاوت باشد (۳۲).

نتیجه‌گیری

درمان سرطان (که یکی از معضلات پزشکی جوامع امروز است) توجه بسیاری از دانشمندان و پژوهشگران را به خود جلب کرده است. در تحقیق حاضر اگر چه در نسبت بالای سلول‌های بنیادی به توموری و در مدت ۹۶ ساعت همکشتی، توانست تکثیر سلول‌های توموری را کنترل نماید؛ اما توجه به این نکته مهم است که این نتیجه در محیط آزمایشگاهی (In vitro) و بر روی یک ردی سلولی حاصل شده است و با محیط داخل بدن (In vivo) بسیار متفاوت است. از این رو تحقیقات بسیار زیاد دیگری لازم است تا شاید بتواند در درمان سرطان مؤثر باشد.

تشکر و قدردانی

این مقاله حاصل پایان‌نامه‌ی دوره‌ی کارشناسی ارشد منا گرجی به شماره‌ی طرح پژوهشی ۳۹۲۴۴۵ در دانشگاه علوم پزشکی اصفهان است.

سلول‌های مزانشیمی مشتق از بند ناف را از طریق همکشتی مستقیم و ترنس ول با نسبت‌های مختلفی از قبیل ۱/۱۰۰، ۱/۱۰، ۱/۵ و ۱/۱ (سلول بنیادی به توموری) مورد آزمایش قرار دادند. آن‌ها تعداد سلول‌های توموری K562 را در تمام نسبت‌ها ثابت و زمان را ۴۸ ساعت در نظر گرفتند. نتیجه‌ی گزارش این بود که در تمام نمونه‌ها، سلول‌های بنیادی مانع از تکثیر سلول‌های توموری و توقف تقسیم سلولی در مرحله‌ی G₀/G₁ شده بود و همچنین کاهش رشد سلول‌های توموری در همکشتی مستقیم بیشتر از همکشتی غیر مستقیم بود (۲۴). در تحقیق حاضر، با همین بازه‌ی زمانی (۴۸ ساعت) و با استفاده از همکشتی مستقیم مشاهده شد که سلول‌های بنیادی با این که از لحاظ نسبت، ۱۰ برابر سلول‌های توموری بودند، اما تأثیری بر کاهش رشد تومور نداشتند. در سایر نمونه‌ها، زمانی که سلول‌های توموری از نظر تعداد نسبت به سلول‌های بنیادی بیشتر یا برابر بودند، سلول‌های بنیادی علاوه بر این که تکثیر سلول‌های توموری را مهار نکردند، باعث افزایش رشد سلول‌های توموری نیز شدند. در زمان ۹۶ ساعت در گروهی که همکشتی سلول‌های SHED و K562 به نسبت ۱۰ به ۱ انجام گرفت، یعنی تعداد سلول‌های بنیادی ۱۰ برابر سلول‌های سرطانی بود، میزان تکثیر سلول‌های سرطانی کاهش معنی‌داری داشت؛ در حالی که در زمان ۴۸ ساعت این همکشتی و این نسبت تأثیری بر روند تکثیر و بقای سلولی نداشت که بیانگر آن است که زمان همکشتی در تکثیر و یا آپوپتوز سلول‌های توموری اهمیت دارد. در هر دو زمان، در گروه دوم و سوم که نسبت سلول‌های K562 به SHED به ترتیب ۱۰ به ۱ و ۱ به ۱ بوده است،

References

1. Cai J, Rao MS. Stem cell and precursor cell therapy. *Neuromolecular Med* 2002; 2(3): 233-49.
2. Payne N, Siatskas C, Bernard CC. The promise of stem cell and regenerative therapies for multiple sclerosis. *J Autoimmun* 2008; 31(3): 288-94.
3. Alipour R, Sadeghi F, Hashemi-Beni B, Zarkesh-Esfahani SH, Heydari F, Mousavi SB, et al. Phenotypic characterizations and comparison of adult dental stem cells with adipose-derived stem cells. *Int J Prev Med* 2010; 1(3): 164-71.
4. Muller I, Lymperi S, Dazzi F. Mesenchymal stem cell therapy for degenerative inflammatory disorders. *Curr Opin Organ Transplant* 2008; 13(6): 639-44.
5. Bochev I, Elmadjian G, Kyurkchiev D, Tzvetanov L, Altankova I, Tivchev P, et al. Mesenchymal stem cells from human bone marrow or adipose tissue differently modulate mitogen-stimulated B-cell immunoglobulin production in vitro. *Cell Biol Int* 2008; 32(4): 384-93.
6. Huang GT, Gronthos S, Shi S. Mesenchymal stem cells derived from dental tissues vs. those from other sources: their biology and role in regenerative medicine. *J Dent Res* 2009; 88(9): 792-806.
7. Petrovic V, Stefanovic V. Dental tissue--new source for stem cells. *Scientific World Journal* 2009; 9: 1167-77.
8. Zhu Y, Sun Z, Han Q, Liao L, Wang J, Bian C, et al. Human mesenchymal stem cells inhibit cancer cell proliferation by secreting DKK-1. *Leukemia* 2009; 23(5): 925-33.
9. Bergfeld SA, DeClerck YA. Bone marrow-derived mesenchymal stem cells and the tumor microenvironment. *Cancer Metastasis Rev* 2010; 29(2): 249-61.
10. Djouad F, Plence P, Bony C, Tropel P, Apparailly F, Sany J, et al. Immunosuppressive effect of mesenchymal stem cells favors tumor growth in allogeneic animals. *Blood* 2003; 102(10): 3837-44.
11. Valtieri M, Sorrentino A. The mesenchymal stromal cell contribution to homeostasis. *J Cell Physiol* 2008; 217(2): 296-300.
12. DelaRosa O, Lombardo E. Modulation of adult mesenchymal stem cells activity by toll-like receptors: implications on therapeutic potential. *Mediators Inflamm* 2010; 2010: 865601.
13. Shi Y, Hu G, Su J, Li W, Chen Q, Shou P, et al. Mesenchymal stem cells: a new strategy for immunosuppression and tissue repair. *Cell Res* 2010; 20(5): 510-8.
14. Sonoyama W, Liu Y, Fang D, Yamaza T, Seo BM, Zhang C, et al. Mesenchymal stem cell-mediated functional tooth regeneration in swine. *PLoS One* 2006; 1: e79.
15. Rhodes LV, Muir SE, Elliott S, Guillot LM, Antoon JW, Penfornis P, et al. Adult human mesenchymal stem cells enhance breast tumorigenesis and promote hormone independence. *Breast Cancer Res Treat* 2010; 121(2): 293-300.
16. Han Z, Jing Y, Zhang S, Liu Y, Shi Y, Wei L. The role of immunosuppression of mesenchymal stem cells in tissue repair and tumor growth. *Cell Biosci* 2012; 2(1): 8.
17. Frank RT, Najbauer J, Aboody KS. Concise review: stem cells as an emerging platform for antibody therapy of cancer. *Stem Cells* 2010; 28(11): 2084-7.
18. Uccelli A, Pistoia V, Moretta L. Mesenchymal stem cells: a new strategy for immunosuppression? *Trends Immunol* 2007; 28(5): 219-26.
19. Lu YR, Yuan Y, Wang XJ, Wei LL, Chen YN, Cong C, et al. The growth inhibitory effect of mesenchymal stem cells on tumor cells in vitro and in vivo. *Cancer Biol Ther* 2008; 7(2): 245-51.
20. Siddiqua A, Long LM, Li L, Marciniaik RA, Kazhdan I. Expression of HER-2 in MCF-7 breast cancer cells modulates anti-apoptotic proteins Survivin and Bcl-2 via the extracellular signal-related kinase (ERK) and phosphoinositide-3 kinase (PI3K) signalling pathways. *BMC Cancer* 2008; 8: 129.
21. Galie M, Konstantinidou G, Peroni D, Scambi I, Marchini C, Lisi V, et al. Mesenchymal stem cells share molecular signature with mesenchymal tumor cells and favor early tumor growth in syngeneic mice. *Oncogene* 2008; 27(18): 2542-51.
22. Cousin B, Ravet E, Poglio S, De TF, Bertuzzi M, Lulka H, et al. Adult stromal cells derived from human adipose tissue provoke pancreatic cancer cell death both in vitro and in vivo. *PLoS One* 2009; 4(7): e6278.
23. Klopp AH, Gupta A, Spaeth E, Andreeff M, Marini F, III. Concise review: Dissecting a discrepancy in the literature: do mesenchymal stem cells support or suppress tumor growth? *Stem Cells* 2011; 29(1): 11-9.
24. Fonseka M, Ramasamy R, Tan BC, Seow HF. Human umbilical cord blood-derived mesenchymal stem cells (hUCB-MSC) inhibit the proliferation of K562 (human erythromyeloblastoid leukaemic cell line). *Cell Biol Int* 2012; 36(9): 793-801.
25. Wei Z, Chen N, Guo H, Wang X, Xu F, Ren Q, et al. Bone marrow mesenchymal stem cells from leukemia patients inhibit growth and apoptosis in serum-deprived K562 cells. *J Exp Clin Cancer Res* 2009; 28: 141.

- 26.** Rossi DJ, Jamieson CH, Weissman IL. Stems cells and the pathways to aging and cancer. *Cell* 2008; 132(4): 681-96.
- 27.** Yang J, Rostami A, Zhang GX. Cellular remyelinating therapy in multiple sclerosis. *J Neurol Sci* 2009; 276(1-2): 1-5
- 28.** Togel F, Westenfelder C. Adult bone marrow-derived stem cells for organ regeneration and repair. *Dev Dyn* 2007; 236(12): 3321-31.
- 29.** Hashemibeni B, Razavi S, Esfandiary E, Karbasi S, Mardani M, Nasresfahani M. Induction of chondrogenic differentiation of human adipose-derived stem cells with TGF- β 3 in pellet culture system. *Iran J Basic Med Sci* 2008, 11(1): 10-7.
- 30.** Hashemibeni B, Razavi S, Esfandiary E, Karbasi S, Mardani M, Sadeghi F, et al. The effect of BMP-6 growth factor on differentiation of adipose-derived stem cells into chondrocyte in pellet culture. *JIMS* 2009, 27(100): 613-44. [In Persian].
- 31.** Zhang X, Jiao C, Zhao S. Role of mesenchymal stem cells in immunological rejection of organ transplantation. *Stem Cell Rev* 2009; 5(4): 402-9.
- 32.** Crop M, Baan C, Weimar W, Hoogduijn M. Potential of mesenchymal stem cells as immune therapy in solid-organ transplantation. *Transpl Int* 2009; 22(4): 365-76.
- 33.** Keramidas M, de Fraipont F, Karageorgis A, Moisan A, Persoons V, Richard MJ, et al. The dual effect of mesenchymal stem cells on tumour growth and tumour angiogenesis. *Stem Cell Res Ther* 2013 29; 4(2): 41.
- 34.** Kucerova L, Matuskova M, Hlubinova K, Altanerova V, Altaner A: Tumor cellsbehaviour modulation by mesenchymal stromal cells. *Mol Cancer* 2010; 9: 129-34.
- 35.** Suchanek J, Visek B, Soukup T, El-Din Mohamed SK, Ivancakova R, Mokry J, et al. Stem cells from human exfoliated deciduous teeth--isolation, long term cultivation and phenotypical analysis. *Acta Medica (Hradec Kralove)* 2010; 53(2): 93-9.
- 36.** Nakamura S, Yamada Y, Katagiri W, Sugito T, Ito K, Ueda M. Stem cell proliferation pathways comparison between human exfoliated deciduous teeth and dental pulp stem cells by gene expression profile from promising dental pulp. *J Endod* 2009; 35(11): 1536-42.
- 37.** Kerkis I, Kerkis A, Dozortsev D, Stukart-Parsons GC, Gomes Massironi SM, Pereira LV, et al. Isolation and characterization of a population of immature dental pulp stem cells expressing OCT-4 and other embryonic stem cell markers. *Cells Tissues Organs* 2006; 184(3-4): 105-16.

The Effects of Coculture of Stem Cells from Human Exfoliated Deciduous Teeth (SHED) on K562 Tumor Cells

Mona Gorji¹, Batoul Hashemibeni PhD², Hamid Bahramian PhD², Hosein Salehi PhD³, Razieh Alipour MSc⁴, Maryam Aliakbari⁵

Original Article

Abstract

Background: Due to increased prevalence of cancer in human population, the effectiveness of chemotherapy and drug (therapy) is reducing because of recurrence and drug-resistance. Therefore, scientists are trying other options such as cell-therapy. Among the cells, scientists have more focused on evaluating effect of stem cells on tumor cells. Since there were controversial reports on this effect in literature, the aim of this study was to assess the proliferation and survival of K562 tumor cells cocultured with stem cells from human exfoliated deciduous teeth (SHED).

Methods: Stem cells were isolated from human exfoliated deciduous teeth and cultured K562 cells were obtained from the Pasteur institute of Iran. Stem cells and K562 were directly cocultured with each other and the ratios of K562 to stem cells were 1/10, 10/1, and 1/1. In this study, the viability and proliferation of the cells via MTT assay [3-(4,5-dimethylthiazol-2-yl)-2,5-diphenyltetrazolium bromide] and trypan blue staining.

Findings: The trypan blue and MTT assay results of 48 hours coculture with ratio of 1/10 in comparison with control group did not show any significance difference. But with this ratio, at 96 hour, proliferation of K562 compared to control had reduced significantly; and in other ratios (1/1 and 1/10) at 48 and 96 hours, proliferation of K562 increased significantly ($P < 0.05$).

Conclusion: Results of our study revealed that in this coculture, increased number of stem cells had an inhibitory effect on proliferation of K562 cells. Moreover, low numbers of stem cells not only were not able to inhibit tumor cells, but also contributed to improve their proliferation.

Keywords: Human exfoliated deciduous teeth (SHED), Stem cell, K562 tumor cell, Coculture

Citation: Gorji M, Hashemibeni B, Bahramian H, Salehi H, Alipour R, Aliakbari M. The Effects of Coculture of Stem Cells from Human Exfoliated Deciduous Teeth (SHED) on K562 Tumor Cells. J Isfahan Med Sch 2014; 32(304): 1633-45

1- MSc Student, Department of Anatomical Sciences, School of Medicine AND Student Research Committee, Isfahan University of Medical Sciences, Isfahan. Iran

2- Associate Professor, Department of Anatomical Sciences, School of Medicine, Isfahan University of Medical Sciences, Isfahan. Iran

3- Assistant Professor, Department of Anatomical Sciences, School of Medicine, Isfahan University of Medical Sciences, Isfahan. Iran

4- PhD student, Department of Immunology, School of Medicine, Isfahan University of Medical Sciences, Isfahan. Iran

5- Department of Anatomical Sciences, School of Medicine, Isfahan University of Medical Sciences, Isfahan. Iran

Corresponding Author: Batoul Hashemibeni PhD, Email: hashemibeni@med.mui.ac.ir

اثر ضد قارچی اسانس گیاه خوشاریزه (*Echinophora platyloba*) بر گونه‌های کاندیدایی جدا شده از واژینیت کاندیدایی در مقایسه با فلوکونازول

نوید امینیان^۱، دکتر پروین دهقان^۲، دکتر مصطفی چادگانی‌پور^۳، دکتر ابراهیم سجادی^۴، مریم یزدی^۵

مقاله پژوهشی

چکیده

مقدمه: کاندیدایا یکی از عوامل شایع عفونت‌های فرست طلب انسانی است. با توجه به افزایش عفونت‌های فرست طلب و مصرف بیش از حد داروها، مقاومت نسبی در گونه‌ها نسبت به داروهای ضد قارچی از جمله فلوکونازول ایجاد شده است. با نظر به این موضوع که گیاهان یک منبع الهام بخش برای ساخت داروها می‌باشند، بررسی گیاه خوشاریزه با توجه به بومی بودن در ایران، می‌تواند در شناخت مسیرهای جدید درمان عفونت‌های مقاوم به دارو کمک کننده باشد.

روش‌ها: ایزوله‌های قارچی جدا شده از افراد مبتلا به واژینیت کاندیدایی پس از تعیین هویت، به روش RapIDTM Yeast plus system، مورد استفاده قرار گرفتند. برای آزمون حساسیت دارویی گونه‌ها، از رقت‌های مختلف داروی فلوکونازول و اسانس گیاه خوشاریزه به روش انتشار در ژل استفاده شد و MIC_{۹۰} (Minimal fungicidal concentration) و MIC_{۵۰} (Minimum inhibitory concentration) به روش میکرودایلوجن برای هر یک از گونه‌ها به صورت جداگانه ثبت و مقایسه گردید.

یافته‌ها: از تعداد ۱۵ گونه‌ی کار شده، ۶ درصد گونه‌ها نسبت به فلوکونازول حساس بودند و فقط دو گونه‌ی (۵۳) (گلابراتا) و (۲۹) (آلیکنوس) وابسته به دوز و سه گونه‌ی (۶۰) (گلابراتا)، (۶۸) (کروزهای) و (۱۴۹) (روگوزا) نسبت به فلوکونازول مقاوم بودند؛ در حالی که نسبت به اسانس خوشاریزه در محدوده‌ی وابسته به دوز قرار گرفتند. در بررسی اسانس خوشاریزه، ۶ درصد گونه‌ها حساس، ۴۸ درصد وابسته به دوز و ۴۶ درصد مقاوم گزارش گردید. کمترین مقدار MIC_{۹۰} و MIC_{۵۰} فلوکونازول و اسانس خوشاریزه برای گونه‌ی (۳۱) (آلیکنوس) و بیشترین آن‌ها برای گونه‌ی (کروزهای) (۶۸) ثبت گردید.

نتیجه‌گیری: به نظر می‌رسد، می‌توان در کنار مصرف فلوکونازول، از اسانس خوشاریزه به صورت خوارکی و یا تهییه‌ی لوسيون در درمان مکمل واژینیت کاندیدایی استفاده کرد.

وازگان کلیدی: واژینیت کاندیدایی، فلوکونازول، گیاه خوشاریزه، اسانس، میکرودایلوجن

ارجاع: امینیان نوید، دهقان پروین، چادگانی‌پور مصطفی، سجادی ابراهیم، یزدی مریم. اثر ضد قارچی اسانس گیاه خوشاریزه (Echinophora platyloba) بر گونه‌های کاندیدایی جدا شده از واژینیت کاندیدایی در مقایسه با فلوکونازول. مجله دانشکده

پزشکی اصفهان ۱۳۹۳؛ ۳۰(۴): ۱۶۴۶-۱۶۵۸

۱- دانشجوی کارشناسی ارشد، گروه انگلشناسی و قارچ‌شناسی، دانشکده‌ی پزشکی و کمیته‌ی تحقیقات دانشجویی، دانشگاه علوم پزشکی اصفهان، اصفهان، ایران

۲- استادیار، گروه انگلشناسی و قارچ‌شناسی، دانشکده‌ی پزشکی، دانشگاه علوم پزشکی اصفهان، اصفهان، ایران

۳- استاد، گروه انگلشناسی و قارچ‌شناسی، دانشکده‌ی پزشکی، دانشگاه علوم پزشکی اصفهان، اصفهان، ایران

۴- استاد، گروه فارماکوگنوزی، دانشکده‌ی داروسازی، دانشگاه علوم پزشکی اصفهان، اصفهان، ایران

۵- دانشجوی دکتری، گروه آمار زیستی و اپیدمیولوژی، دانشکده‌ی بهداشت، دانشگاه علوم پزشکی اصفهان، اصفهان، ایران

نویسنده‌ی مسؤول: دکتر پروین دهقان
Email: dehghan@med.mui.ac.ir

مقدمه

کاندیدایزیس بدون شک یکی از شایع‌ترین عفونت‌های فرصت طلب انسانی است که توانایی ایجاد عفونت‌های حاد و مزمن جلدی، جلدی-مخاطی و سیستمیک را دارد (۱). احتمال می‌رود که ۷۵ درصد از خانم‌ها حداقل یک بار در طول عمر خود دچار عفونت کاندیدایی واژن شوند و ۴۵ درصد از آن‌ها دو یا سه بار دیگر مورد حمله‌ی کاندیدایی قرار گیرند که حدود ۵ درصد آنان به عفونت مزمن مبتلا می‌شوند (۲-۳). با توجه به مصرف روزافزون داروها و همچنین افزایش عفونت‌های با منشأ کاندیدایی، گزارش‌هایی مربوط به افزایش مقاومت گونه‌های کاندیدا بر داروهای ضد قارچی از جمله فلوكوتازول مشاهده شده است (۴).

غالب عفونت‌های مقاوم امروزی توسط گونه‌ی آلبیکنس و در برخی موارد جایگزینی عوامل کاندیدایی با گونه‌های مقاومی از جمله گلابراتا، کروزهای و تروپیکالیس همراه است (۵). با توجه به این مطالب، یافتن درمان جایگزین داروهای شیمیایی برای حذف مقاومت، عوارض جانبی و جلوگیری از عود مکرر، ضروری به نظر می‌رسد (۶).

به دنبال پیشرفت علم و اهمیت بخش سلامت در جوامع، استفاده از داروها افزایش یافته است و با توجه به عوارض جانبی، قیمت بالا و مراحل پیچیده‌ی تولید داروهای شیمیایی، گیاهان دارویی مورد توجه قرار گرفته‌اند (۷). قدمت استفاده از گیاهان دارویی به سال‌ها پیش و متناسب با قدمت تمدن بر می‌گردد (۶). گیاه درمانی شاخه‌ای از طب سنتی است که در کشورهای با سابقه‌ای مثل ایران که غنی از گنجینه‌ی گیاهان مختلف بومی است تا یک

قرن پیش و قبل از پیدایش داروهای سنتیک نقش اصلی را در درمان بیماری‌ها داشته است (۸). تحقیقات زیادی روی گیاهان انجام شده تا اثرات درمانی آن‌ها به اثبات برسد، اما بسیاری از گیاهان نیز وجود دارد که بدون هیچ سابقه‌ی علمی از آن‌ها به صورت سنتی استفاده می‌گردد (۹).

از مطالعات انجام شده در ایران، می‌توان به بررسی اثر گیاه خواریزمه روی درماتوفیت‌ها توسط آویژگان و همکاران (۱۰) و بررسی اثر ضد قارچی کاتچین موجود در چای سبز توسط حقیقی و همکاران (۱۱) اشاره کرد. همچنین بررسی اثر عصاره‌ی سیر و موسیر بر ضد گونه‌های کاندیدا توسط مدلنی و همکاران (۱۲) و مقایسه‌ی اثر عصاره‌ی الکلی خواریزمه در برابر فلوكوتازول توسط آویژگان و همکاران (۱۳) از دیگر مطالعات می‌باشد. محققان زیادی اقدام به بررسی اثرات ضد قارچی گیاهان بومی مناطق زندگی خود نمودند که از آن جمله می‌توان به مطالعه‌ی Hammer و همکاران (۱۴) بر روی بیش از ۵۰ گونه‌ی بومی مناطق استرالیا و یا مطالعه‌ی Duarte و همکاران (۱۵) در مناطق برزیل اشاره کرد. در حال حاضر، حدود نیمی از فراورده‌های دارویی آمریکا منشأ گیاهی دارند (۱۶)؛ اما کمبود اطلاعات دارویی و درمانی گروه بزرگی از فراورده‌های طبی گیاهی، زمینه‌ساز مشکل بزرگی در استفاده‌ی بهینه از گیاهان شده است (۱۷). در ضمن، روند توسعه‌ی داروهای ضد قارچی در مقابل داروهای ضد باکتریایی، بسیار کند است و نیاز به افزایش تنوع داروهای قارچی با کاهش عوارض جانبی، بیش از پیش احساس می‌شود (۱۸). گونه‌ای از گیاه Echinophora در مناطق مرکزی و

مورد مطالعه قرار گرفت. برای جلوگیری از تداخل اطلاعات پیشین روی نتایج آزمایش، گونه‌ها کدبندی شدند. کد گونه‌های مورد استفاده به شرح زیر بود: آلبیکنس (۳۱، ۲۹، ۳۲، ۱۱۱، ۱۰۰)، کفایر (۴، ۱۴۵)، گلابراتا (۶۰، ۵۳)، روگوزا (۱۴۹)، کروزهای (۶۸، ۹۰)، پاراپسیلوزیس (۱۱۸)، زیلانوئیدس (۲۲)، گونه‌ی استاندارد آلبیکنس (PTCC۵۰۲۷).

محیط کشت SDA: محیط ساپرو دکستروز آگار تجاری (شرکت Merck، آلمان) خردباری و بر طبق دستورالعمل تهیه گردید.

(Yeast extract-peptone-dextrose) YPD
محیط ییست پپتون دکستروز به شرح زیر تهیه و آماده‌ی مصرف گردید:

Yeast extract ۱۰ g + پپتون ۲۰ g + دکستروز ۲۰ g
این مقادیر با استفاده از آب مقطر به حجم ۱ L رسانده شد. محیط YPD پس از استریلیزاسیون در حجم‌های ۴۰ ml درون اrlen مایر استریل ریخته شد و از کلنی تازه به حجم یک لوب در محیط حل گردید. این روش امکان این را می‌دهد که بلاستوکونیدی‌های همگن و مشخص حاصل شوند. arlen‌ها به مدت ۱۸ ساعت در دمای ۲۸ °C و ۱۵۰ rpm در انکوباتور شیکردار قرار گرفتند و سپس با استفاده از لام نئوبار، رقت 10^6 CFU/ml از تهشین از کلنی‌ها در آب مقطر تهیه شد.

تهییه‌ی فلوکونازول آماده‌ی مصرف: برای این منظور، با حل کردن پودر خالص فلوکونازول (شرکت Merck، آلمان) در محلول دی‌متیل سولفوکساید (Dimethyl sulfoxide) یا DMSO به عنوان محلول استوک تهیه گردید.

غرب ایران به صورت خشک شده در پنیر و ماست به عنوان طعم دهنده (۱۹) و به عنوان ممانعت کننده از رشد کپک‌ها در خیار شور و رب گوجه فرنگی به کار می‌رود (۲۰). نام محلی آن خوشاریزه می‌باشد (۲۱). از اندامک‌های هوایی گیاه (ساقه، برگ و گل) می‌توان به روش تقطیر اسانس تهیه کرد که این اسانس، شامل ترکیبات مؤثره‌ی گیاه است (۲۲). این گیاه حاوی ترکیبات مونوتربینی هیدروکربن‌دار می‌باشد که از آن جمله می‌توان به ترکیبات ساپونین، آکالولئید و فلاونوئید اشاره کرد که در واقع، ماده‌ی مؤثره‌ی گیاه به شمار می‌رود (۲۰).

در این مطالعه، مقایسه‌ی اثر اسانس تهیه شده از گیاه خوشاریزه در ممانعت از رشد گونه‌های بالینی جدا شده از واژینیت کاندیدایی در برابر فلوکونازول مورد بررسی قرار گرفت تا با بررسی فراتر از یک نمونه‌ی استاندارد آزمایشگاهی، نتایج واقع گرایانه‌تری از این گیاه حال شود.

روش‌ها

گونه‌های مورد استفاده: در این مطالعه از گونه‌های جدا شده از واژینیت کاندیدایی استفاده شد. گونه‌های SDA جدا شده پس از کشت در Sabouraud dextrose agar (Sabouraud dextrose agar) بیوشیمیایی مانند جذب قندها به روش RapIDTM yeast plus system تولید کلامیدوکوتیدی شناسایی شدند و در مجموع، تعداد ۱۵ سویه (تعداد ۶ سویه از C.glabrata، C.kefyre، C.albicans و C.rugosa هر یک ۲ سویه و از انواع C.krusei و C.zeylanoides و C.parapsilosis به تعداد ۱ سویه)

پلیت انجام شد و هاله‌ی عدم رشد پس از ۴۸-۲۴ ساعت در دمای 30°C ثبت و مقایسه گردید. این مراحل برای هر یک از گونه‌ها در سه تکرار انجام پذیرفت.

تعیین MIC و MFC: برای این منظور، رقت‌های سریال از $\mu\text{g}/100$ تا $100/195$ از محلول استوک اولیه تهیه گردید. در ابتدای امر، رقت‌های سریال تهیه شده در چاهک‌های حفر شده در SDA ریخته شد و پس از ۴۸-۲۴ ساعت، هاله‌ی عدم رشد در چاهک‌ها بررسی گردید. این کار به منظور جلوگیری از اتلاف وقت و به دلیل مقدار کم اسانس گیاه انجام شد و به کمک این روش، حد پایین - آخرین رقت ثبت هاله‌ی عدم رشد- و حد بالا - اولین رقت رشد کامل کاندیدا-، مشخص شد. در مرحله‌ی بعد، به رقت‌سازی دقیق‌تر بین دو حد بالا و پایین مختص هر گونه انجام شد. در ادامه‌ی کار و برای تعیین حداقل غلظت ممانعت کنندگی (MIC) یا (Minimum inhibitory concentration) و حداقل غلظت کشنده‌ی (Minimal fungicidal concentration) یا (MFC) از رقت‌سازی در میکروپلیت الایزا استفاده شد. درون هر چاهک $200\ \mu\text{l}$ از محیط (Sabouraud Dextrose Broth) و $10\ \mu\text{l}$ از رقت 10° کلنی از هر گونه ریخته شد و رقت‌های مختلف از اسانس و دارو به صورت سریال تهیه گردید. در چاهک شاهد منفی $200\ \mu\text{l}$ DMSO و در چاهک شاهد مثبت $10\ \mu\text{l}$ از کلنی بدون اسانس و دارو استفاده شد و پس از ۴۸-۲۴ ساعت انکوباسیون در 30°C برای مشاهده اثربخشی دارو و اسانس، $10\ \mu\text{l}$ از محتوای هر چاهک در محیط SDA به شکل سفره‌ای کشت داده شد و پس از ۴۸-۲۴ ساعت

محلول حاصل، با فیلتر $0.22\ \mu\text{m}$ استریل شد و رقت‌های مورد نظر به دست آمد.

تهیه‌ی اسانس گیاه خوشاریزه: پس از جمع آوری گیاه خوشاریزه در اوایل شهریور تا اواخر مهر و خشک کردن آن با استفاده از دستگاه کلونجر و به روش تقطیر، اسانس تهیه شد. به ازای هر $50\ \text{kg}$ گیاه، مقدار $1\ \text{ml}$ حاوی $100\ \text{mg}$ از ماده‌ی مؤثره‌ی گیاه به دست آمد. پس از استریل کردن محلول با استفاده از فیلتر $0.22\ \mu\text{m}$ ، رقت‌های مورد نظر تهیه و آماده‌ی مصرف گردید.

تعیین حساسیت گونه‌ها: با استفاده از روش انتشار در ژل درون چاهک‌ها بر طبق روش NCCLS (National Committee for Clinical Laboratory Standards) عمل شد (۲۳). بر روی یک پلیت حاوی محیط SDA، سه چاهک به قطر $6\ \text{mm}$ و حجم $50\ \mu\text{l}$ حفر شد. در چاهک اول، $40\ \mu\text{l}$ از محلول فلوكونازول و در چاهک دوم $40\ \mu\text{l}$ از اسانس خوشاریزه و در چاهک سوم برای حذف اثر حلال به عنوان شاهد منفی، از $40\ \mu\text{l}$ DMSO استفاده گردید. غلظت موردن استفاده از دارو برای تعیین حساسیت گونه‌ها بر طبق روش NCCLS $25\ \mu\text{g}/\text{ml}$ بود. با توجه به مقایسه اثر ماده‌ی مؤثره‌ی گیاه خوشاریزه با فلوكونازول و استفاده از روش مرجع مشترک برای هر دو، تمامی موارد اعم از رقت‌های موردن استفاده، محیط‌های کشت و روش‌های سنجش برای صحبت بخشی بیشتر به نتایج، به صورت یکسان و بر طبق روش NCCLS انتخاب شد.

به مدت یک ساعت به محلول‌های درون چاهک اجازه‌ی انتشار داده شد و سپس کشت سفره‌ای 10^9 CFU/ml از کلنی‌ها به صورت جداگانه در هر

گروه مورد مطالعه و به تفکیک هر گونه، وجود اختلاف آماری در میانگین طول هاله‌ی عدم رشد با آزمون t مستقل دو نمونه‌ای بررسی گردید. همان گونه که در جدول ۱ آمده است، به جز دو گونه‌ی شماره‌ی ۲۹ (آلیکنس) و ۵۳ (گلابراتا)، عملکرد فلوکونازول و اسانس خوشاریزه در دوز استاندارد ۲۵ µg از نظر آماری اختلاف نشان می‌دهد ($P < 0.050$). (P.

سه گونه‌ی ۶۰ (گلابراتا)، ۶۸ (کروزهای) و ۱۴۹ (رگوزا) در برابر فلوکونازول رشد کامل داشتند و به عنوان گونه‌های مقاوم معرفی شدند. نکته‌ی جالب توجه در این سه گونه، قرار گرفتن در محلوده‌ی وابسته به دوز اسانس خوشاریزه می‌باشد. نتایج مربوط به حساسیت گونه‌ها در جدول ۱ و نمودار مربوط به مقایسه‌ی آن‌ها در شکل ۱ آمده است.

انکوباسیون در C^0 ، پلیت‌ها با پلیت شاهد مقایسه و ثبت گردید. تمامی مراحل در ۳ تکرار انجام پذیرفت. اولین رقتی که باعث ممانعت از رشد ۵۰ درصد گونه‌ها می‌شود، به عنوان MIC₅₀؛ اولین رقتی که از رشد ۹۰ درصد گونه‌ها ممانعت می‌کند، به عنوان MIC₉₀ و اولین رقتی که ۹۹/۹ درصد گونه‌ها را از بین می‌برد، به عنوان MFC گزارش می‌گردد.

یافته‌ها

بر اساس جدول NCCLS، به ازای ۲۵ µg از فلوکونازول و اسانس هاله‌ی عدم رشد کمتر از ۱۲ به عنوان مقاوم، هاله‌ی عدم رشد بین ۱۳–۱۸ به عنوان وابسته به دوز و هاله‌ی عدم رشد بیشتر از ۱۹ به عنوان حساس گزارش می‌گردد. پس از بررسی طبیعی بودن توزیع اندازه‌های قطر هاله‌ی عدم رشد در دو

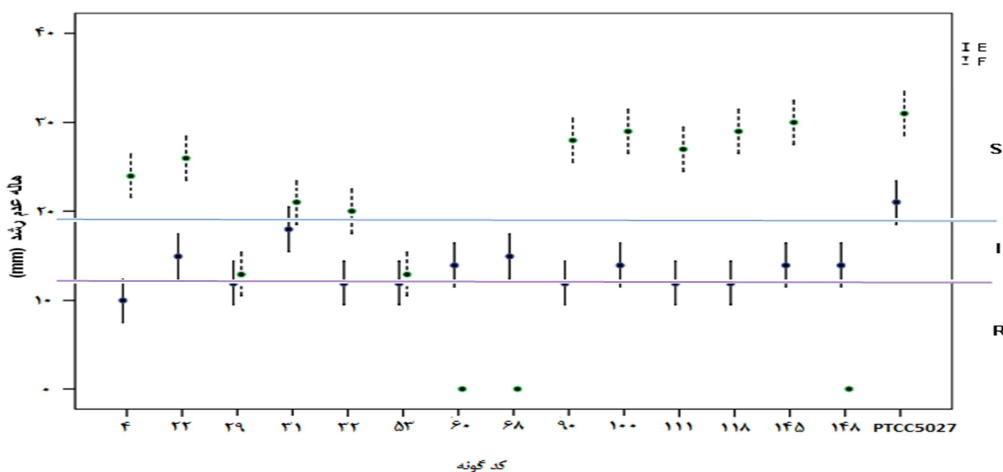
جدول ۱. هاله‌ی عدم رشد بر حسب میلی‌متر

گونه‌ها	فلوکونازول ۲۵ µg	حساسیت	اسانس خوشاریزه ۲۵ µg	حساسیت	P مقدار
۴	۲۴	S	۱۰	R	< ۰/۰۰۱
۲۲	۲۶	S	۱۵	I	< ۰/۰۰۱
۲۹	۱۲	I	۱۲	R	۰/۲۸۸
۳۱	۲۱	S	۱۸	I	۰/۰۲۱
۳۲	۲۰	S	۱۲	R	۰/۰۰۱
۵۳	۱۳	I	۱۲	R	۰/۲۸۸
۶۰	N	R	۱۴	I	< ۰/۰۰۱
۶۸	N	R	۱۵	I	< ۰/۰۰۱
۹۰	۲۸	S	۱۲	R	< ۰/۰۰۱
۱۰۰	۲۹	S	۱۴	I	< ۰/۰۰۱
۱۱۱	۲۷	S	۱۲	R	< ۰/۰۰۱
۱۱۸	۲۹	S	۱۲	R	< ۰/۰۰۱
۱۴۵	۳۰	S	۱۴	I	< ۰/۰۰۱
۱۴۹	N	R	۱۴	I	< ۰/۰۰۱
PTCC ۵۰۲۷	۳۱	S	۲۱	S	< ۰/۰۰۱

$$R = \%, S = \%, I = \%$$

$$R = \%, S = \%, I = \%$$

R: مقاوم، I: وابسته به دوز، S: حساس، N: عدم تأثیر دارو و اسانس



شکل ۱. نمودار مربوط به مقایسه حساسیت گونه‌ها به تفکیک مقاوم، I: وابسته به دوز، S: حساس

μg ۲/۰۰، ۲/۷۵ و ۳/۲۵ و بیشترین آن‌ها برای گونه‌ی (کروزهای) به ترتیب برابر μg ۴۹/۰۰، ۴۸/۰۰ و ۴۰/۰۰ ثبت گردید. این مقادیر در اسانس خوشاریزه برای گونه‌ی ۳۱ (آلیکنس) به ترتیب برابر μg ۳/۷۵ و ۵/۷۵ و ۶/۲۵ و برای گونه‌ی ۶۸ (کروزهای) به ترتیب برابر μg ۱۵/۵۰، ۲۵/۰۰ و ۲۶/۵۰ ثبت و گزارش گردید. نتایج مربوط به MIC و MFC در جدول ۳ و نمودار مربوط به مقایسه آن‌ها در شکل ۲ آمده است.

بحث

کاندیدا یکی از شایع‌ترین عوامل عفونت‌های فرصت طلب انسانی است (۲۴). عفونت‌های قارچی فرصت طلب در اکثر موارد به دلیل نقص سیستم ایمنی در افراد ایجاد می‌گردد. انواع بدخیمی‌های خونی، مصرف بی‌رویه‌ی آنتی‌بیوتیک‌ها و کورتیکواستروئیدها از جمله عوامل زمینه‌ساز ابتلا به عفونت‌های فرصت طلب مانند کاندیدیازیس می‌باشد (۲۵). گونه‌های کاندیدا یکی از عوامل ایجاد کننده‌ی واژینیت می‌باشند (۲۵). عامل اکثر موارد واژینیت

رقتهای بین $0/۱۹۵-۱۰۰\ \mu\text{g}$ از اسانس و دارو تهیه و مورد استفاده قرار گرفت. تا رقت $0/۵۶۲\ \mu\text{g}$ از اسانس و دارو بر ارگانیسم‌ها به طور کامل بی‌تأثیر بودند. حساس‌ترین گونه‌ها به رقت‌های کم فلوکونازول، گونه‌های ۲۲ (زیالانوئیدس) و ۳۱ (آلیکنس) بودند که هاله‌ی عدم رشد برای رقت $۳/۱۲۵$ از خود نشان دادند. سه گونه‌ی ۶۰ (گلابراتا)، ۶۸ (کروزهای) و ۱۴۹ (روگوزا) که نسبت به فلوکونازول مقاومت کامل داشتند، در رقت $۱۲/۵$ از اسانس، هاله‌ی عدم رشد نشان دادند. نکته‌ی قابل توجه در مورد گونه‌ی ۵۳ (گلابراتا) و ۲۹ (آلیکنس) ثبت هاله‌ی عدم رشد برای رقت بالاتر اسانس خوشاریزه نسبت به فلوکونازول می‌باشد. ۴۸ درصد گونه‌ها در برابر اسانس خوشاریزه مقاوم بودند و سایر گونه‌ها در محدوده‌ی وابسته به دوز قرار داشتند. نتایج مربوط به رقت‌های سریال در جدول ۲ آمده است. کمترین MIC_{۹۰}، MIC_{۵۰} و MFC برای فلوکونازول و اسانس خوشاریزه، مربوط به گونه‌ی ۳۱ (آلیکنس) بود که برای فلوکونازول به ترتیب

گونه‌های غیر آلبیکنس مثل گلابراتا، کروزهای و تروپیکالیس گزارش شده است (۲۶).

کاندیدایی، گونه‌ی آلبیکنس می‌باشد، اما در مطالعات انجام شده عامل حدود ۱۵-۴۷ درصد موارد بیماری،

جدول ۲. رقت‌ها و هاله‌ی عدم رشد بر حسب میلی‌متر

کد گونه	ماده‌ی مؤثره	رقت‌ها (μg)	حد پایین					حد بالا	حد پایین
			۱/۵۶۲	۳/۱۲۵	۶/۲۵۰	۱۲/۵۰۰	۲۵/۰۰۰		
حاله‌ی عدم رشد بر حسب میلی‌متر									
۳/۱۲۵	۶/۲۵۰	N	N	۸	۱۴	۲۴	F		۴
۶/۲۵۰	۱۲/۵۰۰	N	N	N	۷	۱۰	E		
۱/۵۶۲	۳/۱۲۵	N	۵	۹	۱۵	۲۶	F		۲۲
۳/۱۲۵	۶/۲۵۰	N	N	۶	۸	۱۵	E		
۱۲/۵۰۰	۲۵/۰۰۰	N	N	N	N	۱۳	F		۲۹
۶/۲۵۰	۱۲/۵۰۰	N	N	N	۷	۱۲	E		
۱/۵۶۲	۳/۱۲۵	N	۵	۹	۱۲	۲۱	F		۳۱
۳/۱۲۵	۶/۲۵۰	N	N	۸	۱۱	۱۸	E		
۳/۱۲۵	۶/۲۵۰	N	N	۸	۱۱	۲۰	F		۳۲
۶/۲۵۰	۱۲/۵۰۰	N	N	N	۷	۱۲	E		
۶/۲۵۰	۱۲/۵۰۰	N	N	N	۸	۱۳	F		
۳/۱۲۵	۶/۲۵۰	N	N	۵	۷	۱۲	E		۵۳
-----	-----	N	N	N	N	N	F		۶۰
۳/۱۲۵	۶/۲۵۰	N	N	۶	۷	۱۴	E		
-----	-----	N	N	N	N	N	F		۶۸
۶/۲۵۰	۱۲/۵۰۰	N	N	N	۷	۱۵	E		
۳/۱۲۵	۶/۲۵۰	N	N	۸	۱۶	۲۸	F		۹۰
۶/۲۵۰	۱۲/۵۰۰	N	N	N	۸	۱۲	E		
۳/۱۲۵	۶/۲۵۰	N	N	۹	۱۶	۲۹	F		۱۰۰
۳/۱۲۵	۶/۲۵۰	N	N	۶	۸	۱۴	E		
۶/۲۵۰	۱۲/۵۰۰	N	N	N	۱۵	۲۷	F		۱۱۱
۶/۲۵۰	۱۲/۵۰۰	N	N	N	۸	۱۲	E		
۳/۱۲۵	۶/۲۵۰	N	N	۸	۱۶	۲۹	F		۱۱۸
۶/۲۵۰	۱۲/۵۰۰	N	N	N	۶	۱۲	E		
۳/۱۲۵	۶/۲۵۰	N	N	۸	۱۶	۳۰	F		۱۴۵
۶/۲۵۰	۱۲/۵۰۰	N	N	N	۷	۱۴	E		
-----	-----	N	N	N	N	N	F		۱۴۹
۶/۲۵۰	۱۲/۵۰۰	N	N	N	۸	۱۴	E		
۳/۱۲۵	۶/۲۵۰	N	N	۱۰	۱۶	۳۱	F		۵۰۲۷
۳/۱۲۵	۶/۲۵۰	N	N	۹	۱۵	۲۱	E		PTCC

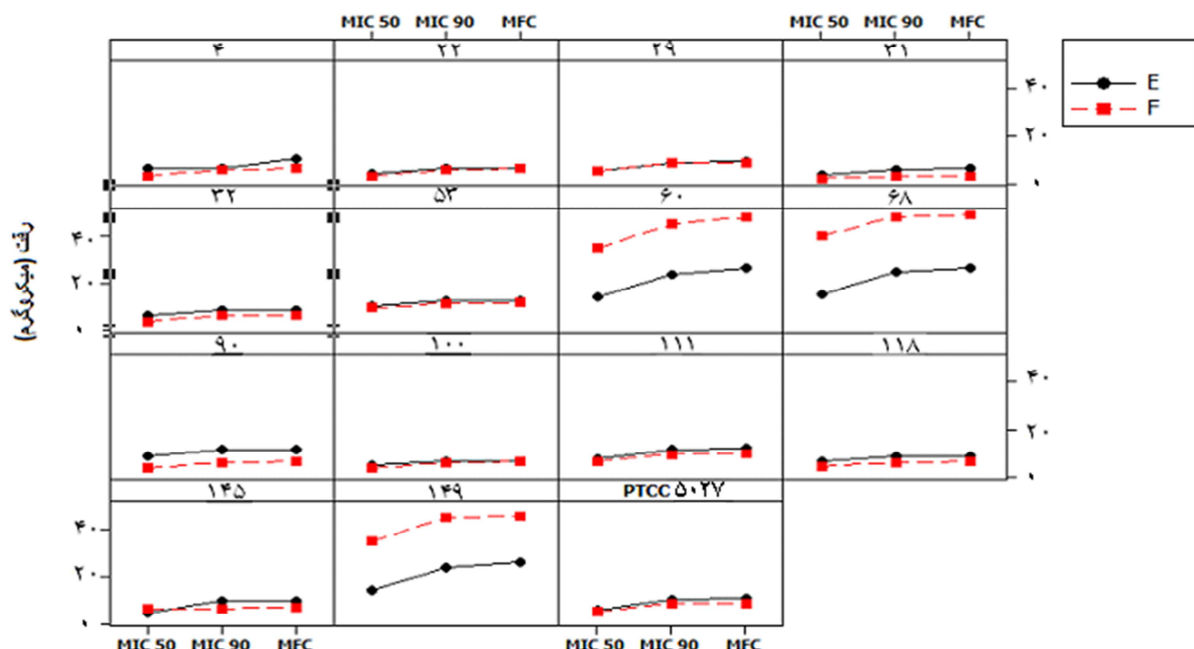
F: فلوكونازول، E: اسانس خواریزمه، N: عدم تأثیر دارو و اسانس

جدول ۳. نتایج مربوط به MFC و MIC به تفکیک گونه‌های مورد مطالعه

MFC		MIC ۹۰		MIC ۵۰		کد گونه‌ها
E	F	E	F	E	F	
۱۰/۵۰	۶/۲۵	۶/۲۵	۵/۷۵	۶/۵۰	۳/۲۵	۴
۶/۵۰	۶/۲۵	۶/۲۵	۵/۷۵	۴/۲۵	۳/۰۰	۲۲
۹/۰۰	۸/۷۵	۸/۷۵	۸/۵۰	۵/۵۰	۵/۲۵	۲۹
۳/۲۵	۳/۲۵	۵/۷۵	۲/۷۵	۳/۷۵	۲/۰۰	۳۱
۸/۷۵	۶/۵۰	۸/۵۰	۶/۲۵	۶/۵۰	۳/۷۵	۳۲
۱۲/۷۵	۱۱/۷۵	۱۲/۵۰	۱۱/۵۰	۱۰/۵۰	۹/۵۰	۵۳
۲۶/۵۰	۴۸/۰۰	۲۴/۰۰	۴۵/۰۰	۱۴/۵۰	۳۵/۰۰	۶۰
۲۶/۵۰	۴۹/۰۰	۲۵/۰۰	۴۸/۰۰	۱۵/۵۰	۴۰/۰۰	۶۸
۱۱/۷۵	۹/۲۵	۱۱/۵۰	۵/۷۵	۸/۵۰	۳/۷۵	۹۰
۶/۵۰	۶/۲۵	۶/۲۵	۵/۷۵	۴/۷۵	۳/۷۵	۱۰۰
۱۲/۰۰	۱۰/۰۰	۱۱/۵	۹/۵۰	۷/۵۰	۶/۵۰	۱۱۱
۸/۷۵	۶/۲۵	۸/۵۰	۵/۷۵	۶/۲۵	۴/۲۵	۱۱۸
۹/۷۵	۷/۰۰	۹/۵۰	۶/۵۰	۴/۷۵	۶/۲۵	۱۴۵
۲۶/۰۰	۴۶/۰۰	۲۴/۰۰	۴۵/۰۰	۱۴/۵۰	۳۵/۰۰	۱۴۹
۱۰/۷۵	۸/۷۵	۱۰/۵۰	۸/۵۰	۵/۷۵	۵/۲۵	PTCC ۵۰۷

F: فلورکنازول، E: اسانس خوشاریزه

MIC: Minimum inhibitory concentration; MFC: Minimal fungicidal concentration



MIC: Minimum inhibitory concentration; MFC: Minimal fungicidal concentration

شکل ۲. مقایسه MIC_{۵۰}, MIC_{۹۰} و MFC در گونه‌های مختلف کاندیدا

اثبات رسیده است (۲۰). بررسی‌ها نشان داده است که مکانیسم عمل ساپونین‌ها، اثر روی غشای سلولی قارچ‌ها می‌باشد که به نوعی با مکانیسم عمل داروهای گروه آزوی مطابقت دارد (۲۸)، اما عوارض جانبی گروه آزوی از جمله فلوکونازول که قابلیت واکنش با سیستم آنزیمی سیتوکروم P₄₅₀ را دارند، باعث ایجاد اختلال در کارایی این آنزیم‌ها می‌شود و همچنین مصرف بیش از حد آن‌ها باعث به وجود آمدن گونه‌های مقاوم به درمان با این داروها گشته است (۲۹).

بنا بر مطالعات انجام شده، در صورتی که برخی از انواع ترکیبات موجود در گیاهان که به صورت خالص تهیه می‌شوند، با سایر ترکیبات موجود در گیاه همراه باشند، خاصیت عوارض جانبی آن‌ها از بین می‌رود و تنها اثرات مفید آن‌ها باقی می‌ماند (۳۰).

مطالعات فراوانی در زمینه‌ی تأثیرات ضد میکروبی گیاهان به انجام رسیده است و تعداد این تحقیقات در کشور ایران که یک منطقه‌ی بومی برای بسیاری از گیاهان به شمار می‌رود، بسیار زیاد است.

آویژگان و همکاران بر روی گیاه خوشاریزه تحقیقاتی انجام دادند که هدف آن‌ها بررسی اثر عصاره‌ی این گیاه بر گونه‌ی استاندارد کاندیدا بود. این مطالعه حاکی از معرفی غلظت ۲ mg/ml از عصاره‌ی گیاه به عنوان حداقل غلظت ممانعت کننده از رشد گونه‌ها (MIC) می‌باشد که با نتایج مطالعه‌ی حاضر مغایرت‌هایی داشت (۱۳). از آن جایی که گونه‌های مورد مطالعه‌ی حاضر بالینی بودند و از واژینیت کاندیدایی جدا شده بودند، نسبت به غلظت‌های مختلف اسانس، واکنش‌های متفاوتی نشان دادند. اسانس مورد مطالعه حاوی تمامی ماده‌ی

قدمت استفاده از داروهای گیاهی به سال‌ها پیش بر می‌گردد و در واقع، بشر از اوایل تمدن از گیاهان به صورت سینه به سینه و بدون هیچ پایه‌ی علمی و تنها از روی سابقه‌ی تجربی در درمان عفونت‌ها و التیام زخم‌ها استفاده می‌کرده است (۶). در حال حاضر، حدود نیمی از داروهای شیمیایی سنتیک در آمریکا منشأ گیاهی دارند (۱۶). با توجه به این که روند توسعه‌ی داروهایی در برابر داروهای ضد باکتریایی بسیار کند است و با افزایش روزافزون میزان مناسب برای عفونت قارچی فرصت طلب و مقاومت‌های به وجود آمده در اثر مصرف بی‌رویه‌ی داروهای، نیاز به تنوع داروهای قارچی با شناسایی منابع گیاهی به علت عوارض کم، از اهمیت بیشتری برخوردار شده است (۱۸).

گونه‌ی گیاهی Echinophora به صورت چاشنی غذایی و معطر کننده در پنیر و ماست (۱۹) و همچنین به عنوان ممانعت کننده از رشد کپک‌ها در خیار سور و رب گوجه فرنگی استفاده می‌گردد (۲۰). این گیاه دارای ۱۰ گونه‌ی شناخته شده است که ۴ گونه‌ی آن بومی ایران است و از این گونه‌ها ۲ گونه‌ی Cinerea و Platyloba اندامیک مناطق مرکزی و غربی ایران می‌باشند (۲۷). نام محلی آن خوشاریزه است و در اواخر شهریور و اوایل مهر ماه رشد می‌کند (۲۱).

در مطالعه‌ی اصغری و همکاران اسانس گیاه خوشاریزه به روش کروماتوگرافی گازی آنالیز شد و مشخص گردید ترکیبات مؤثره‌ی گیاه شامل ۸۳ درصد مونوترپن هیدروکربنی می‌باشد که قسمت عمده‌ی آن را (ترانس بتا اوسیمن) تشکیل می‌دهد (۲۲). مونوترپن‌ها شامل ترکیبات ساپونین، آکالالوئید و فلاونوئیدها می‌باشد که اثر ضد قارچی آن‌ها به

آمده نشان دهندهی حساسیت حدود ۶۶ درصد از گونه‌ها به فلوكونازول است، اما در بین سایر گونه‌ها، سه گونه‌ی ۶۰ (گلابراتا)، ۶۸ (کروزهای) و ۱۴۹ (روگوزا) رشد کامل داشتند و هاله‌ی عدم رشد از خود در برابر فلوكونازول نشان ندادند که با توجه به جدول NCCLS، این گونه‌ها مقاوم به فلوكونازول معرفی می‌گردند؛ چرا که بر اساس این جدول، هاله‌ی عدم رشد کمتر از ۱۲ مقاوم به شمار می‌رود.

نکته‌ی مهم در مورد این سه گونه، ثبت هاله‌ی عدم رشد در محدوده‌ی واپسته به دوز (۱۳–۱۸) برای اسانس خوشاریزه است که به ترتیب هاله‌ی عدم رشدی معادل ۱۴ mm، ۱۵ و ۱۴ را از خود نشان دادند (۲۳).

دو گونه‌ی ۵۳ (گلابراتا) و ۲۹ (آلبیکنس) نسبت به فلوكونازول و اسانس خوشاریزه در محدوده‌ی واپسته به دوز می‌باشند. نکته‌ی قابل توجه در این دو گونه، نتایج حاصل از رقت سریال اسانس و دارو می‌باشد که برای گونه‌ی ۵۳ در رقت $6/25 \mu\text{g}$ و برای گونه‌ی ۲۹ رقت $12/5 \mu\text{g}$ از اسانس هاله‌ی عدم رشدی برابر 5 mm ثبت شد. در حالی که این رقت از فلوكونازول بر این گونه‌ها بی‌اثر بوده است. توجه به این یافته شاید میین این موضوع باشد که می‌توان از اسانس خوشاریزه در مواجهه با این گونه‌ها که رفتار متفاوتی از خود نشان می‌دهند، به صورت درمان مکمل استفاده و اثر سینزیسم آن بر دارو را بررسی کرد.

بحث مقاومت گونه‌های مختلف به یک گیاه و رفتارهای متفاوت این گونه‌ها در مطالعه‌ی آویزگان و همکاران بر روی درماتوفیت‌ها به چالش کشیده شده است و نتایج حاصل نشان دهندهی مقاومت دو گونه‌ی روبروم و جیپسئوم به گیاه خوشاریزه بود؛ این در حالی است که سایر گونه‌ها به غلظت برابر از

مؤثره‌ی گیاه می‌باشد که به نظر می‌رسد اثربخشی بیشتری نسبت به عصاره‌ی الكلی گیاه داشته باشد؛ به گونه‌ای که غلظت‌های پایین مؤثر بر گونه‌ها تأیید کننده‌ی این ادعا می‌باشد.

مطالعات مختلفی که در حوزه‌ی مقاومت دارویی انجام شده است، تأیید کننده‌ی مقاومت نسبی گونه‌هایی مثل کروزهای و گلابراتا نسبت به طیف وسیعی از داروهای ضد قارچی می‌باشد که این نتیجه، در مطالعه‌ی حاضر نیز به اثبات رسیده است که مقاومت کامل سه گونه‌ی ۶۰ (گلابراتا)، ۶۸ (کروزهای) و ۱۴۹ (روگوزا) نسبت به فلوكونازول میین این مطلب است.

این اثربخشی در مطالعه‌ی مدنی و همکاران نیز به گونه‌ی دیگری به اثبات رسیده است. آن‌ها اثبات کردند دو گونه‌ی گلابراتا و تروپیکالیس در مقابل عصاره‌ی سیر و موسیر مقاومت نشان داده‌اند؛ این در حالی است که سایر گونه‌های مورد بررسی از جمله گونه‌ی آلبیکنس به غلظت برابر از این عصاره حساس بودند و رشد نکردند (۱۲). این موضوع، بیش از پیش تفاوت گونه‌ها در پاسخ به عوامل ضد قارچی را آشکار می‌کند و میین این مطلب است که برای بررسی اثربخشی ترکیب جدید، باید از تعداد بیشتری از گونه‌ها با تفاوت‌های رفتاری مختلف استفاده شود تا نتایج از صحت بیشتری برخوردار باشد که این موضوع در مطالعه‌ی حاضر رعایت گردیده و سعی شده است با استفاده از تعداد بیشتر گونه‌ها و منشأ بالینی آن‌ها، نتایج واقع گرایانه‌تری حاصل شود.

با توجه به جدول NCCLS که اشاره به حساس بودن گونه‌هایی با هاله‌ی عدم رشد بیش از 19 mm در مقابل $25 \mu\text{g}$ از فلوكونازول دارد، نتایج به دست

نتیجه‌گیری نهایی این که با توجه به مقاومت سه گونه‌ی ۶۰ (گلابراتا)، ۶۸ (کروزه‌ای) و ۱۴۹ (روگوزا) و همچنین وابسته به دوز بودن دو گونه‌ی ۵۳ (گلابراتا) و ۲۹ (آلبیکنس) نسبت به فلوکونازول، در کنار نتایج امیدوار کننده‌ی این گونه‌ها در برابر اسانس خوشاریزه، به نظر می‌رسد می‌توان در کنار مصرف دارو، از اسانس گیاه به صورت خوراکی و یا تهیه‌ی لوسیون و مصرف موضعی در درمان مکمل افراد مبتلا به واژینیت کاندیدایی استفاده نمود که این امر به بررسی‌های کارشناسی دقیق‌تر نیاز دارد.

تشکر و قدردانی

این مقاله حاصل پایان نامه‌ی دوره‌ی کارشناسی ارشد نوید امینیان به شماره‌ی طرح پژوهشی ۳۹۲۲۰۲ در دانشگاه علوم پزشکی اصفهان است.

عصاره‌ی خوشاریزه حساس بودند (۳۱). این نتایج با یافته‌های مطالعه‌ی حاضر مطابقت بیشتری دارد. در بررسی تأثیر گیاهان روی قارچ‌ها، می‌توان به ترکیبات حاصل از گیاهان آویشن، میخک، دارچین، جعفری مکزیکی، سیر و غیره اشاره کرد که در مطالعات مختلف مورد بررسی قرار گرفته و تأیید شده است (۳۲-۳۳).

حقیقی و همکاران اثبات کردند که کاتچین موجود در چای سبز، اثر مناسب‌تری نسبت به فلوکونازول در از بین بردن بیوفیلم کاندیدایی دارد (۱۱). هر چند این نتیجه در مطالعه‌ی حاضر عمومیت ندارد، اما در مورد سه گونه‌ی جدا شده‌ی مقاوم به فلوکونازول می‌توان ادعا کرد که اسانس خوشاریزه در از بین بردن بیوفیلم این گونه‌ها اثربخش‌تر از فلوکونازول باشد؛ این موضوع بر روی گونه در حال بررسی است و نتایج آن در مقالات آتی اعلام خواهد شد.

References

- Calderone RA, Fonzi WA. Virulence factors of *Candida albicans*. Trends Microbiol 2001; 9(7): 327-35.
- Dan M, Kaneti N, Levin D, Poch F, Samra Z. Vaginitis in a gynecologic practice in Israel: causes and risk factors. Isr Med Assoc J 2003; 5(9): 629-32.
- Sobel JD, Wiesenfeld HC, Martens M, Danna P, Hooton TM, Rompalo A, et al. Maintenance fluconazole therapy for recurrent vulvovaginal candidiasis. N Engl J Med 2004; 351(9): 876-83.
- Akbarzadeh M, Bonyadpoore B, Pacshir K, Mohagheghzadeh A. Causes and clinical symptoms of vaginal candidiasis in patients referring to selective clinics of Shiraz University of Medical Sciences (2009). J Arak Univ Med Sci 2010; 13(3): 12-20. [In Persian].
- Ahmad S, Khan Z, Mustafa AS, Khan ZU. Seminested PCR for diagnosis of candidemia: comparison with culture, antigen detection, and biochemical methods for species identification. J Clin Microbiol 2002; 40(7): 2483-9.
- Anaissie EJ, McGinnis MR, Pfaffer MA. Clinical mycology. Churchill Livingstone: Elsevier Health Sciences; 2009.
- Van Vuuren S. Antimicrobial activity of South African medicinal plants. Journal of Ethnopharmacology 2008; 119(3): 462-72.
- Newman DJ, Cragg GM. Natural products as sources of new drugs over the last 25 years. J Nat Prod 2007; 70(3): 461-77.
- Akhani H. Notes on the flora of Iran: 3. Two new records and synopsis of the new data on Iranian Cruciferae since Flora Iranica. Candollea 2003; 58(2): 369-85.
- Avijgan M, Saadat M, Nilforoosh Zadeh M, Hafizi M. Anti-fungal effect of Echinophora Platyloba extract on some common Dermatophytes. J Med Plants 2006; 5(18): 10-6.
- Haghghi F, Roudbar Mohammadi S, Farhadi Z. The effect of catechin on fungal biofilm formation of standard susceptible and resistant strains of *Candida albicans*. Armaghan Danesh 2011; 16(4): 332-40. [In Persian].
- Madani M, Khosravi Ar, Shirani M. Comparison of the invitro effection of Allium jesdianum

- extracts on candida. *Journal Of Biology Science* 2009; 3(1): 63-71. [In Persian].
- 13.** Avijgan M, Hafizi M, Saadat M, Nilforoushzadeh MA. Antifungal effect of Echinophora Platyloba's extract against Candida albicans. *Iran J Pharm Res* 2010; 5(4): 285-9. [In Persian].
- 14.** Hammer KA, Carson CF, Riley TV. Antimicrobial activity of essential oils and other plant extracts. *J Appl Microbiol* 1999; 86(6): 985-90.
- 15.** Duarte MC, Figueira GM, Sartoratto A, Rehder VL, Delarmelina C. Anti-Candida activity of Brazilian medicinal plants. *J Ethnopharmacol* 2005; 97(2): 305-11.
- 16.** Cowan MM. Plant products as antimicrobial agents. *Clin Microbiol Rev* 1999; 12(4): 564-82.
- 17.** Fong HH. Integration of herbal medicine into modern medical practices: issues and prospects. *Integr Cancer Ther* 2002; 1(3): 287-93.
- 18.** Schultes RE. The kingdom of plants. In: Thomson WAE, editor. *Medicines from the Earth*. New York, NY: McGraw-Hill Book Co; 1978; 208.
- 19.** Rechinger KH, Hedge I. *Flora Iranica*, No. 162. Graz, Austria: Akademische Druck-u Verlagsanstalt; 1987. p. 428.
- 20.** Nourozi M. Evaluation of photochemical and antimicrobial effect of Echinophora platyloba [PhD Thesis]. Tehran, Iran: Tehran University of Medical Sciences; 1989. p. 35-40.[In Persian].
- 21.** Muzaffarian VA. Dictionary of Iranian plant names. Tehran, Iran: Farhange Muaser; 1996. [In Persian].
- 22.** Asghari GR, Sajjadi SE, Sadraei H, Yaghobi K. Essential oil constituents of Echinophora platyloba DC. *Iran J Pharm Res* 2003; 2(3): 185-6.
- 23.** Clinical Laboratory Standard Institute (CLSI). Reference method for broth dilution antifungal susceptibility testing of yeasts. Approved standard M27-A3. Wayne, PA: CLSI; 2008.
- 24.** Galan-Ladero MA, Blanco MT, Sacristan B, Fernandez-Calderon MC, Perez-Giraldo C, Gomez-Garcia AC. Enzymatic activities of Candida tropicalis isolated from hospitalized patients. *Med Mycol* 2010; 48(1): 207-10.
- 25.** Sobel JD. Vulvovaginal candidosis. *Lancet* 2007; 369(9577): 1961-71.
- 26.** Amouri I, Abbes S, Sellami H, Makni F, Sellami A, Ayadi A. The Vulvovaginal candidiasis: review. *Journal of Medical Mycology* 2010; 20(2): 108-15.
- 27.** Heywood VH. *Flowering plants of the world*. London, UK: BT Batsford Ltd; 1993.
- 28.** Renault S, De Lucca AJ, Boue S, Bland JM, Vigo CB, Selitrennikoff CP. CAY-1, a novel antifungal compound from cayenne pepper. *Med Mycol* 2003; 41(1): 75-81.
- 29.** Stewart PS. Mechanisms of antibiotic resistance in bacterial biofilms. *Int J Med Microbiol* 2002; 292(2): 107-13.
- 30.** Chevallier A. *Encyclopedia of herbal medicine*. London, UK: Dorling Kindersley Publishing; 2000.
- 31.** Avijgan M, Saadat M and Nilforoushzadeh MA. Effect of extract of Echinophora Platyloba on some common dermatophyts. Proceeding of the 2nd Symposium of Medicinal Plants; 2005 Jan 26-27; Tehran, Iran.
- 32.** Arbabi Klati h, Shirzaee M, Poorzamani M, Dabiri S. Inhibitory effects of plant extracts containing thyme, clove and cinnamon compared to nystatin on Candida albicans. (Invitro). *J Res Dent Sci* 2012; 8(4): 175-9.
- 33.** Hadizadeh I, Peivastegan B, Hamzehzarghani H. Antifungal activity of essential oils from some medicinal plants of Iran against(Alternaria alternate). *American Journal of Applied Sciences* 2009; 6(5): 744-8.

Antifungal Effect of Echinophora Platyloba Essence against the Candida Species Isolated from Vulvovaginal Candidiasis, Compared with Fluconazole

Navid Aminian MSc¹, Parvin Dehghan PhD², Mostafa Chadeganipour PhD³,
Ebrahim Sajadi PhD⁴, Maryam Yazdi MSc⁵

Original Article

Abstract

Background: Candidiasis is one of the most important opportunistic human infections. These infections have been increased due to overuse of antifungal drugs, especially fluconazole. The species has shown a relative resistance to fluconazole which is the first choice of vulvovaginal candidiasis treatment. Herbals are traditional source for medicinal drugs. Study on Echinophora platyloba, a domestic Iranian medicinal plant, could be helpful to find the alternative therapeutic agent for the cure of resistant infections.

Methods: Clinical strains isolated from vaginal candidiasis which was identified via the method of Auxanogram with RapID™ yeast plus system. Well-diffusion assay was used to determine the susceptibility of both fluconazole and essence of Echinophora platyloba on Candida species. For obtaining minimal inhibitory concentration of 50% (MIC50) and 90% (MIC90) and minimal fungicidal concentration (MFC), different dilutions were examined and compared on different species using microdilution of fluconazole and essence. The results were evaluated according to NCCLS (National Committee for Clinical Laboratory Standards) method.

Findings: From a total of 15 isolates, 10 (66%) were sensitive to fluconazole but 3 (14%) isolates, *Candida gabrata*, *Candida krusei* and *Candida rogusa*, showed resistance to this drug; meanwhile, they were dose-dependent to the essence of Echinophora platyloba. One isolate (6%) was sensitive to essence of Echinophora platyloba, whereas 7 isolates (47%) were dose-dependent and 7 (47%) were resistant to this essence. MIC50, MIC90, MFC for fluconazole and essence was observed in isolate No. 31 (*Candida albicans*) and maximum concentration of them was related to No. 68 (*Candida krusei*).

Conclusion: Using the essence of Echinophora platyloba along with the fluconazole would help to treat the resistant forms of candidiasis.

Keywords: Vulvovaginitis, Candidiasis, Fluconazole, Echinophora platyloba, Essence, Microdilution

Citation: Aminian N, Dehghan P, Chadeganipour M, Sajadi E, Yazdi M. Antifungal Effect of Echinophora Platyloba Essence against the Candida Species Isolated from Vulvovaginal Candidiasis, Compared with Fluconazole. J Isfahan Med Sch 2014; 32(304): 1646-58

1- Department of Parasitology and Mycology, School of Medicine, Isfahan University of Medical Sciences, Isfahan, Iran

2- Assistant Professor, Department of Parasitology and Mycology, School of Medicine, Isfahan University of Medical Sciences, Isfahan, Iran

3- Professor, Department of Parasitology and Mycology, School of Medicine, Isfahan University of Medical Sciences, Isfahan, Iran

4- Professor, Department of Pharmacognosy, School of Pharmacology, Isfahan University of Medical Sciences, Isfahan, Iran

5- PhD Student, Department of Biostatistics and Epidemiology, School of Health, Isfahan University of Medical Sciences, Isfahan, Iran

Corresponding Author: Parvin Dehghan PhD, Email: dehghan@med.mui.ac.ir

تشخیص کاندیدیازیس واژینال با استخراج اتوماتیک قارچ کاندیدا در تصاویر مربوط به نمونه‌های پاپ اسمیر

محمد رضا مؤمن‌زاده^۱، دکتر اردشیر طالبی^۲، دکتر علیرضا مهری دهنوی^۳، دکتر حسین ربانی^۳

مقاله پژوهشی

چکیده

مقدمه: کاندیدیازیس واژینال، بیماری شایع زنان است که در اثر رشد غیر طبیعی کاندیدا در مخاط دستگاه تناسلی زنان ایجاد می‌شود. هدف از این مطالعه، تشخیص اتوماتیک کاندیدیازیس واژینال از طریق شناسایی و استخراج قارچ کاندیدا در تصاویر میکروسکوپی مربوط به نمونه‌های پاپ اسمیر با استفاده از تکنیک‌های پردازش تصویر بود.

روش‌ها: فضای نمونه شامل ۲۰۰ تصویر دیجیتال میکروسکوپی بود. به منظور جمع‌آوری مجموعه‌ی تصاویر، از تعداد ۴۹ نمونه‌ی پاپ اسمیر به وسیله‌ی دوربین عکس‌برداری دیجیتال Nikon1 V1 متصل به میکروسکوپ نوری i Nikon Eclipse تصویربرداری صورت گرفت. برای یکنواخت‌سازی تصویر، از فیلتر کلامکی پیش زمینه و برای افزایش کیتراست، از ناهمبستگی رنگی به همراه کشش خطی کنتراست استفاده گردید. به منظور آستانه‌گذاری از روش آستانه‌گذاری Otsu در باند سیز تصویر استفاده گردید. برای استخراج میسلیوم و کونیدیوم، از ویژگی‌های هندسی مانند مساحت، قطر بزرگ، قطر کوچک، گریز از مرکز، محیط و تراکم به وسیله‌ی دسته‌بندی درخت تصمیم استفاده گردید.

یافته‌های: الگوریتم طراحی شده در تشخیص کونیدیوم قارچ کاندیدا، دارای ویژگی ۹۱/۵۴ درصد و حساسیت ۹۲/۳۲ درصد و در تشخیص میسلیوم قارچ کاندیدا دارای ویژگی ۹۸/۶۴ درصد و حساسیت ۹۶/۸۸ درصد بود.

نتیجه‌گیری: در صورتی که این نرم‌افزار به صورت موتورایز درآید، به جهت جلوگیری از خستگی چشم و افزایش دقت پاتالوژیست‌ها به عنوان همیار پژوهش در تشخیص، قابل استفاده خواهد بود.

وازگان کلیدی: کاندیدیازیس، واژینال، کاندیدا، پاپ اسمیر، پردازش تصویر

ارجاع: مؤمن‌زاده محمد رضا، طالبی اردشیر، مهری دهنوی علیرضا، ربانی حسین. تشخیص کاندیدیازیس واژینال با استفاده از استخراج اتوماتیک قارچ کاندیدا در تصاویر مربوط به نمونه‌های پاپ اسمیر. مجله دانشکده پزشکی اصفهان ۱۳۹۳؛ ۳۲(۳۰۴): ۱۶۶۷-۱۶۵۹.

مقدمه

کاندیدیازیس واژینال یکی از شایع‌ترین عفونت‌های دستگاه تناسلی زنان می‌باشد که روزانه در کلینیک‌های بالینی به چشم می‌خورد. تخمین زده می‌شود که ۷۵ درصد زنان حداقل یک بار در طی

سال‌های زندگی خود به کاندیدیازیس واژینال مبتلا می‌شوند و در حدود ۴۰-۵۰ درصد موارد، برای بار دوم عود بیماری دیده می‌شود (۱-۴). عامل این بیماری، گونه‌های مختلف کاندیدا است که کاندیدا آلبیکنس (*Candida albicans*)، شایع‌ترین

۱- دانشجوی کارشناسی ارشد، گروه بیوالکتریک و مهندسی پزشکی، دانشکده فناوری‌های نوین علوم پزشکی و کمیته‌ی تحقیقات دانشجویی، دانشگاه علوم پزشکی اصفهان، اصفهان، ایران

۲- دانشیار، گروه آسیب‌شناسی، دانشکده پزشکی، دانشگاه علوم پزشکی اصفهان، اصفهان، ایران

۳- دانشیار، گروه بیوالکتریک و مهندسی پزشکی، دانشکده فناوری‌های نوین علوم پزشکی، دانشگاه علوم پزشکی اصفهان، اصفهان، ایران

نویسنده‌ی مسؤول: دکتر اردشیر طالبی
Email: talebi@med.mui.ac.ir

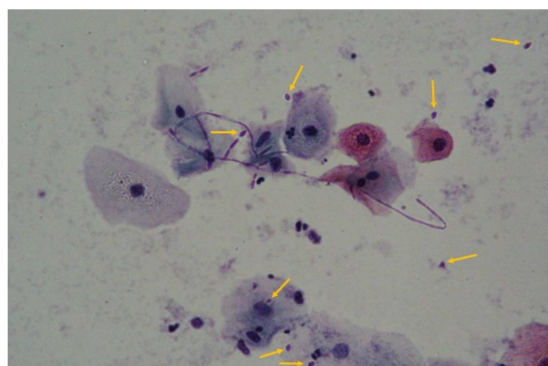
پاپانیکلائو استفاده شد و در صورت موجود بودن قارچ کاندیدا در نمونه، استخراج می‌گردد و بیماری تشخیص داده می‌شد.

قارچ کاندیدا از ۲ قسمت عمدۀ تشکیل شده است که عبارت از میسلیوم (Mycelium) و کونیدیوم (Conidium) می‌باشند (۴).

میسلیوم رشته‌های رویشی قارچ و به صورت شاخه شاخه می‌باشند. این دسته دارای شکل‌های مختلفی می‌باشند که می‌توانند به صورت شاخه‌ای در گوشه‌ای از لام قرار گیرند و یا در حالت تهاجمی به صورت شاخه‌هایی منشعب، متراکم و در هم آمیخته باشند. این رشته‌ها در نمونه‌های پاپ اسمیر مورد استفاده به رنگ قرمز در می‌آیند.

کونیدیوم یک سلول غیر جنسی تخم مرغی شکل است که سطح خارجی آن را هاله‌ای مو مانند می‌پوشاند. در نمونه‌های پاپ اسمیر به رنگ قرمز در می‌آید.

شکل ۱ نمایش دهندهٔ تصویری میکروسکوپی از یک نمونه‌ی پاپ اسمیر است که قسمت‌های شاخه‌ای، بخش میسلیوم قارچ و قسمت‌های تخم مرغی شکل که با فاش مشخص شده است، بخش کونیدیوم قارچ می‌باشد.



شکل ۱. نمایش میسلیوم و کونیدیوم قارچ کاندیدا آلبیکتس در یک نمونه از آزمایش پاپ اسمیر

و عامل ۸۰-۹۰ درصد موارد بیماری است. عوامل مستعد کنندهٔ اصلی در این بیماری شامل حاملگی، سرکوب سیستم ایمنی، دیابت ملیتوس کترول نشده، مصرف قرص‌های ضد بارداری حاوی استروژن، درمان آنتی‌بacterیال، استفاده از وسایل داخل رحمی، فعالیت جنسی زیاد و نقص ایمنی موضعی ناحیه‌ی واژن می‌باشند (۵).

عمومی‌ترین علایم بیماری شامل خارش، پرخونی، سوزش، ترشح پنیری شکل، مقابله دردنگ، ترشح غیر طبیعی واژن و اریتم ناحیه‌ی واژن و ولو می‌باشد (۶). رایج‌ترین روش تشخیص، مبتنی بر مشاهدهٔ مستقیم میکروسکوپی لام پاپ اسمیر به دست آمده از بیمار به منظور یافتن میسلیوم و کونیدیوم قارچ کاندیدا می‌باشد (۷-۸).

با توجه به کوچکی اندازهٔ قارچ کاندیدا و کم بودن گستره‌ی رنگی در تصاویر مربوط به نمونه‌های پاپ اسمیر، پیمایش سطح لام در زیر میکروسکوپ برای یافتن قارچ کاندیدا نیاز به دقیق، حوصله و تجربه‌ی بسیار دارد. بنابراین تشخیص میکروسکوپی کاندیدا فرایندی خسته کننده و زمانبر است و نیاز به فردی متخصص برای انجام این کار دارد. در نتیجه، آزمایشگاه‌های تشخیص طبی نیازمند افزایش قابلیت‌های خود جهت تشخیص سریع این مخمر با تکیه بر روش‌های ساده، معترض و ارزان با حساسیت بالا می‌باشند. استفاده از تشخیص کامپیوتري که مبتنی بر تکنیک‌های پردازش تصویر و نرم‌افزاری می‌باشد، علاوه بر سادگی و ارزانی سبب صرفه‌جویی در زمان و افزایش دقیق در تشخیص بیماری می‌گردد. در این مطالعه از خصوصیات فنوتیپی و مورفولوژی قارچ کاندیدا در نمونه‌های پاپ اسمیر با رنگ‌آمیزی

۱- پیش پردازش

۱-۱- حذف نویز

در مرحله‌ی پیش پردازش برای حذف نویز روش‌نایی در تصاویر میکروسکوپی، از فیلتر میانه (Median filter) بر روی هر ۳ باند رنگی قرمز، سبز و آبی استفاده شد. همچنین برای کاهش نویز گاوسی و ایجاد تصویری یکنواخت، فیلتر وینر (Wiener filter) بر روی هر ۳ باند رنگی اعمال گردید (۱۱-۱۲).

۱-۲- جداسازی پس زمینه و یکنواخت‌سازی شدت روش‌نایی

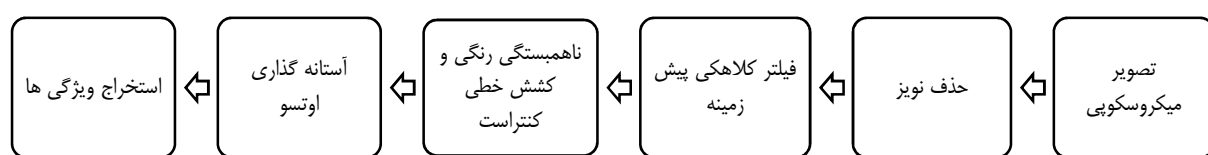
با توجه به این که میسلیوم و کونیدیوم قارچ کاندیدا در پیش زمینه‌ی تصویر قرار می‌گیرند، در اولین قدم از تبدیل کلاهکی پیش زمینه (Bottom-hat transform) استفاده می‌گردد (۱۳-۱۴). خاصیت تبدیل کلاهکی پیش زمینه، استخراج خطوط و اسپات‌های دره‌ای شکل است. همچنین استفاده از این تبدیل، باعث یکنواخت شدن شدت روش‌نایی تصویر می‌شود.تابع تبدیل به صورت رابطه‌ی (۱) می‌باشد که در آن، f تصویر مورد پردازش، اپراتور " \bullet " معرف عملیات مورفلوژی بسته نمودن (Closing operation) و s معرف عنصر سازنده می‌باشد که کنترل کننده‌ی نحوه و میزان انجام عملیات است. در این مطالعه، از عنصر سازنده‌ی لوزی با شعاع ۲۵ پیکسل استفاده شد.

$$H_{bottom} = (f \bullet s) - f \quad (1)$$

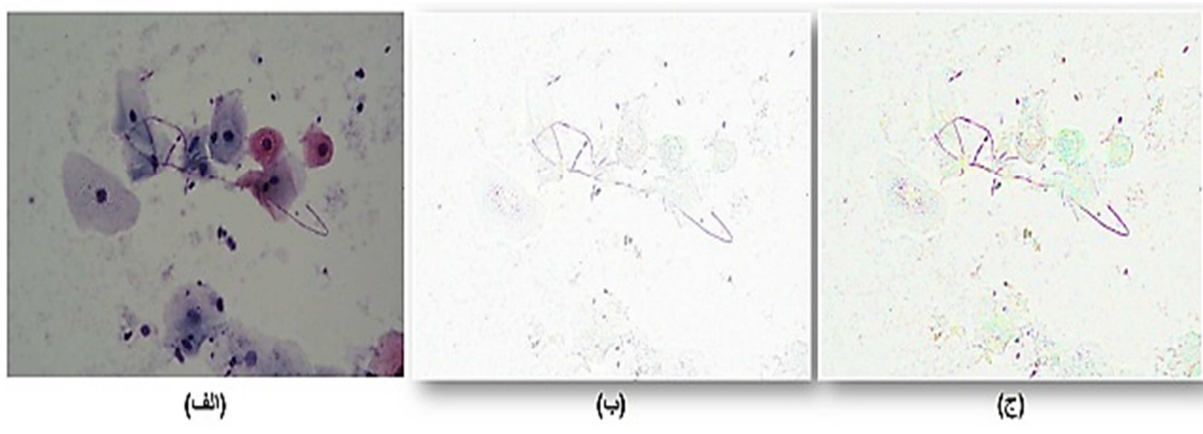
روش‌ها

در این مطالعه نمونه‌ها به دو گروه دارای قارچ کاندیدا (نتیجه‌ی آزمایش مثبت) و بدون قارچ کاندیدا (نتیجه‌ی آزمایش منفی) تقسیم می‌شدند. از این‌رو، برای میزان خطای مجاز در محاسبات (کمتر از ۰/۱۴)، مقدار حجم نمونه برابر با ۴۹ نمونه تعیین شد.

تعداد نمونه‌ی مورد نیاز، از بین نمونه‌های پاپ اسمیر موجود در آزمایشگاه پاتولوژی المهدی انتخاب گردید. نحوه‌ی انتخاب نمونه‌ها برای آموزش طبقه‌بندی کننده به این صورت بود که ابتدا پژوهش به صورت چشمی و با استفاده از میکروسکوپ نوری از وجود قارچ در لام اطمینان حاصل می‌نمود، سپس آن لام به عنوان نمونه در اختیار قرار داده می‌شد تا از نواحی مختلف آن به وسیله‌ی دوربین عکس‌برداری دیجیتال Nikon V1 متصل به میکروسکوپ نوری ۴۰۰i Nikon Eclipse ۵۰i تصویربرداری صورت گیرد. تصاویر به دست آمده دارای فرمت jpg در سیستم رنگی sRGB و رزولوشن 3872×2592 بودند. کلیه‌ی تصاویر استفاده شده در آدرس اینترنتی <http://misp.mui.ac.ir/fa/Pop-Smear%20Images> موجود می‌باشند. در این مطالعه از تعداد ۲۰۰ تصویر استفاده شد که از ۱۰۰ تصویر برای طراحی الگوریتم تشخیصی و از تعداد ۱۰۰ تصویر دیگر برای آزمایش الگوریتم استفاده شد. نحوه و روند اجرای الگوریتم در شکل ۲ نشان داده شده است.



شکل ۲. بلوک دیاگرام روش اجرای الگوریتم تشخیص کاندیدیازیس واژینال



شکل ۳. (الف) نتیجه‌ی حذف نویز در تصویر شکل ۱؛ (ب) حاصل اعمال فیلتر کلاهکی پیش زمینه؛ (ج) نتیجه‌ی اعمال ناهمبستگی رنگی و کشش خطی کتراست

کونیدیوم و میسلیوم بر روی باند سبز، نمود و نمایش بهتری را از خود نشان می‌دهند (۱۸-۱۹). یک تصویر مقیاس خاکستری که در آن $g(x,y) \in [0, 255]$ شدت پیکسل در مکان (x,y) را نشان می‌دهد، در نظر بگیرید. در تکنیک‌های آستانه‌گذاری کلی، هدف محاسبه‌ی آستانه برای پیکسل‌ها می‌باشد؛ به طوری که:

$$o(x,y) = \begin{cases} 0 & \text{if } g(x,y) \leq t \\ 255 & \text{otherwise} \end{cases} \quad (2)$$

در روش Otsu، حد آستانه بر اساس هیستوگرام تصویر استخراج می‌شود. نحوه‌ی عملکرد این روش بدین صورت است که تصویر به دو کلاس اصلی پس زمینه و پیش زمینه فرض می‌گردد و روش کار سعی در یافتن بهترین آستانه برای تقسیم هیستوگرام به دو کلاس است. بنابراین، مقدار t با استفاده از حداقل‌سازی واریانس درون کلاسی مطابق رابطه‌ی

(۳) به دست می‌آید:

$$\sigma_w^2(t) = q_1(t)\sigma_1^2(t) + q_2(t)\sigma_2^2(t) \quad (3)$$

که در آن σ_w^2 واریانس درون کلاسی، q_1 واریانس کلاس اول و q_2 واریانس کلاس دوم می‌باشد. شکل ۴ نمایش دهنده‌ی نتیجه‌ی آستانه‌گذاری Otsu بر شکل ۳ می‌باشد.

۱-۳- افزایش کتراست

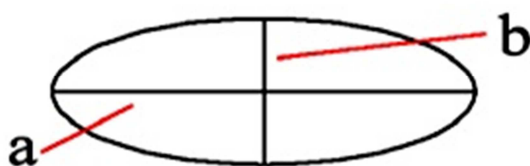
تصاویر به دست آمده از نمونه‌های پاپ اسمیر، دارای چندین کanal رنگی می‌باشد، اما گستره‌ی رنگی در آن بسیار کم است. به همین جهت، برای افزایش تفکیک پذیری و بهبود کتراست تصویر، از ناهمبستگی رنگی (De-correlation stretching) به همراه کشش خطی (Linear contrast stretching) استفاده گردید (۱۵-۱۷). ناهمبستگی رنگی، باعث افزایش گستره‌ی رنگی وسیع‌تری قرار گرفت. همچنین استفاده از کشش خطی کتراست بر روی هر یک از باندهای رنگی، باعث بهبود کتراست و افزایش تفکیک پذیری رنگی شد و نمایش و تفسیر میسلیوم‌ها و کونیدیوم‌ها را آسان‌تر نمود. شکل ۳ نمایش دهنده‌ی اعمال مراحل پیش پردازش بر روی تصویر شکل ۱ می‌باشد.

۲- بخش‌بندی

۲-۱- آستانه‌گذاری

برای آستانه‌گذاری از روش آستانه‌گذاری Otsu بر روی باند سبز رنگی تصویر استفاده شد؛ چرا که

۳- قطر کوچک (Minor axis): بیشترین مسافت عمود بر قطر بزرگ می‌باشد. با توجه به این که میسلیوم‌ها دارای ضخامت معینی می‌باشند، این ویژگی در تشخیص آن‌ها بسیار مفید است.



شکل ۵. نمایش قطر بزرگ (a) و قطر کوچک (b)

۴- گریز از مرکز (Eccentricity): به صورت رابطه‌ی (۴) تعریف می‌شود:

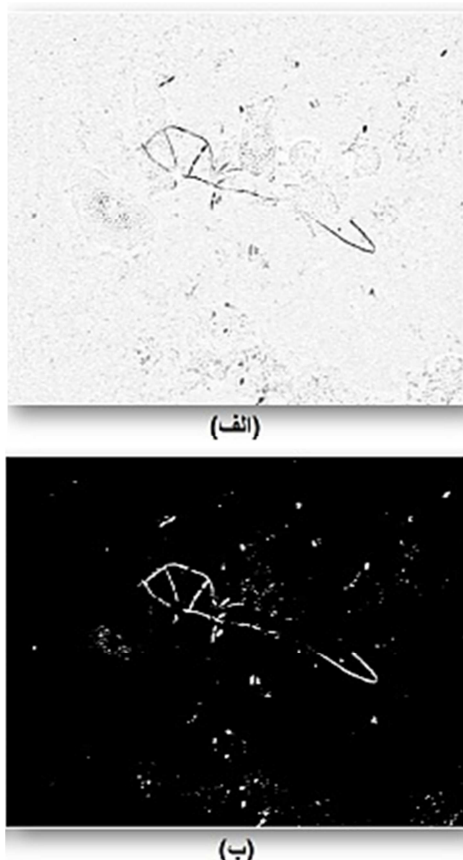
$$e = \sqrt{1 - (b/a)^2} \quad (4)$$

۵- محیط (Perimeter): به صورت طول کانتور در نظر گرفته شده در اطراف کاندیدا می‌باشد.
۶- تراکم (Compactness): نسبت مجدد رابطه‌ی (۵) محیط به مساحت می‌باشد که به صورت رابطه‌ی

تعاریف می‌شود. همان‌طور که مشاهده می‌شود، تراکم یک نسبت بدون مقیاس است و به اسکیل و جهت قرارگیری شیء وابستگی ندارد.

$$\text{compactness} = \frac{\text{perimeter}^2}{\text{area}} \quad (5)$$

خصوصیات استخراج شده برای میسلیوم و کونیدیوم به صورت مجزا در ساختار درخت تصمیم (Decision tree) قرار داده شد و به صورت ترکیب دو الگوریتم جدا برای دسته‌بندی میسلیوم و کونیدیوم مورد استفاده قرار گرفت (۲۲-۲۴). شکل ۵، نشان دهنده‌ی نحوه‌ی استخراج میسلیوم و کونیدیوم کاندیدا و در نهایت ترکیب دو الگوریتم می‌باشد.



شکل ۴. (الف) تصویر شکل ۳-(ب) در باند سیز؛
(ب) نتیجه‌ی آستانه‌گذاری Otsu

۳- استخراج ویژگی

برای استخراج ویژگی‌های میسلیوم و کونیدیوم قارچ کاندیدا از تصاویر نمونه‌ی پاپ اسمیر، از ویژگی‌های زیر استفاده شد (۲۰-۲۱):

۱- مساحت (Area): تعداد پیکسل‌هایی است که کاندیدای مورد نظر را در بر می‌گیرد. از این ویژگی برای حذف اشیای خیلی بزرگ و یا خیلی کوچک یافت شده استفاده می‌شود.

۲- قطر بزرگ (Major axis): بیشترین فاصله بین ۲ نقطه در کاندیدای یافت شده می‌باشد. از این ویژگی، تنها در استخراج کونیدیوم استفاده شده است.



شکل ۵. (الف) نمای استخراج میسلیوم؛ (ب) نمای استخراج کونیدیوم؛ (ج) مجموع ۲ تصویر (الف) و (ب)

قارچ کاندیدا می‌باشد، اما توسط الگوریتم به اشتباه به عنوان قارچ کاندیدا شناخته نشده‌اند.

جدول ۱ بیانگر ویژگی و حساسیت الگوریتم تشخیصی ارایه شده می‌باشد.

جدول ۱. نتایج الگوریتم تشخیصی

حساسیت (درصد)	ویژگی (درصد)	نوع تشخیص
۹۲/۳۲	۹۱/۵۴	کونیدیوم
۹۶/۸۸	۹۸/۶۴	میسلیوم

بحث

کاندیدیازیس واژینال یکی از شایع‌ترین بیماری‌های قارچی زنان و علت مراجعات مکرر آنان به کلینیک است که باعث تحمیل هزینه‌های درمانی برای بیماران می‌گردد. تشخیص به موقع و دقیق بیماری می‌تواند از صرف هزینه‌های درمانی و مراجعات مکرر بیماران بکاهد. در این مطالعه، روشی اتوماتیک برای تشخیص این بیماری ارایه گردیده است. با توجه به نتایج به دست آمده در جدول ۱، روش اتوماتیک ارایه شده دارای ویژگی و حساسیت بالای ۹۰ درصد است و بنابراین روشی معتبر برای تشخیص

یافته‌ها

الگوریتم طراحی شده برای تشخیص کاندیدیازیس واژینال بر روی ۱۰۰ تصویر آزمایش گردید. در مجموع، علاوه بر این که نتایج با نظر پزشک متخصص مقایسه شدند، به منظور بررسی دقت و صحت نتایج به دست آمده به صورت آماری، پارامترهایی چون حساسیت (Sensitivity) و ویژگی (Specificity) بر روی داده‌ها محاسبه گردید (۲۵). این پارامترها بر اساس روابط (۶) و (۷) به دست آمدند:

$$\text{Sensitivity} = \frac{\text{Tp}}{\text{Tp} + \text{Fn}} \quad (6)$$

$$\text{Specificity} = \frac{\text{Tn}}{\text{Tn} + \text{Fp}} \quad (7)$$

که در آن Tp بیانگر نمونه‌هایی است که با توجه به نظر پزشک، قارچ کاندیدا می‌باشد و توسط الگوریتم نیز به درستی به عنوان قارچ کاندیدا شناخته شده‌اند. Tn بیانگر نمونه‌هایی هستند که با توجه به نظر پزشک قارچ کاندیدا نمی‌باشند و توسط الگوریتم به درستی به عنوان قارچ کاندیدا شناخته نشده‌اند.

Fp بیانگر نمونه‌هایی است که با توجه به نظر پزشک قارچ کاندیدا نمی‌باشند، اما توسط الگوریتم به اشتباه به عنوان قارچ کاندیدا شناخته شده‌اند و Fn بیانگر نمونه‌هایی است که با توجه به نظر پزشک

Otsu در باند سبز تصویر استفاده گردید. برای استخراج میسلیوم و کونیدیوم قارچ کاندیدا، از ویژگی‌های هندسی مانند مساحت، قطر بزرگ، قطر کوچک، گریز از مرکز، محیط و تراکم به وسیله‌ی دسته‌بندی درخت تصمیم استفاده گردیده است که از این ویژگی‌ها و طبقه‌بندی کننده، در تشخیص اتوماتیک سرطان دهانه‌ی رحم و همین‌طور تشخیص اتوماتیک باسیل سل استفاده شده است (۱۴، ۲۳-۲۴).

در پایان در مورد تشخیص میسلیوم و کونیدیوم، در صورتی که این نرم‌افزار به صورت موتوریابی درآید، به جهت جلوگیری از خستگی چشم و افزایش دقت پاتالوژیست‌ها به عنوان همیار پزشک در تشخیص، قابل استفاده خواهد بود.

تشکر و قدردانی

این مقاله حاصل پایان نامه‌ی دوره‌ی کارشناسی ارشد محمد رضا مؤمن‌زاده به شماره‌ی طرح پژوهشی ۳۹۲۵۰۸ در دانشگاه علوم پزشکی اصفهان است.

کاندیدیازیس واژینال می‌باشد که علاوه بر دقت تشخیصی بالا، باعث صرفه‌جویی در وقت و کاهش خستگی پزشک می‌گردد. از آن جا که برای تشخیص اتوماتیک کاندیدیازیس واژینال کار خاصی صورت نگرفته بود، از روش‌های به کار رفته در تشخیص اتوماتیک سرطان دهانه‌ی رحم (۱۴) و تشخیص اتوماتیک باسیل سل استفاده شده است (۲۰-۲۱، ۲۳-۲۴، ۱۷-۱۸).

در الگوریتم ارایه شده از تبدیل کلاهکی پیش زمینه برای جداسازی پس زمینه‌ی تصویر استفاده شد. از این روش در تشخیص اتوماتیک سرطان دهانه‌ی رحم در تصاویر نمونه‌های پاپ اسمیر استفاده شده است (۱۴). از ناهمبستگی رنگی به همراه کشش خطی کتراست، برای بهبود کتراست و افزایش گستره‌ی رنگی در تصاویر پاپ اسمیر استفاده گردید که از این روش برای بهبود کتراست در تشخیص اتوماتیک باسیل سل (میکوباکتریوم توبرکلوزیس) استفاده شده است (۱۷).

به منظور آستانه‌گذاری از روش آستانه‌گذاری

References

1. Sobel JD. Epidemiology and pathogenesis of recurrent vulvovaginal candidiasis. Am J Obstet Gynecol 1985; 152(7 Pt 2): 924-35.
2. Sobel JD. Candidal vulvovaginitis. Clin Obstet Gynecol 1993; 36(1): 153-65.
3. Sobel JD. Vulvovaginal candidosis. Lancet 2007; 369(9577): 1961-71.
4. White DJ, Vanthuyne A. Vulvovaginal candidiasis. Sex Transm Infect 2006; 82(Suppl 4): iv28-iv30.
5. Fidel PL, Jr. History and new insights into host defense against vaginal candidiasis. Trends Microbiol 2004; 12(5): 220-7.
6. Moreira D, Paula CR. Vulvovaginal candidiasis. Int J Gynaecol Obstet 2006; 92(3): 266-7.
7. Garcia HM, Garcia SD, Copolillo EF, Cora EM, Barata AD, Vay CA, et al. Prevalence of vaginal candidiasis in pregnant women. Identification of yeasts and susceptibility to antifungal agents. Rev Argent Microbiol 2006; 38(1): 9-12.
8. Vincent JL, Anaissie E, Bruining H, Demajo W, el-Ebiary M, Haber J, et al. Epidemiology, diagnosis and treatment of systemic Candida infection in surgical patients under intensive care. Intensive Care Med 1998; 24(3): 206-16.
9. Barnett JA. A history of research on yeasts 12: medical yeasts part 1, *Candida albicans*. Yeast 2008; 25(6): 385-417.
10. Kasulevicius V, Sapoka V, Filipaviciute R. Sample size calculation in epidemiological studies. Gerontologija 2006; 7(4): 225-31.
11. Akyuz AO, Reinhard E. Noise reduction in high dynamic range imaging. J Vis Commu Image R 2007; 18(5): 366-76.

12. Ellenberger J. Noise reduction in digital imaging- an exploration of the state of the art. for CS525-Multimedia Computing and Communications. Colorado Springs, CO: University of Colorado; 2010.
13. Jalba C, Wilkinson HF, Roerdink BTM. Morphological hat-transform scale spaces and their use in pattern classification. Pattern Recognition 2004; 37(5): 901-15.
14. Gentav A, Aksoy S, Onder S. Unsupervised segmentation and classification of cervical cell images. Pattern Recognition 2012; 45(12): 4151-68.
15. Saleh Al-amri SS, Kalyankar NV, Khamitkar SD. Linear and non-linear contrast enhancement image. International Journal of Computer Science and Network Security ed. 2010.
16. Gillespie AR, Kahle AB, Walker RE. Color enhancement of highly correlated images. I. Decorrelation and HSI contrast stretches. Remote Sensing of Environment 1986; 20(3): 209-35.
17. Siena I, Adi K, Gernowo R, Mirnasari N. Development of algorithm tuberculosis bacteria identification using color segmentation and neural networks. International Journal of Video and Image Processing and Network Security 2012; 12(4): 9-13.
18. Costa MG, Costa Filho CF, Sena JF, Salem J, de Lima MO. Automatic identification of mycobacterium tuberculosis with conventional light microscopy. Conf Proc IEEE Eng Med Biol Soc 2008; 2008: 382-5.
19. Otsu N. A threshold selection method from gray-level histograms. Systems, Man and Cybernetics, IEEE Transactions on 1979; 9(1): 62-6.
20. Forero MG, Sroubek F, Cristbal G. Identification of tuberculosis bacteria based on shape and color. Real-Time Imaging 2004; 10(4): 251-62.
21. Hiremath PS, Parashuram B. Automatic identification and classification of Bacilli bacterial cell growth phases. IJCA,Special Issue on RTIPPR 2010; 1: 48-52.
22. Loh WY. Classification and regression trees. WIRES Data Mining Knowl Discov 2011; 1(1): 14-23.
23. Sadaphal P, Rao J, Comstock GW, Beg MF. Image processing techniques for identifying Mycobacterium tuberculosis in Ziehl-Neelsen stains. Int J Tuberc Lung Dis 2008; 12(5): 579-82.
24. Tadrous PJ. Computer-assisted screening of Ziehl-Neelsen-stained tissue for mycobacteria. Algorithm design and preliminary studies on 2,000 images. Am J Clin Pathol 2010; 133(6): 849-58.
25. Glas AS, Lijmer JG, Prins MH, Bonsel GJ, Bossuyt PM. The diagnostic odds ratio: a single indicator of test performance. J Clin Epidemiol 2003; 56(11): 1129-35.

Diagnosis of Vulvovaginal Candidiasis via Automatic Extraction of Candida Fungus from Pap Smear Images

Mohammadreza Momenzadeh¹, Ardesir Talebi MD², Alireza Mehri-Dehnavi PhD³, Hossein Rabbani PhD³

Original Article

Abstract

Background: Vulvovaginal candidiasis (VVC) is a common clinical problem due to occurrence overgrowth of candida in genital system mucosa of females. The aim of this study was automatic diagnosis of vulvovaginal candidiasis via detection and extraction of candida fungus from microscopic images of Pap smear samples. We used image processing techniques to detect candida fungus.

Methods: The sample space consisted of 200 microscopic images. Microscopic images were prepared from 49 Pap smear samples using Nikon1 V1 camera mounted on Nikon Eclipse 50i light microscope. For uniform illumination of the images, bottom-hat filtering was used. De-correlation stretching and linear contrast stretching were used for contrast enhancement. Different geometric features such as area, major axis, minor axis, eccentricity, perimeter, compactness, and decision tree classifier were used for extraction of mycelium and conidium of candida.

Findings: The results of extraction of mycelium showed a specificity of 98.64% and a sensitivity of 96.88%. The corresponding values for conidium detection were 91.54% and 92.32%, respectively.

Conclusion: According to our findings, this software would be helpful to pathologists in the diagnosis of vulvovaginal candidiasis in prevention of eyestrain. It could increase the accuracy of diagnosis, too.

Keywords: Candidiasis, Vulvovaginal, Candida, Papanicolaou smear, Image processing

Citation: Momenzadeh M, Talebi A, Mehri-Dehnavi1 A, Rabbani H. Diagnosis of Vulvovaginal Candidiasis via Automatic Extraction of Candida Fungus from Pap Smear Images. J Isfahan Med Sch 2014; 32(304): 1659-67

1- MSc Student, Department of Bioelectric and Biomedical Engineering, School of Advanced Medical Technology AND Student Research Committee, Isfahan University of Medical Sciences, Isfahan, Iran

2- Associate Professor, Department of Pathology, School of Medicine, Isfahan University of Medical Sciences, Isfahan, Iran

3- Associate Professor, Department of Bioelectric and Biomedical Engineering, School of Advanced Medical Technology, Isfahan University of Medical Sciences, Isfahan, Iran

Corresponding Author: Ardesir Talebi MD, Email: talebi@med.mui.ac.ir

اینفلامازوم و نقش آنها در بیماری‌ها

امین توسلی^۱، دکتر علیرضا حق‌پرست^۲

مقاله مروری

چکیده

اینفلامازوم‌ها گیرنده‌های سیتوزولی هستند که توانایی شناسایی پاتوژن‌های میکروبی و سیگنال‌های خطرناک درون زاد حاصل از استرس یا آسیب سلولی را دارند. کمپلکس اینفلامازوم یا از اعضای خانواده پروتئینی NLR (Nod-like receptor) است و یا از AIM2 (Absent in melanoma ۲) که عضو خانواده پروتئینی PYHIN است، شکل می‌گیرد. فعال شدن اینفلامازوم سبب فعال شدن کاسپاز التهابی به نام کاسپاز ۱ می‌گردد که این به نوبه‌ی خود، باعث بلوغ سایتوکاین‌های التهاب‌زا می‌شود. در این مقاله، در ابتدا انواع اینفلامازوم‌های شناخته شده و ویژگی‌های ساختاری آن‌ها معرفی می‌شوند و سپس مکانیسم‌های مولکولی انواع اینفلامازوم در چندین بیماری مطرح می‌گردند. فهم این مکانیسم‌ها، علاوه بر فراهم آوردن اطلاعات ارزشمند در مورد چگونگی تکوین و گسترش این اختلالات، می‌تواند در دریافت راه‌های جدید درمانی نیز مؤثر باشد.

وازگان کلیدی: اینفلامازوم، NLRP۳، نقرص، آتروواسکلروزیس

ارجاع: توسلی امین، حق‌پرست علیرضا. اینفلامازوم و نقش آنها در بیماری‌ها. مجله دانشکده پزشکی اصفهان ۱۳۹۳؛ ۳۲(۴): ۱۶۸۹-۱۶۶۸.

سلول‌های سیستم ایمنی ذاتی بیان می‌شوند، می‌توانند بخش‌های حفاظت شده PAMPs (Pathogen-associated molecular patterns) و DAMPs (Danger associated molecular patterns) را شناسایی کنند (۴-۵). PRR‌ها یا به صورت منفرد و یا به طور همگرا با هم در شناسایی سیگنال‌های مضر عمل می‌کنند و به طور معمول، به چهار خانواده اصلی تقسیم می‌شوند که شامل (Toll-like receptors) TLRs، (RIG-I-like receptors) RLRs، (C-type lectin receptors) NLRs و (NOD-like receptors) NLRP ۶-۸ هستند.

مقدمه

علاوه بر سد مکانیکی پوست، پستانداران توسط دو بازوی سیستم ایمنی، یعنی سیستم ایمنی ذاتی و سیستم ایمنی اکتسابی می‌توانند بر علیه پاتوژن‌ها مقاومت کنند. سیستم ایمنی ذاتی مسؤول آغاز دفاع ایمنی، فعال کردن سیستم ایمنی اکتسابی برای تدوام طولانی مدت، ایمنی اختصاصی آنتی‌ژن و نیز فعال کردن لنفوцит‌های T و B است (۱-۲). یکی از اجزای کلیدی سیستم ایمنی پاسخ گویی با واسطه، مجموعه گیرنده‌هایی است که می‌توانند حضور محرک‌های مضر خارج یا داخل سلولی را تشخیص دهند (۳).

در این بین، گیرنده‌های PRRs

۱- دانشجوی دکتری، گروه بیوتکنولوژی، دانشکده دامپزشکی، دانشگاه فردوسی مشهد، مشهد، ایران

۲- استادیار، گروه ایمونولوژی و بیوتکنولوژی، دانشکده دامپزشکی و پژوهشکده فناوری زیستی، دانشگاه فردوسی مشهد، مشهد، ایران

Email: haghparast@um.ac.ir

نویسنده‌ی مسؤول: دکتر علیرضا حق‌پرست

دارای سه دمین می‌باشند، ابتدا دمین انتهای C غنی از تکرارهای اسید آمینه‌ی لوسین (LRRs) یا Leucine-rich repeats (LRR)، که گمان می‌رود مولکول‌های میکروبی یا میانجی‌های درون‌زاد ناشی از استرس سلولی را شناسایی می‌کند. دمین دوم که در NACHT مرکوز قرار دارد، سه دمین انتهایی (N.t.) است که برای انتقال پیام به کار گرفته می‌شود. PYD دمین اخیر، می‌تواند شامل دمین‌های CARD یا Pyrin domain، Caspase recruitment domain (Baculovirus inhibitor of apoptosis protein repeat) باشد. پروتئین‌های NLR حاوی دمین پایرین متعلق به خانواده‌ی NLRP، دارای دمین CARD متعلق به خانواده‌ی NLRC و آن‌هایی که دارای دمین BIR هستند، متعلق به خانواده‌ی NLRB می‌باشند (۳-۱۴). پروتئین AIM2 از خانواده‌ی PYHIN است و با وجود برخی مشابهت‌های ساختاری با اعضای خانواده‌ی NLR، این پروتئین تنها گیرنده‌ی اینفلامازومی است که متعلق به این خانواده نیست. مشخصه‌ی AIM2، دارا بودن پایرین در N.t و دمین (C.t) C-terminal متصل شونده به DNA در ناحیه‌ی CARD به نام HIN200 است. AIM2 فاقد بخش PYHIN (ضروری برای NLRP‌ها) است (شکل ۱) (۱۵-۱۱).

برخلاف دیگر اعضای خانواده‌ی PYHIN، AIM2 در سیتوزول قرار می‌گیرد و به عنوان یک گیرنده‌ی درون‌سلولی برای DNA سیتوزولیک عمل می‌کند. برای شناسایی DNA در سیتوزول توسط

CLRs گیرنده‌های مرتبط به غشا هستند، اما PRRs و NLRs جزء انواع سیتوزولی PRRs می‌باشند (۹). برخی از اعضای خانواده‌ی پروتئینی NLRs و پروتئین AIM2 (Absent in melanoma2) از خانواده‌ی PYHIN در تشکیل کمپلکس ماکرومولکول پروتئینی به نام اینفلامازوم نقش دارند (۱۰-۱۱). ویژگی‌های بیوشیمیایی NLRs با کارهای اولیه‌ی گروه Tschopp و همکاران به دست آمد و سبب شد اصطلاح اینفلامازوم روی آن‌ها گذاشته شود که نشان دهنده‌ی نقش این گیرنده‌ها در التهاب است (۱۲).

فعالیت گیرنده‌های اینفلامازومی سبب فعال شدن سیستم پروتئازی به نام کاسپاز ۱ می‌شود که این نیز باعث فعال شدن pro-IL-1 β (Interleukin-1 β) و pro-IL-1 α (Interleukin-1 α) و تبدیل آن به فرم سایتوکاین بالغ ترشحی می‌شود (۱۳-۳). در واقع اینفلامازوم‌ها کمپلکس‌های مولتی پروتئینی هستند که در داخل سیتوزول قرار گرفته‌اند. این کمپلکس‌ها مسؤول فعال کردن کاسپاز ۱ هستند که در پی آن، سایتوکاین‌های پیش التهابی pro-IL-1 β و pro-IL-1 α بیان و فعال می‌شوند.

ویژگی‌های ساختاری اینفلامازوم

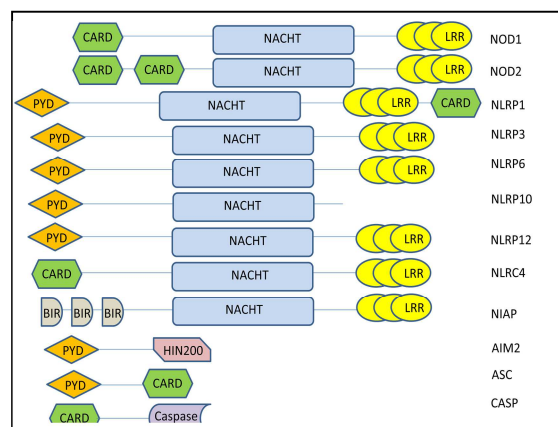
NLRs بزرگ‌ترین گروه اینفلامازومی هستند که با ژن‌های R در گیاهان همولوژی ساختاری و عملکردی دارند. محصول این ژن‌ها حضور پاتوژن‌ها را شناسایی MAPK می‌کند و سبب شروع فعالیت مسیر پیام‌رسانی (Mitogen-activated protein kinase) و سرانجام باعث مرگ سلولی می‌گردد (۹-۱۲). NLRs های سیتوزولیک هستند و از لحاظ ساختاری PRRs

(Double stranded DNA) انجام می‌گیرد و با این اتصال دمین پایرین از خود مهاری درون مولکولی آزاد می‌گردد. هر گونه dsDNA با منشأ ویروسی، پروکاریوتی یا پستانداران می‌تواند به AIM2 متصل شود و آن را فعال کند. این حقیقت که فعال شدن AIM2 نیازی به متیف توالی خاصی ندارد و تنها بر این مبنای که هر گونه DNA موجود در سیتوزول را شناسایی می‌کند، گویای شرایط فیزیولوژیک طبیعی است که dsDNA در بخش سیتوزولی حضور ندارد (۱۵، ۱۷-۱۸).

mekanisem-faaliyat-shden-inflamazom

همان گونه که ذکر شد، پروتئین‌های NLR دارای شباهت‌هایی با پروتئین‌های دیگر مانند حسگرهای تشکیل دهنده آپوپتوزوم از جمله Apaf-1 انسانی، Dark درزوفیلا یا پروتئین R گیاهی هستند (۱۹-۲۱). بر این مبنای می‌توان دو مکانیسم احتمالی برای فعالیت اینفلامازوم‌ها متصور شد. اختلاف اصلی و مهم بین این دو مدل پیام فعال کردن آن‌ها است (۲۲). مکانیسم اول بر مبنای تشکیل آپوپتوزوم است که با فعال شدن Apaf-1 در اثر اتصال مستقیم مولکول فعال کننده سیتوزوم C صورت می‌گیرد. بر طبق این مدل، NLR در همهٔ سلول به حالت خاموش وجود دارد و به شکل یک کمپلکس خود مهاری که در آن دمین تنظیمی LRR به دمین‌های PYD و NACHT متصل است. بنابراین از معاوضهٔ NACHT نوکلئوتیدی و بازآرایی ساختاری که سبب تشکیل حالت باز و فعال می‌شود، جلوگیری می‌گردد. اتصال مستقیم DAMP/PAMP به دمین غنی از لوسین کمپلکس NLR، سبب به هم ریختن خود

اینفلامازوم AIM2 نیازی به ویژگی ساختاری خاصی مانند متیف توالی یا تغییرات نوکلئوتیدی نیست، اما DNA باقیستی دو زنجیری و بیش از ۸۰ bp طول داشته باشد تا بتواند در تشکیل و فعال شدن AIM2 نقش آفرینی کند. از طرفی AIM2 فاقد دمین NACHT (تسهیل کنندهٔ مولتیمریزاسیون) است (۱۶).



شکل ۱. ساختار ترکیبات دخیل در اینفلامازوم. زیر مجموعه‌ی اعضای خانوادهٔ NLR و همچنین پروتئین عضو HIN200 می‌تواند کمپلکس اینفلامازوم را به هم وصل کنند. مشخصهٔ NLRها حضور دمین NACHT و تعداد متغیری از AIM2 می‌باشد. AIM2 حاوی انتهای آمینی PYD و یک دمین LRR متصل شونده به DNA یعنی HIN200 است.

AIM2: Absent in melanoma; **ASC:** Apoptosis-associated speck-like protein containing a CARD; **BIR:** Baculovirus IAP repeat;

CARD: Caspase recruitment domain;

CASP: Caspase LRR leucine-rich repeat;

NACHT: Nucleotide-binding and oligomerization domain; **NLR:** Nod-like receptor; **PYD:** Pyrin

در واقع، شناسایی غیر اختصاصی DNA با جذب الکتروستاتیک بین بار مثبت باقیمانده‌های دمین HIN و بار منفی قند-فسفات dsDNA

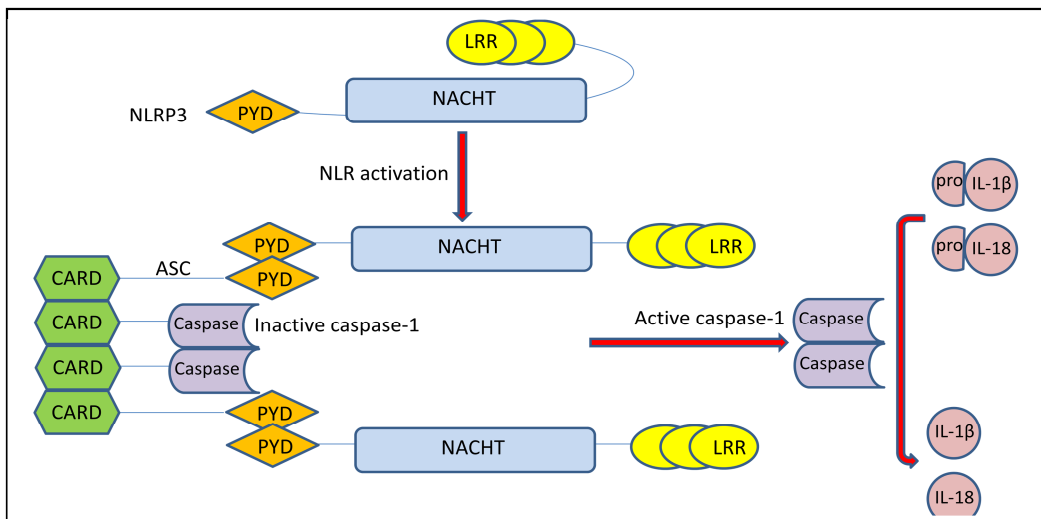
فعال می‌گردد. در هر دو مدل NLR، تحت تغییر ساختاری لازم جهت تعویض نوکلئوتید بر روی دمین NACHT قرار می‌گیرد و به دنبال آن NLR فعال می‌شود و حال از طریق دمین پایرین خود به دمین پایرین ASC بر همکنش می‌کند و به این صورت، هسته‌ی ساختار اینفلامازوم شکل می‌گیرد (۲۴-۲۶).

انواع اینفلامازوم

NLRP^۳، NLRC^۴ و NLRP^۱ جزء زیر مجموعه‌ی خانواده‌ی NLR هستند و به طور معمول در دو شکل مختلف تقسیم‌بندی می‌شوند. اولین شکل، آن‌هایی هستند که حاوی دمین متصل شونده به نوکلئوتید هستند و برای خود الیگومریزاسیون نیاز به اتصال به یک ریبونوکلئوتید فسفات دارند. دومین شکل، انواع دارای نواحی غنی از لوسین هستند که به عنوان یک

مهاری NLR و ایجاد الیگومریزاسیون در آن می‌شود (۲۱).

دومین مکانیسم فرضی، فعال شدن اینفلامازوم NLR بر مبنای یافته‌های پروتئین R در گیاهان است. بر طبق این مدل، NLR در سلول میزبان در یک کمپلکس شبیه گارد قرار دارد که نه تنها در مقابل تخریب پروتئوزومی محافظت می‌شود، بلکه به حالت خاموش و غیر فعال نیز می‌باشد. در این حالت دمین تنظیمی LRR با دمین پایرین ASC واکنش می‌دهد (شکل ۲). مطالعات اخیر نشان می‌دهد که این کمپلکس گاردی ممکن است توسط SGT1 و HSP90 گیاهی که همولوگ پستانداران است، نیز شکل بگیرد. فعال شدن مستقیم و غیر مستقیم این کمپلکس گاردی توسط PAMP یا DAMP سبب گستگی کامل یا جزئی NLR غیر



شکل ۲. مکانیسم فعال شدن اینفلامازوم. انواع اینفلامازوم توسط طیف گسترده‌ای از PAMPs و DAMPs فعال می‌گردد. NLRP^۳ به عنوان مثالی از فعال شدن و تشکیل اینفلامازوم نشان داده شده است. فعال شدن NLRها با تغییرات ساختاری روی آن و اتصال به ASC از طریق دمین‌های پایرین (PYD) صورت می‌گیرد. همچنین پروتئین آپاتور ASC پروکاسپاز ۱ از طریق دمین‌های CARD متصل می‌شود. این کمپلکس بزرگ، اینفلامازوم نامیده می‌شود تا زمینه‌ای برای خود فعالی کاسپاز ۱ فراهم گردد. در ادامه، کاسپاز ۱ فعال می‌شود و می‌تواند شکل غیر فعال (pro-IL-1 β) یا IL-1 β یا IL-18 را به شکل فعال تبدیل کند تا آماده‌ی ترشح و فعالیت بیولوژیکی شود.

آزاد می‌گردد (۳۳). همچنین در مطالعه‌ای نشان داده شده است که ترکیبات ضد میکروبی مانند پپتید R-2R Brevinin می‌تواند باعث افزایش بیان سایتوکاین‌های پیش التهابی IL-1 β و IL-1 α گردد (۳۴).

اینفلامازوم NLRP1

اولین اینفلامازومی که شناخته شد، NLRP1 بود (۳۵). NLRP1 به این دلیل که علاوه بر PYD و FIIND و NAD \pm LRR و NACHT می‌باشد، در میان NLRP‌ها حاوی دمین منحصر به فرد CARD می‌باشد، در میان NLRP‌ها منحصر به فرد است. اینفلامازوم NLRP1 حاوی کاسپاز ۱ می‌باشد که توسط ASC و کاسپاز ۵ به طور مستقیم با ASC از NLRP1 بر هم کنش دارد. اما نقش CARD و کاسپاز ۵ هنوز در اینفلامازوم NLRP1 به طور کامل مشخص نیست (۳۶-۳۷). برای مثال، اگر چه کاسپاز ۵ بخشی از اینفلامازوم NLRP1 می‌باشد، اما در دیگر اینفلامازوم‌ها از جمله اینفلامازوم‌های حاوی NLRP2 و NLRP3 وجود ندارد و به این ترتیب، ممکن است نقش مهمی در همه اینفلامازوم‌ها نداشته باشد (۱).

اگر چه NLRP1 اولین پروتئینی بود که در کمپلکس‌های اینفلامازوم توصیف شد، اما مکانیسم فعال شدن آن به میزان کمی شناخته شده است. NLRP1 به دلیل داشتن یک دمین اضافه در بخش C.t (عمل آن ناشناخته است) و همچنین وجود یک دمین CARD، از نظر ساختاری با سایر NLR متفاوت دارد. NLRP1 انسانی یک اینفلامازوم وابسته به ASC را شکل می‌دهد، در صورتی که احتمال می‌رود NLRP1 موشی، کاسپاز ۱ را به شکل مستقل از ASC فعال کند (۳۸-۳۹).

دمین شناسایی لیگاند برای گیرنده‌های دیگر مانند TLR یا لیگاندهای میکروبی عمل می‌کند (۶). پروتئین دیگری که به عنوان اینفلامازوم محسوب می‌شود، پروتئین قابل القا توسط ایترفرون است که AIM2 نیز نامیده می‌شود. در ادامه، انواع اینفلامازوم‌ها توضیح داده می‌شود (۱).

پروتئین‌های NOD

(Nucleotide-binding oligomerization domain)

NOD1 و NOD2 پروتئین‌هایی با چند دمین هستند که به ترتیب شامل یک یا دو دمین CARD، یک دمین NOD در مرکز و در ادامه‌ی آن تعدادی LRR در ناحیه‌ی C.t هستند (۲۷). ارتولوگ‌های این پروتئین‌ها در مهره‌داران وجود دارد، اما در حشرات و کرم‌ها وجود ندارد. اگر چه NOD1 در بسیاری از انواع سلول‌ها و اندام‌ها وجود دارد، اما NOD2 محدودتر است و در ماکروفازهای DC ها (۲۸) و سلول‌های Paneth (۲۹)، کراتینوسیت‌ها و سلول‌های اپیتلیالی روده‌ای و ریه وجود دارد (۳۰). هر دوی این‌ها در سیتوزول بیان می‌شوند و بخشی از آن‌ها با غشای پلاسمایی در ارتباط هستند (۳۱).

فعال شدن هر دوی این پروتئین‌ها سبب فعال شدن مسیر NF κ B و MAPK می‌شود که این‌ها نیز در بیان ژن‌های مرتبط با اینمنی ذاتی و اکتسابی نقش دارند. NOD1 و NOD2 گیرنده‌های سیتوزولیکی (Peptidoglycan) PGN هستند که بخش‌های دیواره‌ی باکتری‌ها را می‌شناسند (۳۲). در واقع، قطعات PGN یا در طی تقسیم باکتری در سیتوزول سلول اینمنی آلووده و یا از لیزوژومی که آن را فاگوستیوز کرده و در لیزوژوم میزبان تخریب می‌کند،

سبب فعال شدن NLRP^۳ شوند (۴۹-۵۲). تنوع ساختاری عوامل القا کننده NLRP^۳ همان گونه که ذکر شد تا حد زیادی شناخته شده است، اما مکانیسم فرا دست آن که سبب الیگومریزاسیون NLRP^۳ می‌شود، ناشناخته مانده است (۱۸).

اینفلامازوم NLRP^۳ می‌تواند به طیف گسترده‌ای از محرك‌ها پاسخ دهد و به طور معمول، این فعال کننده‌ها فاقد تشابه ساختاری و عملکردی هستند (۵۳). بسیاری از میکروب‌ها مانند باکتری‌ها، ویروس‌ها، قارچ‌ها و تک یاخته‌های انگلی می‌توانند اینفلامازوم NLRP^۳ را فعال کنند. علاوه بر فعال کننده‌های میکروبی، سیگنانلهای خطرناک درونی شامل ATP، اورات منوسدیم و آمیلوئید β اینفلامازوم NLRP^۳ را فعال می‌کنند. گمان می‌رود NLRP^۳ نقش اولیه در دفاع از میزبان در مقابل پاتوژن‌ها را داشته باشد و همانند TLR در شناسایی اختصاصی PAMP، علاوه بر شناسایی طیف وسیعی از پاتوژن‌ها، قدرت تشخیص حداقل یک اثر اصلی عفونت یعنی آسیب سلولی را نیز دارند (۵۴). توالی یابی ژنوم توتیای دریابی نشان می‌دهد که دارای ۲۲۶ ژن برای TLR و ۲۰۳ ژن برای NLR است که ثابت کننده‌ی اهمیت این گیرنده‌های سیستم ایمنی ذاتی در گونه‌های پست از جمله خارپوستان می‌باشد (۵۵). همان‌طور که گونه‌ها تکامل یافته‌اند و سیستم ایمنی اکتسابی (در مهره‌داران) تکامل یافته است، بعضی از این NLR‌های ذاتی اولیه علاوه بر نقش داشتن در پایش پاتوژن، اعمال دیگری مانند پاسخ به استرس‌های متابولیک، ایسکمی و ترومای نیز دارند. مطالعات اخیر نشان می‌دهد که ممکن است اینفلامازوم NLRP^۳ نقش مهمی در نارسایی‌های

بهترین ویژگی شناخته شده از فعالیت NLRP1 در عملکرد سم کشنده‌ی آنتراکس است. زیر واحد آنتی‌ژن حفاظتی سبب ورود زیر واحد «عامل کشنده» به درون سیتوزول سلول می‌شود. در نتیجه با فعال کردن کاسپاز ۱ از طریق NLRP1، سبب القای سریع مرگ سلول می‌شود (۴۰). فعالیت اندوپروتئازی عامل کشنده‌گی، فعال شدن NLRP1 را تغییر می‌دهد. این عامل سوبستراهای سیتوزولی را در فرایندی که نیازمند جریان کلسیم و فعالیت پروتئوزوم است، برش می‌زند (۴۱). انسان حامل یک ژن برای NLRP1 است؛ در صورتی که در موش، سه پارالوگ برای آن وجود دارد (۱).

اینفلامازوم NLRP^۳

NLRP^۳ با ASC و کاسپاز ۱ می‌تواند اینفلامازوم را شکل دهد و بیشترین مطالعه در بین اعضای خانواده‌ی NLR روی آن صورت گرفته است (۴۲). اینفلامازوم NLRP^۳ در شناسایی باکتری پاتوژن M. aureus یا E. coli Plethora پاتوژن‌های ویروسی مانند آنفولانزای A (۴۴) و پاتوژن‌های قارچی مانند Candida albicans (۴۵) نقش دارد. ترکیباتی از پاتوژن‌ها که سبب فعال شدن NLRP^۳ می‌شوند، شامل عوامل قادر به تشکیل سوراخ در غشای سلول میزبان یا یودوفوریک باکتریایی M. LLO یا Nericin (۴۶-۴۷) یا عوامل ویروسی M. از ویروس آنفولانزای A مانند کاتال (۴۸). علاوه بر این، DAMP‌های درونزاد مانند ATP خارج سلولی، کریستال‌های اوریک اسید مرتبط به نقرص و ترکیبات محیطی مانند کریستال‌های سیلیکا یا فیبرهای آزبست، می‌توانند

(۶۱-۵۹). در تجربیات دیگری نشان داده شده است که قارچ *C.albicans* با سیگنانلینگ تیروزین کیناز Syk سبب فعال شدن NLRP^۳ و بنابراین فعال شدن کاسپاز ۱ و ترشح IL-1 β سبب ایجاد جریان پتاسیم می‌شود (۴۲، ۴۵).

مطالعات دیگری نشان می‌دهد که Hemozoin که یک کریستال هم (Heme) تولید شده توسط مalaria است و سبب فعال شدن اینفلامازوم NLRP^۳ با ایجاد سیگنان خطر در مسیر کیناز Lyn/Syk می‌گردد (۶۳-۶۴). همچنین ناپایدار کردن لیزوژوم با کریستال‌های سیلیکا، فیبریل‌های آمیلوئید بتا و نمک‌های آلوم می‌تواند باعث فعال شدن اینفلامازوم NLRP^۳ شود که این نیز سبب تخریب لیزوژوم و آزادسازی پروتئاز لیزوژومی، همانند کاتاپسین B می‌شود که تا حدی سبب شناسایی اینفلامازوم NLRP^۳ می‌گردد (۵۰، ۵۲، ۶۵).

انگل لیشمانيا درون ماکروفازها تکثیر می‌کند و مکانیسم اولیه‌ی مقاومت در برابر این انگل تولید نیتریک اکسید (NO) است. در مطالعه‌ای نشان داده شد که در پاسخ به عفونت لیشمانيا در ماکروفازها، اینفلامازوم NLRP^۳ فعال می‌شود و با تولید IL-1 β باعث فعال شدن آنزیم نیتریک اکسید سنتاز و بنابراین تولید NO می‌گردد. NO تولید شده سبب محدود شدن تکثیر این انگل در ماکروفازها می‌شود (۶۶).

اینفلامازوم NLRP۱۲ و NLRP۶

NLRP^۶ با ASC و کاسپاز ۱ مرتبط است و می‌تواند باعث فعال شدن NF κ B شود. فعالیت NLRP^۶ با محور IL-1 β /ASC/caspase-۱ حفظ می‌گردد (۶۷). در موش‌های فاقد NLRP^۶، تغییرات کیفی و

متابولیک و عدم پاسخ‌های التهابی بازی کند که از آن جمله می‌توان به دیابت نوع ۲، نقرص، بیماری آرایمرو ایسکمی اشاره داشت (۴۰، ۵۰، ۵۶). همچنین Compan و همکاران شواهدی ارایه کردند که نشان می‌داد اینفلامازوم NLRP^۳ می‌تواند با تورم سلولی فعال شود (۵۷).

سلول‌های نکروتیک، DAMP‌های درون‌زاد را که به عنوان زنگ خطر برای سیستم ایمنی ذاتی است، در بافت آزاد می‌کنند. آزادسازی ATP از سلول‌های نکروتیک، پیغام خطری است که سبب فعال شدن سیستم ایمنی ذاتی می‌گردد. ATP به گیرنده‌ی P2X γ در سلول‌های ماکروفازی متصل می‌گردد که سبب شروع تشکیل همی کانال ۱ Pannexin-1 تحریک نتیجه‌ی آن فعال شدن اینفلامازوم NLRP^۳ تحریک کاسپاز ۱ و آغاز ترشح IL-1 β از سلول می‌باشد. (۴۶، ۵۸). مطالعات دیگری روی سلول‌های توموری نشان می‌دهد تیمار این سلول‌ها با عوامل شیمی درمانی از جمله Oxaliplatin سبب فعال شدن اینفلامازوم NLRP^۳ در سلول‌های دندریتیک می‌گردد که این باعث ترشح IL-1 β از آن‌ها می‌شود (۵۸).

مطالعات مختلفی نشان می‌دهد اینفلامازوم NLRP^۳ در پاسخ به عفونت‌های میکروبی فعال می‌گردد. برای مثال باکتری‌هایی مانند *S. aureus* و *L.monocytogenes* می‌توانند با تأثیر توکسین Listeriolysin-O، آلفا توکسین، بتا توکسین و گاما توکسین با ایجاد جریان K $^{+}$ به سمت خارج سلول، سبب فعال شدن اینفلامازوم NLRP^۳ شوند (۴۶). اینفلامازوم NLRP^۳ همچنین می‌تواند باعث فعال شدن ویروس ستدای و آنفولانزای نوع A شود که موجب ترشح IL-1 β وابسته به کاسپاز ۱ می‌گردد.

NLRC۴ می شود، فلاژلین یا PrgJ باکتریایی است که به طور معمول با همکاری پروتئین های دیگری به نام NAIP صورت می گیرد. در واقع، ابتدا این اجزای باکتریایی به انواعی از NAIP متصل می شوند و باعث فعال شدن اینفلاماژوم NLRC۴ می گردند (۷۲-۷۳).

پروتئین NLRP10

برخلاف اعمال درک شدهی NLRها در اینمنی، بعضی از ۲۲ عضو این خانوادهی پروتئینی اعمال ناشناختهای دارند. در این میان، NLRP۱۰ تنها NLRی است که فاقد بخش LRR است. این موضوع به طور ضمنی بیانگر اعمال آدأپتوری یا تنظیمی این پروتئین بیش از نقش گیرنده‌گی برای PAMPها و DAMPها است (۷۴). NLRP۱۰ انسانی ابتدا توسط Wang و همکاران شناخته شد (۷۵). در کلیه، بیضه و روده‌ی بزرگ انسان و موش بیان می‌گردد (۷۶). این پروتئین در پوست انسان به ویژه در اپیدرم به فراوانی بیان می‌گردد. mRNA در ماکروفازها، DCها، CD۴⁺ T-cell، B-cell و نوتروفیلاها نیز بیان می‌گردد (۷۵).

این NLR به شکل اینفلامازوم در نمی‌آید و نقشی غیر معمول اما مهم در مهاجرت سلول‌های دندانیتیک (Dendritic cells) یا DCs) دارد. موش‌های دارای نقص در NLRP10 در مهاجرت DC‌ها به غدد لنفی (Lymph nodes) یا LN) در طی ایمنی زایی با طیف گستره‌های از ادجوانات‌ها در چندین سایت و در نتیجه، القای سلول T کمکی CD4⁺ چهار مشکل هستند (۷۷). از طرفی نشان داده شده است که NLRP10 در سایت ورودی باکتریایی که در کنار پیروتئین NOD-1 است، بیدا می‌شود. بر مبنای این

کمی در اکولوژی میکروبی دستگاه گوارشی مشاهده شده است. همچنین در موش‌های دارای نقص در ASC، کاسپاز ۱ و IL-۱۸ نیز این مشکلات عدم تعادل دیده می‌شود. حضور NLRP6 باعث مهار جریان منوسيت‌ها و نوتروفيل‌ها به گرددش خون و Peritoneum به سبب ممانعت از تولید سايتوكاين‌ها و کموکاين‌ها در طی عفونت‌های باكتريائي با تنظيم منفي MAPK و NFκB القا شده توسط TLR مي‌گردد (۶۸، ۱۸).

ASC با NLRP12 اینفلامازومی را کاسپاز ۱ و شکل می‌دهد که سبب بلوغ IL-1 β می‌شود. به طور حتم، دانش ما در مورد نقش NLRP12 در سلامتی و سماری‌ها محدود است. (۶۹)

NLRC۴ اینفلامازوم

پروتئین NLRC4 اینفلامازوم را در عفونت با انواع باكتری‌های گرم منفی مانند Salmonella typhimurium در ماکروفازها تشکیل می‌دهد (۷۰). NLRC4 حاوی یک دمین CARD در برای انتقال پیام، یک دمین مرکزی NACHT و N.t یک دمین LRR در C.t است که با دمین CARD پیش کاسپاز ۱ در واکتش CARD-CARD به طور اختصاصی ارتباط دارد (۷۱).

این اینفلامازوم به طور معمول از طریق اجزای سیستم ترشحی نوع III باکتریایی تشکیل می‌گردد. این سیستم ترشحی چندین عامل سمی باکتریایی را به داخل سلول میزبان وارد می‌کند تا فرایندهای مشخصی از میزبان مانند سیستم ایمنی ذاتی تخرب گردد و همانندسازی باکتریایی پیش رود. از جمله اجزای این دستگاه که باعث فعال شدن اینفلامازوم

Listeria monocytogenes, *Francisella tularensis* و سوش‌های مشخصی از *Legionella pneumophila* نیز می‌توانند سبب فعال شدن AIM2 شوند (۸۲-۸۴).

بیماری‌های مرتبط با اینفلامازوم

آلزایمر

مطالعات اخیر نشان می‌دهد پتید درون‌زاد آمیلوئید β که فیبریل‌های غیر محلول در مغز بیماران دچار بیماری آلزایمر را ایجاد می‌کند، می‌تواند سبب فعال شدن اینفلامازوم NLRP3 گردد. $A\beta$ به عنوان یک سیگنال درون‌زاد خطرناک است که توسط اینفلامازوم NLRP3 شناسایی می‌شود. در واقع اینفلامازوم NLRP3 به عنوان یک گیرنده‌ی عمومی عمل می‌کند که توانایی شناسایی پتیدها و پروتئین‌های تجمع یافته را در سلول دارد و علاوه بر $A\beta$ تجمع یافته، توانایی شناسایی تجمعات پروتئینی پاتوژنی از قبیل Amyloidosis در پارکینسون را نیز دارد و سبب پاسخ‌های التهابی می‌گردد (۸۵، ۸۶).

نتایج پژوهش‌های اخیر نشان می‌دهد که ویژگی فیبریلار $A\beta$ در شناسایی و فاگوسیتوز توسط سلول‌های میکروگلیال ضروری است. این شناسایی توسط گیرنده‌های NLRP3 صورت می‌گیرد. سپس این سلول‌های فاگوسیت کننده که دارای لیزوژوم‌های حاوی $A\beta$ هستند، متحمل آسیب‌های ساختاری و عملکردی می‌شوند، برای مثال pH لیزوژوم حاوی $A\beta$ کاهش می‌یابد. بنابراین لیزوژوم شروع به آزادسازی ترکیبات درونی می‌کند. از جمله‌ی این ترکیبات کاتپسین B است که به داخل سیتوپلاسم آزاد می‌شود و سبب فعال کردن کاسپاز ۱ و پس از آن فعال شدن IL-1 β می‌شود تا ترشح مولکول‌های پیش

یافته و یافته‌های مربوط به مهاجرت در بافت‌های التهابی، می‌توان نقش NLRP10 را در تنظیم فرایندهای اسکلت سلولی پیشنهاد داد. همچنین مطالعاتی دیگر نشان می‌دهد در سلول‌های اپیتلیال، NLRP10 در اینمی ذاتی بر علیه عفونت‌های باکتریایی نیز فعال می‌گردد (۷۸).

فعال شدن اینفلامازوم توسط AIM2

مطالعات اخیر نشان می‌دهد dsDNA توسط یک عضو خانواده PYHIN به نام AIM2 شناسایی می‌شود (۱۰). اگر چه این اینفلامازوم جزء خانواده dsDNA نباشد، اما AIM2 با دمین C.t به NLR متصل می‌شود و با ASC از طریق دمین N.t پایرین الیگومریزه می‌شود و بر هم‌کنش دارند. این واکنش سبب تشکیل پایروپتوزوم ASC یا اینفلامازوم AIM2 می‌گردد که سرانجام باعث فعال شدن کاسپاز ۱ و NF κ می‌شود (۱۱).

اگرچه در گذشته ثابت شده است وقتی DNA به طور مناسب تخریب نشود یا از فضای خارج سلولی پاک نگردد، می‌تواند تجمع یابد یا در دسترس بخش‌های سیتوزولیک قرار گیرد، اما فعالیت AIM2 برای DNA درون‌زاد هنوز در بیماری‌های فیزیولوژیک ثابت نشده است. چندین مهاجم میکروبی می‌توانند به سیتوزول سلول‌های فاگوسیتیک دسترسی پیدا کنند و DNA خارجی را آزاد کنند و فعالیت AIM2 و بنابراین کاسپاز ۱ را راهاندازی نمایند (۸۰). این موضوع برای DNA ویروس واکسینیا و (Maize chlorotic mottle virus) MCMV شده است (۸۱). همچنین مطالعاتی نشان می‌دهد که آزاد شده در سیتوزول باکتری‌های DNA

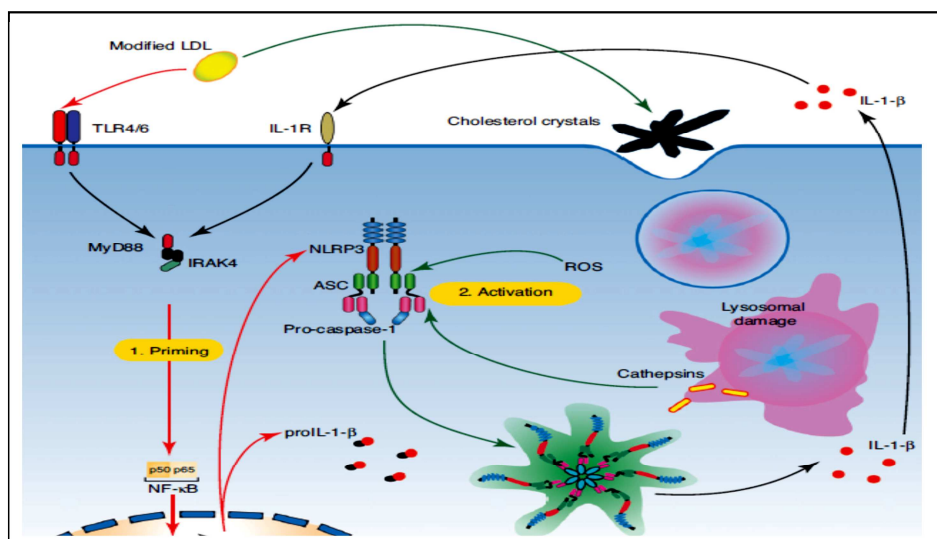
شناسایی است (۸۹-۹۰).

فعال شدن اینفلامازوم NLRP^۳ در آترواسکلروزیس. ابتدا LDL (Low-density lipoprotein) LDL تغییر یافته از طریق گیرنده‌های TLR و Scavenger روی Priming ماکروفازها شناسایی می‌شوند. این مرحله‌ی Priming سبب افزایش بیان NLRP^۳ و pro-IL-1 β می‌شود. در پی آن کریستال‌های کلسترول حاصل از LDL تغییر یافته که توسط ماکروفازها فاگوسیتوز شده‌اند، سبب تخریب لیزوژوم و آزادسازی پروٹئازهای لیزوژومی (کاتاپسین‌ها) می‌شوند. کاتاپسین‌ها Reactive oxygen species (ROS) همچنین در ترکیب با IL-1 β از سیتوکین ۱-IL-1 β بالغ و فعال است. سپس ۱-IL-1 β از سلول آزاد می‌گردد تا سبب تداوم بیان اینفلامازوم و همچنین واسطه‌گری در پاسخ التهابی شود که نتیجه‌ی آن جریان سلول‌های ایمنی و پیش روی تشکیل پلاک‌های آترواسکلروتیک است (شکل ۳) (۹۰).

التهابی در بیماری آلزایمر آغاز گردد (۸۶-۸۷).

بیماری آترواسکلروزیس

این بیماری در دیواره‌ی سرخرگ‌های بزرگ شکل می‌گیرد و می‌تواند سبب انفارکتوس میوکاردیال شود. یکی از مشخصه‌های این بیماری، درگیر شدن سلول‌های ایمنی در دیواره‌ی سرخرگ‌ها است (۸۸). از طرفی، مطالعات نشان می‌دهد آترواسکلروزیس توسط ترکیبات درون‌زاد نیز می‌تواند پیش رود. یکی از این ترکیبات درون‌زاد مرتبط با آترواسکلروزیس کلسترول است؛ به طوری که افزایش سطوح کلسترول خون با تکوین بیماری آترواسکلروتیک ارتباط مستقیم دارد. کلسترول در این بیماری هم به شکل استرهای کلسترول در داخل سلول‌های ماکروفازی و هم به صورت کلسترول کریستالی در داخل و خارج سلول‌ها وجود دارد. کلسترول در محلول‌های آبی حلایت کمی دارد، بنابراین کریستال‌های کلسترول در رنگ آمیزی‌های بافتی به صورت شکافت‌های کریستالی کلسترول قابل



شکل ۳. مسیر پیشنهادی فعال شدن اینفلامازوم (Nod-like receptor P^рNod-like receptor) NLRP^۳ در آترواسکلروزیس

یافته (برای مثال اکسید شده) توسط گیرنده‌های TLR یا Scavenger روی ماکروفازها شناسایی می‌شود و باعث فعال شدن عامل رونویسی NF κ B و بنابراین NLRP 3 افزایش بیان پروتئین‌های Pro-IL-1 β و NLRP 3 می‌گردد. از طرفی، این ماکروفازها کریستال‌های کلسترول را فاگوسیتوz می‌کنند که در ادامه با تخریب لیزوژوم سبب آزادسازی پروتئازهای لیزوژومی از جمله کاتپسین‌ها می‌شوند. کاتپسین در ترکیب با ROS سبب فعال شدن اینفلامازوم NLRP 3 می‌شود و به این ترتیب، برش کاسپاز ۱ و بلوغ آن صورت می‌گیرد. حال کاسپاز ۱ سبب تولید IL-1 β بالغ می‌گردد (شکل ۳). این سایتوکاین با رهایی از سلول سبب افزایش ترکیبات اینفلامازومی در درون همان سلول و سلول‌های اطراف و به علاوه باعث پاسخ‌های التهابی می‌شود که نتیجه‌ی آن جریان سلول‌های ایمنی و پیش‌روی تشکیل پلاک‌های آترواسکلروسیس است (۹۶).

دیابت نوع ۲

از جمله ویژگی‌های این بیماری می‌توان به مقاومت به انسولین القا شده با چاقی و از دست رفتن عملکرد سلول‌های بتا در پانکراس اشاره کرد. از ویژگی‌های دیگر، می‌توان به تجمع Islet amyloid polypeptide (IAPP) پانکراتیک اشاره کرد که توسط سلول‌های دندان‌ریتیک و ماکروفازها برداشته می‌شود (۹۷-۹۸). در مطالعه‌ای نشان داده شد که تحریک سلول‌های دندان‌ریتیکی و ماکروفازها توسط IAPP انسانی، سبب القای کاسپاز ۱ و تولید IL-1 β از مسیر NLRP 3 می‌گردد (۹۹).

مطالعات مختلفی با استفاده از موش‌های تغییر یافته‌ی ژنتیکی که فاقد ترکیبات اینفلامازومی

در مطالعات In vitro نشان داده شده است که ماکروفازها در پاسخ به کریستال‌های کلسترول از مسیر NLRP 3 می‌توانند میزان زیادی IL-1 β ترشح کنند (۵۱). در مطالعه‌ای، مغز استخوان موش‌های دارای نقص در ASC NLRP 3 ، یا IL-1 α/β به موش‌های دارای نقص برای گیرنده‌ی LDL ترسفکت شد و به دنبال آن، موش‌ها در معرض رژیم غذایی غنی از کلسترول قرار گرفتند. این موش‌ها به شکل چشمگیری در اندازه‌ی آسیب وارد به آئورت بهبودی نشان دادند. این قبیل مطالعات نشان دهنده‌ی اهمیت فعالیت اینفلامازوم سلول‌های میلوبیوتی در ایجاد آترواسکلروسیس است (۹۱).

مطالعات دیگری نشان می‌دهد LDL اکسید شده توسط ماکروفازها بلعیده می‌شود و می‌تواند از طریق گیرنده‌های CD14، TRL $^4/6$ و گیرنده‌های CD36 Scavenger IRAK-4 از طریق MyD88 و تحریک شدن کیناز MyD88 شود (۹۳-۹۴). فعال شدن این مسیر، سبب فعال شدن NF κ B می‌گردد. از طرفی، این عامل رونویسی در فعال شدن پروتئین‌های درگیر در تشکیل اینفلامازوم نقش دارد. علاوه بر این، اکسیداسیون LDL وابسته به ROS است (که در ماکروفازها تولید می‌گردد). جالب این است که LDL اکسید شده خود در تولید ROS و آسیب لیزوژومی و نیز آزادسازی ترکیبات لیزوژومی مانند کاتپسین‌ها نقش دارد. در مطالعات دیگری نشان داده شده است که کاتپسین‌ها و ROS نیز در فعال کردن اینفلامازوم NLRP 3 نقش دارند (۹۵).

مسیر پیشنهادی فعال شدن اینفلامازوم NLRP 3 در آترواسکلروسیس این است که ابتدا LDL تغییر

در انواع CAPS دارد و این بیماران نشانه‌هایی مانند رشد بیشتر در استخوان‌های دراز و یا ایجاد منژیت مزمن دارند (۱۰۱-۱۰۲).

موتاسیون‌هایی که سبب جهش در CAPS می‌شوند، به طور معمول در کلاسترهاي ژني اطراف NOD هستند، یعنی دمینی که سبب الیگومریزاسیون پروتئین‌های NLR می‌شود و باعث افزایش فعالیت IL-1 β اینفلامازوم NLRP 3 و نیز افزایش ترشح می‌گردد. یکی از ویژگی‌های این دمین، توانایی آن در اتصال و هیدرولیز ATP است. این توانایی برای موتاسیون‌های مرتبط با CAPS جهت القای ترشح IL-1 β لازم است (۴۲، ۱۰۳).

اما مکانیسم احتمالی در این بیماری‌ها، این است که سیگنال‌های مهاری که به طور طبیعی سبب سرکوب عملکرد NLRP 3 می‌شود در صورت موتاسیون در دمین NOD از NLRP 3 برداشته می‌شود (۱۰۴). در همین راستا، K $^{+}$ سیتوزوکلی که به طور طبیعی باعث جلوگیری از فعالیت اینفلامازوم NLRP 3 می‌شود، در صورت موتاسیون در NLRP 3 نمی‌تواند اثر مهاری خود را ایجاد کند. مکانیسم احتمالی دوم که سبب افزایش فعالیت اینفلامازوم NLRP 3 در سلول‌های جهش یافته می‌گردد، برداشته شدن اثر سرکوبگری لوب مهاری از روی NLRP 3 است. بر همین اساس، نشان داده شده است که در سلول‌های جهش یافته برای LPS، NLRP 3 باکتریایی می‌تواند سبب القای فعالیت کاسپاز ۱ و تولید IL-1 β شود (۱۰۵-۱۰۶).

نقش اینفلامازوم در سرطان کولورکتال

نقش اینفلامازوم در فیزیوپاتولوژی سرطان پیچیده است؛ به طوری که هم می‌تواند سبب التهاب

Asc، NLRP 3 و کاسپاز ۱ هستند، نشان می‌دهد فعال شدن اینفلامازوم NLRP 3 مکانیسم کلیدی در مقاومت به انسولین است. از طرفی، غیر فعال کردن این اینفلامازوم در بیماران مبتلا به دیابت نوع ۲، سبب کاهش اضافه وزن آن‌ها می‌شود (۹۶).

یکی از مکانیسم‌های احتمالی نقش اینفلامازوم در روند دیابت نوع ۲ به این صورت است که اینفلامازوم NLRP 3 می‌تواند سیگنال‌های خطر ایجاد شده در دیابت نوع ۲ از جمله IAPP، اورات، ATP خارج سلولی، اسیدهای چرب و ROS را شناسایی کند. سپس با ASC باعث فعال شدن کاسپاز ۱ و این نیز به نوبه‌ی خود سبب تولید IL-1 β و IL-۱۸ می‌شود. این دو سایتوکاین پیش التهابی به طور احتمالی در ایجاد مقاومت به انسولین و مرگ سلول‌های بتا پانکراس و بنابراین تکوین دیابت نقش دارند (۱۰۰).

Cryopyrin-associated periodic syndrome

سندرم‌های FCAS (Familial cold autoinflammatory syndrome)، MWS (Muckle-Wells syndrome) و NOMID (Neonatal onset multi-system inflammatory disease) شکل‌های مختلف یک بیماری است که در همهٔ آن‌ها موتاسیون اتوزوکلی در ژن NLRP 3 رخ CAPS می‌دهد و همهٔ آن‌ها را به عنوان سندرم‌های (Cryopyrin-associated periodic syndromes) می‌نامند. FCAS کمترین شدت را در CAPS دارد و با تب Cold-induced fever و خارش همراه کهیز شناخته می‌شود. MWS شدت بیشتری دارد و این بیماران به طور معمول مرکز عصب شناوری از دست رفته و آرتیتیس دارند. NOMID بیشترین شدت را

در پیش‌روی توموروژن نشان داده شده است. احتمال می‌رود این دو در مراحل ابتدایی تشکیل تومور نقش مهاری دارند.^۴ NLRC4 از طریق آپوپتوز وابسته به p53 سبب جلوگیری از توموروژنسیس می‌شود NLRP6 (۱۱۳). از طرفی، احتمال می‌رود اینفلامازوم در توموروژن نقش دارد؛ به طوری که موش‌های دارای نقص برای این پروتئین، به طور چشمگیری در ایجاد تومور نسبت به نمونه‌ی شاهد پیشرفت داشتند (۱۱۴).

نقص

نقص یک آرتربیتیس التهابی است که با رسوب منوسدیم اورات (MSU) یا Monosodium urate در مفاصل همراه می‌باشد و سبب التهاب می‌گردد. اگر چه نقش MSU در نقص از دهه‌های پیش مشخص شده بود، اما مکانیسمی که کریستال‌های MSU سبب ایجاد التهاب حاد می‌شوند، مشخص شده است (۱۱۵). بدون شک، سایتوکاین‌های پیش التهابی نقش حیاتی در همانگی واکنش التهابی کریستال‌های MSU دارند. مطالعات اخیر نشان می‌دهد IL-1 β به عنوان یک سایتوکاین پیش التهابی تنظیمی مهم، سبب افزایش جریان نوتروفیل‌ها به مایع سینوویال و مفصلی که مشخصه‌ی اصلی التهاب حاد است، می‌شود. در واقع، ویژگی پاتولوژیک نقص جریان قابل توجه نوتروفیل به مایع سینووال و مفصلی است، در صورتی که نوتروفیل‌ها در مفصل طبیعی وجود ندارند (۱۱۶-۱۱۷).

مطالعات اخیر نشان می‌دهد فاگوسیت‌های تک هسته‌ای نقش مهمی در آغاز پاسخ به رسوب MSU بازی می‌کنند و منوسيت‌ها در معرض کریستال‌های MSU باعث ایجاد سایتوکاین‌های پیش التهابی به

کارسینوژنیک وابسته به اینفلامازوم شود و هم در فرایند حذف پیش‌سازهای بدخیم از طریق مرگ سلولی برنامه‌ریزی شده مؤثر باشد. فعال شدن اینفلامازوم می‌تواند سبب تحریک پاسخ‌های ایمنی بر ضد سلول‌های توموری گردد (۱۰۷). با استفاده از آزوکسیمتان (Azoxymethane یا AOM) در بافت کلونی، نقش اینفلامازوم در تومورزایی سرطان کولورکتال نشان داده شده است (۱۰۸). مطالعات روی مدل‌های موشی نشان می‌دهد عدم اینترلوکین‌های مرتبط با اینفلامازوم مانند IL-18 می‌تواند در کارسینوژن و پیش‌روی تومور نقش داشته باشد. در واقع، فعال شدن اینفلامازوم‌های NLRP3 و NLRP6 باعث کاهش بیان پروتئین مهارکننده‌ی IL-22 bp (IL-22 bp) از طریق IL-18 می‌شود و به عبارت دیگر، افزایش بیان IL-22 bp در تنظیم ترمیم بافت روده‌ای و توموروژن کلون نقش حیاتی دارد (۱۰۹-۱۱۰).

در مطالعات مدل‌های موشی AOM-DSS نقص در NLRP3 سبب التهاب و تومور بیشتری نسبت به نمونه‌ی شاهد می‌شود. در واقع، احتمال می‌رود IL-18 فعال شده توسط اینفلامازوم، با حفاظت کلون در برابر توموروژن ارتباط دارند (۱۱۱). از طرفی، با استفاده از IL-18 نوترکیب، نشان داده شده است که می‌تواند از طریق مسیر احتمالی γ -IFN-STAT1 (SIGNAL transducer and activator of transcription 1) همراه است، سبب جلوگیری از تومور گردد (۱۱۲).

عدم تأثیر اینفلامازوم NLRC4 و نیز کاسپاز ۱ نیز

NLRP۳ نقش دارد. TLRهای فعال شده توسط MSU سبب فعال شدن عامل رونویسی BNF κ را می‌شود و این عامل، رونویسی از ژن IL-1 β -pro را افزایش می‌دهد. حال کاسپاز ۱ سبب فعال و بالغ شدن IL-1 β می‌گردد. این سایتوکاین می‌تواند به مایع مفصلی خارج سلول آزاد شود و توسط گیرنده‌های IL-1 سلول‌های اندوتیال و ماکروفازها شناسایی گردد و در نتیجه باعث ترشح سایتوکاین‌ها و کموکاین‌های پیش التهابی از این سلول‌ها شود (۱۱۵).

بیماری‌های دیگر مرتبط با اینفلامازوم‌ها

ASC با NLRP۱، کاسپاز ۱ و کاسپاز ۵ ترکیب می‌شود و مشابه اینفلامازوم NLRP۳ است. نتیجه‌ی عملکرد آن در فعال کردن کاسپاز ۱ ترشح IL-1 β می‌باشد. Vitiligo یک اختلال Depigmenting در پوست است و در آن ملانوسیت‌ها از دست می‌روند و به طور معمول، با بیماری‌های خودایمنی مانند آرتربیت روماتوئید یا لوپوس اریتروماتوز و یا بیماری Addison همراه است. یکی از عوامل ایجاد کننده‌ی Vitiligo نقص در ژن‌های کنترل کننده‌ی NLRP۱ است (۱۲۰). NOD۲ یکی دیگر از اعضای خانواده‌ی NLR است و به طور معمول، نقص در آن در ایجاد بیماری‌های Crohn و سندرم Blau دیده می‌شود (۱۲۱).

NLRP۱۲ نوع دیگری از NLR است که به عنوان تنظیم کننده‌ی منفی فعالیت NF κ B است و جهش در آن با سندرم Guadeloupe variant periodic fever در ارتباط است. موتاسیون در NLRP۱۲ سبب از دست رفتن عمل آن و در نتیجه، کاهش عمل واسطه‌گری آن در مهار سیگنالینگ NF κ B می‌شود (۱۲۲).

ویژه IL-1 β می‌شوند. به عبارت دیگر، این کریستال‌ها نقش سیگنال‌های خطر را همانند پاتوژن‌های میکروبی بازی می‌کنند (۱۱۸). اولین بار Martinon و همکاران ثابت کردند که اینفلامازوم MSU را شناسایی و به دنبال آن پاسخ‌های ایمنی ذاتی را فعال می‌کند. ماکروفازهای موش‌های دارای نقص در اجزای اینفلامازومی کاسپاز ۱، ASC و NLRP۳ قادر به فعال کردن IL-1 β در پاسخ به تحریک با رسوب MSU نمی‌باشند و از طرفی در جریان نوترووفیل‌ها نیز دارای مشکل می‌شوند (۴۹). همچنین ماکروفازهای جدا شده از موش‌های TLR۲ $^{-/-}$ و TLR۴ $^{-/-}$ در دریافت کریستال‌های MSU نقص نشان می‌دهند و در تولید سایتوکاین‌های پیش التهابی نیز کاهش نشان می‌دهند.

این یافته‌ها نشان می‌دهد TLRها برای التهاب القا شده با کریستال MSU ضروری است. در واقع، در فاز ابتدایی کریستال‌های MSU رسوب کرده در فضای خارج سلولی مفاصل، می‌توانند توسط pro-IL-1 β منویسیت‌ها شناسایی شوند و سبب رونویسی NLRP۱ گردند. کریستال‌های MSU همچنین توسط منویسیت‌ها فاگوسیتوز می‌شوند (۱۱۹).

می‌توان نقش اینفلامازوم را در نقرص این گونه شرح داد: ابتدا کریستال‌های MSU توسط TLR یا فاگوسیتوز ماکروفازها شناسایی و بلیعده می‌شوند. کریستال‌های وارد شده توسط اینفلامازوم NLRP۳ شناسایی می‌شوند و سپس الیگومریزاسیون NLRP۳ می‌شوند و سپس الیگومریزاسیون و به دنبال آن فعال شدن کاسپاز ۱ صورت می‌گیرد. همچنین مشخص شده است که کاتپسین B، ROS و جریان K⁺ نیز در فعال شدن و الیگومریزاسیون

تولید آن می‌شود، بلکه باعث سرکوب فاگوسیتوز توسط ماکروفازها می‌گردد (۱۲۹). از سال ۲۰۰۹ پایین کلشی‌سین را به عنوان داروی مؤثر در درمان نقرص تأیید نمود (۱۳۰). یکی از اولین داروهای اختصاصی NLRP³ Glyburide است که برای دیابت نوع ۲ به کار می‌رود. این دارو سبب مهار کانال پتانسیمی وابسته به کلسیم می‌شود و به این طریق، فعال شدن اینفلامازوم NLRP³ را نیز مهار می‌کند (۱۳۱).

نتیجه‌گیری

از شناخت نقش سیستم ایمنی ذاتی و اهمیت آن در دفاع از میزبان زمان به نسبت زیادی می‌گذرد. اما به تازگی این اهمیت با شناخت NLRP³ها و اینفلامازوم‌های مختلف و نقش آن‌ها در بیماری‌های مختلف چشمگیرتر شده است. نقش کلیدی اینفلامازوم در جهت تولید و ترشح سایتوکاین‌های التهاب‌زای کلیدی همانند IL-1 β و IL-18 از سلول‌ها می‌باشد. مطالعه‌ی اینفلامازوم‌ها و نقش مرکزی IL-1 β در التهاب، می‌تواند مکانیسم‌های مولکولی بیماری‌زایی بیماری‌های التهابی و ویروسی و همین‌طور فعالیت آدجوانی واکسن‌ها را تبیین نماید. به این ترتیب، شناخت مکانیسم‌های سلولی-مولکولی نقش انواع اینفلامازوم‌ها، فرصت‌های جدیدی در جهت تکوین راهکارهای نوین پیشگیری و درمانی در بیماری‌ها را در دسترس قرار می‌دهد؛ به طوری که موادی از قبیل Anakinra و مشتقاش که اینفلامازوم‌ها را هدف قرار می‌دهند، چشم‌اندازی جدید در درمان بیماران مبتلا به خود التهابی فراهم نموده است.

کاربردهای درمانی

مهار فعالیت‌های اینفلامازوم NLRP³ ممکن است در جلوگیری از آسیب‌هایی که باعث پاسخ التهابی در بیماری‌های کلیوی، قلبی و ایسکمی مغزی می‌شود، اثرات مفیدی داشته باشد. به علاوه، نکروز القا شده توسط التهاب در ترومما و عفونت‌های ثانویه ممکن است توسط مهار کننده‌های مسیر NLRP³ مفید باشد. در آزمایش‌های نشان داده شده است که استفاده از آنتاگونیست IL-1R³ یعنی Anakinra می‌تواند سبب کاهش در تعدادی از این بیماری‌ها شود. همچنین ویژگی‌های ادجوانی اینفلامازوم NLRP³ می‌تواند در افزایش ایمنی‌ترنیسه مواد شیمی درمانی به کار رود. تکوین آنتاگونیست‌های اینفلامازوم NLRP³ و بهبود درک ما از مکانیسم‌های اختصاصی فعال شدن آن‌ها در کیفیت آگونیست‌های درمانی جدید مفید خواهد بود (۱۲۳-۱۲۵).

مهار کننده‌های IL-1 β -Ra مانند IL-1 β -R³ (Rilonacept)، IL-1TRAP (Anakinra) یا آنتی‌بادی IL-1 β -R³ (Canakinumab) برای چند حالت خود التهابی IL-1 β به خصوص در بیماری CAPS مهم است (۱۲۶-۱۲۸). برمبانای برهم‌کنش IL-1 β -RI با IL-1 β -Ra پیتیدهای کوچک آنتاگونیستی ۱۰۱/۱ برای بیماری التهابی دستگاه گوارش به طور موفقیت‌آمیزی استفاده شده است. کاسپیاز ۱ نیز یکی دیگر از هدف‌های مستقیم درمان بیماری‌های التهابی است (۱۲۸).

استفاده از کلشی‌سین که یک مهار کننده‌ی میکروتوبولی است، برای درمان نقرص یا بیماری (Familial Mediterranean fever) FMF به کار می‌رود و نه تنها باعث مهار مهاجرت نوتروفیل‌ها و

References

1. Khare S, Luc N, Dorfleutner A, Stehlík C. Inflammasomes and their activation. *Crit Rev Immunol* 2010; 30(5): 463-87.
2. Janeway CA, Jr. Approaching the asymptote? Evolution and revolution in immunology. *Cold Spring Harb Symp Quant Biol* 1989; 54 Pt 1: 1-13.
3. Mankani AK, Kubarenko A, Hornung V. Immunology in clinic review series; focus on autoinflammatory diseases: inflammasomes: mechanisms of activation. *Clin Exp Immunol* 2012; 167(3): 369-81.
4. Wells JM, Rossi O, Meijerink M, van BP. Epithelial crosstalk at the microbiota-mucosal interface. *Proc Natl Acad Sci U S A* 2011; 108(Suppl 1): 4607-14.
5. Franchi L, Nunez G. Immunology. Orchestrating inflammasomes. *Science* 2012; 337(6100): 1299-300.
6. Abdul-Sater AA, Said-Sadier N, Ojcius DM, Yilmaz O, Kelly KA. Inflammasomes bridge signaling between pathogen identification and the immune response. *Drugs Today (Barc)* 2009; 45(Suppl B): 105-12.
7. Haghparast A, Heidari KM, Malvandi AM. Down-regulation of CD14 transcripts in human glioblastoma cell line U87 MG. *Iran J Immunol* 2011; 8(2): 111-9.
8. Suzuki S, Franchi L, He Y, Munoz-Planillo R, Mimuro H, Suzuki T, et al. Shigella type III secretion protein MxiI is recognized by Naip2 to induce Nlrp4 inflammasome activation independently of Pkcdelta. *PLoS Pathog* 2014; 10(2): e1003926.
9. Baccala R, Gonzalez-Quintial R, Lawson BR, Stern ME, Kono DH, Beutler B, et al. Sensors of the innate immune system: their mode of action. *Nat Rev Rheumatol* 2009; 5(8): 448-56.
10. Burckstummer T, Baumann C, Bluml S, Dixit E, Durnberger G, Jahn H, et al. An orthogonal proteomic-genomic screen identifies AIM2 as a cytoplasmic DNA sensor for the inflammasome. *Nat Immunol* 2009; 10(3): 266-72.
11. Fernandes-Alnemri T, Yu JW, Datta P, Wu J, Alnemri ES. AIM2 activates the inflammasome and cell death in response to cytoplasmic DNA. *Nature* 2009; 458(7237): 509-13.
12. Tschopp J, Martinon F, Burns K. NALPs: a novel protein family involved in inflammation. *Nat Rev Mol Cell Biol* 2003; 4(2): 95-104.
13. Keller M, Ruegg A, Werner S, Beer HD. Active caspase-1 is a regulator of unconventional protein secretion. *Cell* 2008; 132(5): 818-31.
14. Ting JP, Lovering RC, Alnemri ES, Bertin J, Boss JM, Davis BK, et al. The NLR gene family: a standard nomenclature. *Immunity* 2008; 28(3): 285-7.
15. Hornung V, Ablasser A, Charrel-Dennis M, Bauernfeind F, Horvath G, Caffrey DR, et al. AIM2 recognizes cytosolic dsDNA and forms a caspase-1-activating inflammasome with ASC. *Nature* 2009; 458(7237): 514-8.
16. Jin T, Perry A, Jiang J, Smith P, Curry JA, Unterholzner L, et al. Structures of the HIN domain:DNA complexes reveal ligand binding and activation mechanisms of the AIM2 inflammasome and IFI16 receptor. *Immunity* 2012; 36(4): 561-71.
17. Bauernfeind F, Bartok E, Rieger A, Franchi L, Nunez G, Hornung V. Cutting edge: reactive oxygen species inhibitors block priming, but not activation, of the NLRP3 inflammasome. *J Immunol* 2011; 187(2): 613-7.
18. Bauernfeind F, Hornung V. Of inflammasomes and pathogens--sensing of microbes by the inflammasome. *EMBO Mol Med* 2013; 5(6): 814-26.
19. Yuan S, Yu X, Topf M, Ludtke SJ, Wang X, Akey CW. Structure of an apoptosome-procaspase-9 CARD complex. *Structure* 2010; 18(5): 571-83.
20. Yuan S, Yu X, Topf M, Dorstyn L, Kumar S, Ludtke SJ, et al. Structure of the Drosophila apoptosome at 6.9 Å resolution. *Structure* 2011; 19(1): 128-40.
21. Shirasu K. The HSP90-SGT1 chaperone complex for NLR immune sensors. *Annu Rev Plant Biol* 2009; 60: 139-64.
22. Ting JP, Duncan JA, Lei Y. How the noninflammasome NLRs function in the innate immune system. *Science* 2010; 327(5963): 286-90.
23. Kadota Y, Shirasu K, Guerois R. NLR sensors meet at the SGT1-HSP90 crossroad. *Trends Biochem Sci* 2010; 35(4): 199-207.
24. Mayor A, Martinon F, De ST, Petrilli V, Tschoop J. A crucial function of SGT1 and HSP90 in inflammasome activity links mammalian and plant innate immune responses. *Nat Immunol* 2007; 8(5): 497-503.
25. Zhou R, Tardivel A, Thorens B, Choi I, Tschoop J. Thioredoxin-interacting protein links oxidative stress to inflammasome activation. *Nat Immunol* 2010; 11(2): 136-40.
26. Zhou R, Yazdi AS, Menu P, Tschoop J. A role for mitochondria in NLRP3 inflammasome activation. *Nature* 2011; 469(7329): 221-5.

27. Inohara N, Koseki T, del PL, Hu Y, Yee C, Chen S, et al. Nod1, an Apaf-1-like activator of caspase-9 and nuclear factor-kappaB. *J Biol Chem* 1999; 274(21): 14560-7.
28. Tada H, Aiba S, Shibata K, Ohteki T, Takada H. Synergistic effect of Nod1 and Nod2 agonists with toll-like receptor agonists on human dendritic cells to generate interleukin-12 and T helper type 1 cells. *Infect Immun* 2005; 73(12): 7967-76.
29. Ogura Y, Lala S, Xin W, Smith E, Dowds TA, Chen FF, et al. Expression of NOD2 in Paneth cells: a possible link to Crohn's ileitis. *Gut* 2003; 52(11): 1591-7.
30. Hisamatsu T, Suzuki M, Reinecker HC, Nadeau WJ, McCormick BA, Podolsky DK. CARD15/NOD2 functions as an antibacterial factor in human intestinal epithelial cells. *Gastroenterology* 2003; 124(4): 993-1000.
31. Barnich N, Aguirre JE, Reinecker HC, Xavier R, Podolsky DK. Membrane recruitment of NOD2 in intestinal epithelial cells is essential for nuclear factor- $\{\kappa\}$ B activation in muramyl dipeptide recognition. *J Cell Biol* 2005; 170(1): 21-6.
32. Hasegawa M, Yang K, Hashimoto M, Park JH, Kim YG, Fujimoto Y, et al. Differential release and distribution of Nod1 and Nod2 immunostimulatory molecules among bacterial species and environments. *J Biol Chem* 2006; 281(39): 29054-63.
33. Shaw PJ, Lamkanfi M, Kanneganti TD. NOD-like receptor (NLR) signaling beyond the inflammasome. *Eur J Immunol* 2010; 40(3): 624-7.
34. Asoodeh A, Haghparast A, Kashef R, Chamani J. Pro-Inflammatory Cytokine Responses of A549 Epithelial Cells to Antimicrobial Peptide Brevinin-2R. *Int J Pept Res Ther* 2013; 19(2): 157-62.
35. Martinon F, Burns K, Tschoopp J. The inflammasome: a molecular platform triggering activation of inflammatory caspases and processing of proIL-beta. *Mol Cell* 2002; 10(2): 417-26.
36. Letunic I, Doerks T, Bork P. SMART 6: recent updates and new developments. *Nucleic Acids Res* 2009; 37(Database issue): D229-D232.
37. Schultz J, Milpetz F, Bork P, Ponting CP. SMART, a simple modular architecture research tool: identification of signaling domains. *Proc Natl Acad Sci U S A* 1998; 95(11): 5857-64.
38. Faustin B, Lartigue L, Bruey JM, Luciano F, Sergienko E, Bailly-Maitre B, et al. Reconstituted NALP1 inflammasome reveals two-step mechanism of caspase-1 activation. *Mol Cell* 2007; 25(5): 713-24.
39. Gorfu G, Cirelli KM, Melo MB, Mayer-Barber K, Crown D, Koller BH, et al. Dual role for inflammasome sensors NLRP1 and NLRP3 in murine resistance to *Toxoplasma gondii*. *MBio* 2014; 5(1).
40. Boyden ED, Dietrich WF. Nalp1b controls mouse macrophage susceptibility to anthrax lethal toxin. *Nat Genet* 2006; 38(2): 240-4.
41. Newman ZL, Leppla SH, Moayeri M. CA-074Me protection against anthrax lethal toxin. *Infect Immun* 2009; 77(10): 4327-36.
42. Agostini L, Martinon F, Burns K, McDermott MF, Hawkins PN, Tschoopp J. NALP3 forms an IL-1beta-processing inflammasome with increased activity in Muckle-Wells autoinflammatory disorder. *Immunity* 2004; 20(3): 319-25.
43. Rathinam VA, Vanaja SK, Waggoner L, Sokolovska A, Becker C, Stuart LM, et al. TRIF licenses caspase-11-dependent NLRP3 inflammasome activation by gram-negative bacteria. *Cell* 2012; 150(3): 606-19.
44. Allen IC, Scull MA, Moore CB, Holl EK, McElvania-TeKippe E, Taxman DJ, et al. The NLRP3 inflammasome mediates in vivo innate immunity to influenza A virus through recognition of viral RNA. *Immunity* 2009; 30(4): 556-65.
45. Gross O, Poeck H, Bscheider M, Dostert C, Hanneschlagner N, Endres S, et al. Syk kinase signalling couples to the Nlrp3 inflammasome for anti-fungal host defence. *Nature* 2009; 459(7245): 433-6.
46. Mariathasan S, Weiss DS, Newton K, McBride J, O'Rourke K, Roose-Girma M, et al. Cryopyrin activates the inflammasome in response to toxins and ATP. *Nature* 2006; 440(7081): 228-32.
47. Harder J, Franchi L, Munoz-Planillo R, Park JH, Reimer T, Nunez G. Activation of the Nlrp3 inflammasome by *Streptococcus pyogenes* requires streptolysin O and NF- κ B activation but proceeds independently of TLR signaling and P2X7 receptor. *J Immunol* 2009; 183(9): 5823-9.
48. Ichinohe T, Pang IK, Iwasaki A. Influenza virus activates inflammasomes via its intracellular M2 ion channel. *Nat Immunol* 2010; 11(5): 404-10.
49. Martinon F, Petrilli V, Mayor A, Tardivel A, Tschoopp J. Gout-associated uric acid crystals activate the NALP3 inflammasome. *Nature* 2006; 440(7081): 237-41.
50. Halle A, Hornung V, Petzold GC, Stewart CR, Monks BG, Reinheckel T, et al. The NALP3 inflammasome is involved in the innate immune response to amyloid-beta. *Nat Immunol* 2008; 9(8): 857-65.

- 51.** Duewell P, Kono H, Rayner KJ, Sirois CM, Vladimer G, Bauernfeind FG, et al. NLRP3 inflammasomes are required for atherogenesis and activated by cholesterol crystals. *Nature* 2010; 464(7293): 1357-61.
- 52.** Dostert C, Petrilli V, Van Bruggen R, Steele C, Mossman BT, Tschoopp J. Innate immune activation through Nalp3 inflammasome sensing of asbestos and silica. *Science* 2008; 320(5876): 674-7.
- 53.** Cassel SL, Sutterwala FS. Sterile inflammatory responses mediated by the NLRP3 inflammasome. *Eur J Immunol* 2010; 40(3): 607-11.
- 54.** Franchi L, Munoz-Planillo R, Reimer T, Eigenbrod T, Nunez G. Inflammasomes as microbial sensors. *Eur J Immunol* 2010; 40(3): 611-5.
- 55.** Sodergren E, Weinstock GM, Davidson EH, Cameron RA, Gibbs RA, Angerer RC, et al. The genome of the sea urchin *Strongylocentrotus purpuratus*. *Science* 2006; 314(5801): 941-52.
- 56.** Iyer SS, Pulskens WP, Sadler JJ, Butter LM, Teske GJ, Ulland TK, et al. Necrotic cells trigger a sterile inflammatory response through the NLrp3 inflammasome. *Proc Natl Acad Sci U S A* 2009; 106(48): 20388-93.
- 57.** Compan V, Baroja-Mazo A, Lopez-Castejon G, Gomez AI, Martinez CM, Angosto D, et al. Cell volume regulation modulates NLRP3 inflammasome activation. *Immunity* 2012; 37(3): 487-500.
- 58.** Ghiringhelli F, Apetoh L, Tesniere A, Aymeric L, Ma Y, Ortiz C, et al. Activation of the NLRP3 inflammasome in dendritic cells induces IL-1beta-dependent adaptive immunity against tumors. *Nat Med* 2009; 15(10): 1170-8.
- 59.** Ichinohe T, Lee HK, Ogura Y, Flavell R, Iwasaki A. Inflammasome recognition of influenza virus is essential for adaptive immune responses. *J Exp Med* 2009; 206(1): 79-87.
- 60.** Kanneganti TD, Body-Malapel M, Amer A, Park JH, Whitfield J, Franchi L, et al. Critical role for Cryopyrin/Nalp3 in activation of caspase-1 in response to viral infection and double-stranded RNA. *J Biol Chem* 2006; 281(48): 36560-8.
- 61.** Ghaemi-Bafghi M, Haghparast A. Viral evasion and subversion mechanisms of the host immune system. *Zahedan J Res Med Sci* 2013; 15(10): 1-6.
- 62.** Hise AG, Tomalka J, Ganesan S, Patel K, Hall BA, Brown GD, et al. An essential role for the NLRP3 inflammasome in host defense against the human fungal pathogen *Candida albicans*. *Cell Host Microbe* 2009; 5(5): 487-97.
- 63.** Dostert C, Guarda G, Romero JF, Menu P, Gross O, Tardivel A, et al. Malarial hemozoin is a Nalp3 inflammasome activating danger signal. *PLoS One* 2009; 4(8): e6510.
- 64.** Shio MT, Eisenbarth SC, Savaria M, Vinet AF, Bellemare MJ, Harder KW, et al. Malarial hemozoin activates the NLRP3 inflammasome through Lyn and Syk kinases. *PLoS Pathog* 2009; 5(8): e1000559.
- 65.** Hornung V, Bauernfeind F, Halle A, Samstad EO, Kono H, Rock KL, et al. Silica crystals and aluminum salts activate the NALP3 inflammasome through phagosomal destabilization. *Nat Immunol* 2008; 9(8): 847-56.
- 66.** Lima-Junior DS, Costa DL, Carregaro V, Cunha LD, Silva AL, Mineo TW, et al. Inflammasome-derived IL-1beta production induces nitric oxide-mediated resistance to Leishmania. *Nat Med* 2013; 19(7): 909-15.
- 67.** Grenier JM, Wang L, Manji GA, Huang WJ, Al-Garawi A, Kelly R, et al. Functional screening of five PYPAF family members identifies PYPAF5 as a novel regulator of NF-kappaB and caspase-1. *FEBS Lett* 2002; 530(1-3): 73-8.
- 68.** Elinav E, Strowig T, Kau AL, Henao-Mejia J, Thaiss CA, Booth CJ, et al. NLRP6 inflammasome regulates colonic microbial ecology and risk for colitis. *Cell* 2011; 145(5): 745-57.
- 69.** Wang L, Manji GA, Grenier JM, Al-Garawi A, Merriam S, Lora JM, et al. PYPAF7, a novel PYRIN-containing Apaf1-like protein that regulates activation of NF-kappa B and caspase-1-dependent cytokine processing. *J Biol Chem* 2002; 277(33): 29874-80.
- 70.** Mariathasan S, Newton K, Monack DM, Vucic D, French DM, Lee WP, et al. Differential activation of the inflammasome by caspase-1 adaptors ASC and Ipaf. *Nature* 2004; 430(6996): 213-8.
- 71.** Poyet JL, Srinivasula SM, Tnani M, Razmara M, Fernandes-Alnemri T, Alnemri ES. Identification of Ipaf, a human caspase-1-activating protein related to Apaf-1. *J Biol Chem* 2001; 276(30): 28309-13.
- 72.** Miao EA, Mao DP, Yudkovsky N, Bonneau R, Lorang CG, Warren SE, et al. Innate immune detection of the type III secretion apparatus through the NLRC4 inflammasome. *Proc Natl Acad Sci U S A* 2010; 107(7): 3076-80.
- 73.** Zamboni DS, Kobayashi KS, Kohlsdorf T, Ogura Y, Long EM, Vance RE, et al. The Bircle cytosolic pattern-recognition receptor contributes to the detection and control of *Legionella pneumophila* infection. *Nat Immunol* 2006; 7(3): 318-25.
- 74.** Damm A, Lautz K, Kufer TA. Roles of

- NLRP10 in innate and adaptive immunity. *Microbes Infect* 2013; 15(6-7): 516-23.
- 75.** Wang Y, Hasegawa M, Imamura R, Kinoshita T, Kondo C, Konaka K, et al. PYNOD, a novel Apaf-1/CED4-like protein is an inhibitor of ASC and caspase-1. *Int Immunol* 2004; 16(6): 777-86.
- 76.** Lech M, Avila-Ferrufino A, Skuginna V, Susanti HE, Anders HJ. Quantitative expression of RIG-like helicase, NOD-like receptor and inflammasome-related mRNAs in humans and mice. *Int Immunol* 2010; 22(9): 717-28.
- 77.** Krishnaswamy JK, Chu T, Eisenbarth SC. Beyond pattern recognition: NOD-like receptors in dendritic cells. *Trends Immunol* 2013; 34(5): 224-33.
- 78.** Eisenbarth SC, Williams A, Colegio OR, Meng H, Strowig T, Rongvaux A, et al. NLRP10 is a NOD-like receptor essential to initiate adaptive immunity by dendritic cells. *Nature* 2012; 484(7395): 510-3.
- 79.** Roberts TL, Idris A, Dunn JA, Kelly GM, Burnton CM, Hodgson S, et al. HIN-200 proteins regulate caspase activation in response to foreign cytoplasmic DNA. *Science* 2009; 323(5917): 1057-60.
- 80.** Kawane K, Ohtani M, Miwa K, Kizawa T, Kanbara Y, Yoshioka Y, et al. Chronic polyarthritis caused by mammalian DNA that escapes from degradation in macrophages. *Nature* 2006; 443(7114): 998-1002.
- 81.** Rathinam VA, Jiang Z, Waggoner SN, Sharma S, Cole LE, Waggoner L, et al. The AIM2 inflammasome is essential for host defense against cytosolic bacteria and DNA viruses. *Nat Immunol* 2010; 11(5): 395-402.
- 82.** Kim S, Bauernfeind F, Ablasser A, Hartmann G, Fitzgerald KA, Latz E, et al. Listeria monocytogenes is sensed by the NLRP3 and AIM2 inflammasome. *Eur J Immunol* 2010; 40(6): 1545-51.
- 83.** Fernandes-Alnemri T, Yu JW, Juliana C, Solorzano L, Kang S, Wu J, et al. The AIM2 inflammasome is critical for innate immunity to Francisella tularensis. *Nat Immunol* 2010; 11(5): 385-93.
- 84.** Ge J, Gong YN, Xu Y, Shao F. Preventing bacterial DNA release and absent in melanoma 2 inflammasome activation by a Legionella effector functioning in membrane trafficking. *Proc Natl Acad Sci U S A* 2012; 109(16): 6193-8.
- 85.** Liu L, Chan C. The role of inflammasome in Alzheimer's disease. *Ageing Res Rev* 2014; 15: 6-15.
- 86.** Frackowiak J, Wisniewski HM, Wegiel J, Merz GS, Iqbal K, Wang KC. Ultrastructure of the microglia that phagocytose amyloid and the microglia that produce beta-amyloid fibrils. *Acta Neuropathol* 1992; 84(3): 225-33.
- 87.** Mueller-Steiner S, Zhou Y, Arai H, Roberson ED, Sun B, Chen J, et al. Antiamyloidogenic and neuroprotective functions of cathepsin B: implications for Alzheimer's disease. *Neuron* 2006; 51(6): 703-14.
- 88.** Lusis AJ. Atherosclerosis. *Nature* 2000; 407(6801): 233-41.
- 89.** Wright SD, Burton C, Hernandez M, Hassing H, Montenegro J, Mundt S, et al. Infectious agents are not necessary for murine atherogenesis. *J Exp Med* 2000; 191(8): 1437-42.
- 90.** Goldstein JL, Brown MS. Lipoprotein receptors, cholesterol metabolism, and atherosclerosis. *Arch Pathol* 1975; 99(4): 181-4.
- 91.** Rajamaki K, Lappalainen J, Oorni K, Valimaki E, Matikainen S, Kovánen PT, et al. Cholesterol crystals activate the NLRP3 inflammasome in human macrophages: a novel link between cholesterol metabolism and inflammation. *PLoS One* 2010; 5(7): e11765.
- 92.** Stewart CR, Stuart LM, Wilkinson K, van Gils JM, Deng J, Halle A, et al. CD36 ligands promote sterile inflammation through assembly of a Toll-like receptor 4 and 6 heterodimer. *Nat Immunol* 2010; 11(2): 155-61.
- 93.** Kleemann R, Zadelaar S, Kooistra T. Cytokines and atherosclerosis: a comprehensive review of studies in mice. *Cardiovasc Res* 2008; 79(3): 360-76.
- 94.** Febbraio M, Podrez EA, Smith JD, Hajjar DP, Hazen SL, Hoff HF, et al. Targeted disruption of the class B scavenger receptor CD36 protects against atherosclerotic lesion development in mice. *J Clin Invest* 2000; 105(8): 1049-56.
- 95.** Napoli C, de NF, Palinski W. Multiple role of reactive oxygen species in the arterial wall. *J Cell Biochem* 2001; 82(4): 674-82.
- 96.** De ND, Latz E. NLRP3 inflammasomes link inflammation and metabolic disease. *Trends Immunol* 2011; 32(8): 373-9.
- 97.** Kahn SE, Hull RL, Utzschneider KM. Mechanisms linking obesity to insulin resistance and type 2 diabetes. *Nature* 2006; 444(7121): 840-6.
- 98.** de Koning EJ, van den Brand JJ, Mott VL, Charge SB, Hansen BC, Bodkin NL, et al. Macrophages and pancreatic islet amyloidosis. *Amyloid* 1998; 5(4): 247-54.
- 99.** Masters SL, Dunne A, Subramanian SL, Hull RL, Tannahill GM, Sharp FA, et al. Activation of the NLRP3 inflammasome by islet amyloid polypeptide provides a mechanism for enhanced IL-1 β in type 2 diabetes. *Nat Immunol* 2010; 11(10): 897-904.

- 100.** Dixit VD. Nlrp3 inflammasome activation in type 2 diabetes: is it clinically relevant? *Diabetes* 2013; 62(1): 22-4.
- 101.** Feldmann J, Prieur AM, Quartier P, Berquin P, Certain S, Cortis E, et al. Chronic infantile neurological cutaneous and articular syndrome is caused by mutations in CIAS1, a gene highly expressed in polymorphonuclear cells and chondrocytes. *Am J Hum Genet* 2002; 71(1): 198-203.
- 102.** Hoffman HM, Mueller JL, Broide DH, Wanderer AA, Kolodner RD. Mutation of a new gene encoding a putative pyrin-like protein causes familial cold autoinflammatory syndrome and Muckle-Wells syndrome. *Nat Genet* 2001; 29(3): 301-5.
- 103.** Dowds TA, Masumoto J, Zhu L, Inohara N, Nunez G. Cryopyrin-induced interleukin 1beta secretion in monocytic cells: enhanced activity of disease-associated mutants and requirement for ASC. *J Biol Chem* 2004; 279(21): 21924-8.
- 104.** Brydges SD, Mueller JL, McGeough MD, Pena CA, Misaghi A, Gandhi C, et al. Inflammasome-mediated disease animal models reveal roles for innate but not adaptive immunity. *Immunity* 2009; 30(6): 875-87.
- 105.** Meng G, Zhang F, Fuss I, Kitani A, Strober W. A mutation in the Nlrp3 gene causing inflammasome hyperactivation potentiates Th17 cell-dominant immune responses. *Immunity* 2009; 30(6): 860-74.
- 106.** Ozkurede VU, Franchi L. Immunology in clinic review series; focus on autoinflammatory diseases: role of inflammasomes in autoinflammatory syndromes. *Clin Exp Immunol* 2012; 167(3): 382-90.
- 107.** Zitvogel L, Kepp O, Galluzzi L, Kroemer G. Inflammasomes in carcinogenesis and anticancer immune responses. *Nat Immunol* 2012; 13(4): 343-51.
- 108.** Tanaka T, Kohno H, Suzuki R, Yamada Y, Sugie S, Mori H. A novel inflammation-related mouse colon carcinogenesis model induced by azoxymethane and dextran sodium sulfate. *Cancer Sci* 2003; 94(11): 965-73.
- 109.** Huber S, Gagliani N, Zenewicz LA, Huber FJ, Bosurgi L, Hu B, et al. IL-22BP is regulated by the inflammasome and modulates tumorigenesis in the intestine. *Nature* 2012; 491(7423): 259-63.
- 110.** Nunes T, de Souza HS. Inflammasome in intestinal inflammation and cancer. *Mediators Inflamm* 2013; 2013: 654963.
- 111.** Salcedo R, Worschach A, Cardone M, Jones Y, Gyulai Z, Dai RM, et al. MyD88-mediated signaling prevents development of adenocarcinomas of the colon: role of interleukin 18. *J Exp Med* 2010; 207(8): 1625-36.
- 112.** Zaki MH, Vogel P, Body-Malapel M, Lamkanfi M, Kanneganti TD. IL-18 production downstream of the Nlrp3 inflammasome confers protection against colorectal tumor formation. *J Immunol* 2010; 185(8): 4912-20.
- 113.** Hu B, Elinav E, Huber S, Booth CJ, Strowig T, Jin C, et al. Inflammation-induced tumorigenesis in the colon is regulated by caspase-1 and NLRC4. *Proc Natl Acad Sci U S A* 2010; 107(50): 21635-40.
- 114.** Normand S, Delanoye-Crespin A, Bressenot A, Huot L, Grandjean T, Peyrin-Biroulet L, et al. Nod-like receptor pyrin domain-containing protein 6 (NLRP6) controls epithelial self-renewal and colorectal carcinogenesis upon injury. *Proc Natl Acad Sci U S A* 2011; 108(23): 9601-6.
- 115.** Kingsbury SR, Conaghan PG, McDermott MF. The role of the NLRP3 inflammasome in gout. *J Inflamm Res* 2011; 4: 39-49.
- 116.** Yagnik DR, Hillyer P, Marshall D, Smythe CD, Krausz T, Haskard DO, et al. Noninflammatory phagocytosis of monosodium urate monohydrate crystals by mouse macrophages. Implications for the control of joint inflammation in gout. *Arthritis Rheum* 2000; 43(8): 1779-89.
- 117.** Landis RC, Yagnik DR, Florey O, Philippidis P, Emons V, Mason JC, et al. Safe disposal of inflammatory monosodium urate monohydrate crystals by differentiated macrophages. *Arthritis Rheum* 2002; 46(11): 3026-33.
- 118.** Shi Y, Evans JE, Rock KL. Molecular identification of a danger signal that alerts the immune system to dying cells. *Nature* 2003; 425(6957): 516-21.
- 119.** Liu-Bryan R, Scott P, Sydlaske A, Rose DM, Terkeltaub R. Innate immunity conferred by Toll-like receptors 2 and 4 and myeloid differentiation factor 88 expression is pivotal to monosodium urate monohydrate crystal-induced inflammation. *Arthritis Rheum* 2005; 52(9): 2936-46.
- 120.** Jin Y, Mailloux CM, Gowan K, Riccardi SL, LaBerge G, Bennett DC, et al. NALP1 in vitiligo-associated multiple autoimmune disease. *N Engl J Med* 2007; 356(12): 1216-25.
- 121.** Martinon F, Mayor A, Tschopp J. The inflammasomes: guardians of the body. *Annu Rev Immunol* 2009; 27: 229-65.
- 122.** Jeru I, Duquesnoy P, Fernandes-Alnemri T, Cochet E, Yu JW, Lackmy-Port-Lis M, et al. Mutations in NALP12 cause hereditary periodic fever syndromes. *Proc Natl Acad Sci U S A* 2008; 105(5): 1614-9.
- 123.** Banwell V, Sena ES, Macleod MR. Systematic review and stratified meta-analysis

- of the efficacy of interleukin-1 receptor antagonist in animal models of stroke. *J Stroke Cerebrovasc Dis* 2009; 18(4): 269-76.
- 124.** Wanderer AA. Rationale for IL-1beta targeted therapy for ischemia-reperfusion induced pulmonary and other complications in sickle cell disease. *J Pediatr Hematol Oncol* 2009; 31(8): 537-8.
- 125.** Tabatabaeizadeh SE, Haghparast A. Improving the effectiveness of adjuvants: targeting innate immune receptors with a special focus on toll-like receptor agonists. *J Isfahan Med Sch* 2013; 30(214): 1986-2009. [In Persian].
- 126.** Hoffman HM. Therapy of autoinflammatory syndromes. *J Allergy Clin Immunol* 2009; 124(6): 1129-38.
- 127.** Hawkins PN, Lachmann HJ, McDermott MF. Interleukin-1-receptor antagonist in the Muckle-Wells syndrome. *N Engl J Med* 2003; 348(25): 2583-4.
- 128.** Quiniou C, Sapieha P, Lahaie I, Hou X, Brault S, Beauchamp M, et al. Development of a novel noncompetitive antagonist of IL-1 receptor. *J Immunol* 2008; 180(10): 6977-87.
- 129.** Molad Y. Update on colchicine and its mechanism of action. *Curr Rheumatol Rep* 2002; 4(3): 252-6.
- 130.** Crittenden DB, Pillinger MH. New therapies for gout. *Annu Rev Med* 2013; 64: 325-37.
- 131.** Lamkanfi M, Mueller JL, Vitari AC, Misaghi S, Fedorova A, Deshayes K, et al. Glyburide inhibits the Cryopyrin/Nalp3 inflammasome. *J Cell Biol* 2009; 187(1): 61-70.

Inflammasomes and Their Role in Diseases

Amin Tavassoli MSc¹, Alireza Haghparast DVM, PhD²

Review Article

Abstract

Inflammasomes are cytosolic receptors which can detect microbial pathogens and endogenous danger signals resulting from stress or cell damages. Inflammasome complexes are either formed in cytosol by NOD (nucleotide-binding oligomerization domain)-like receptor (NLRs) family or the absent in melanoma 2 (Aim2) protein, a member of PYHIN (pyrin and HIN domain-containing protein) family. Inflammasome activation leads to the activation of caspase 1, which in turns leads to the maturation of pro-inflammatory cytokines. In this review, first the structural features and biological functions of different types of inflammasomes will be discussed and then we will focus on the molecular mechanisms of inflammasomes in several diseases pathogenesis. Understanding these mechanisms will provide us with valuable information underlying disease pathogenesis as well as development of new and effective therapeutic and preventive strategies to combat these disorders.

Keywords: Inflammasomes, NLRP3, Atherosclerosis, Gout

Citation: Tavassoli A, Haghparast A. Inflammasomes and Their Role in Diseases. J Isfahan Med Sch 2014; 32(304): 1668-89

1- PhD Candidate, Department of Biotechnology, School of Veterinary Medicine, Ferdowsi University of Mashhad, Mashhad, Iran
2- Assistant Professor, Department of Immunology and Biotechnology, School of Veterinary Medicine AND Institute of Biotechnology, Ferdowsi University of Mashhad, Mashhad, Iran

Corresponding Author: Alireza Haghparast DVM, PhD, Email: haghparast@um.ac.ir

بررسی میزان فراوانی استافیلوکوکوس‌های اورئوس جدا شده از سواب بینی کودکان مهدهای کودک اصفهان

دکتر حمید رحیمی^۱، دکتر مژگان لقمانی^۲، پریسا شعاعی^۳، رامین دیباچ^۴، دکتر بهروز عطایی^۵، عباس داعی ناصر^۶، دکتر حسن شجاعی^۷

مقاله کوتاه

چکیده

مقدمه: کلونیزاسیون استافیلوکوکوس اورئوس به عنوان یک عامل خطر مهم در انتقال و به دنبال آن ایجاد عفونت توسط این باکتری به شمار می‌رود. از سوی دیگر، بینی به عنوان مهم‌ترین جایگاه بدن از لحاظ کلونیزاسیون با این باکتری می‌باشد. میزان ناقلین بینی با استافیلوکوکوس اورئوس در مکان‌هایی که افراد در تماس نزدیک با هم قرار دارند مانند مهدهای کودک بیشتر است. در این مطالعه بر آن شدیم تا میزان کلونیزاسیون استافیلوکوکوس اورئوس در نمونه‌های سواب بینی گرفته شده از کودکان مهدهای کودک شهر اصفهان را تعیین نماییم.

روش‌ها: این مطالعه به صورت یک مطالعه مقطعی در سطح مهدهای کودک شهر اصفهان بین کودکان ۲-۶ ساله در سال ۱۳۸۷ به انجام رسید. اطلاعات اجتماعی و دموگرافیک کودکان مورد مطالعه توسط پژوهشگر و از والدین کودکان جمع‌آوری شدند. از روش‌های استاندارد میکروبیولوژی نیز برای جداسازی استافیلوکوکوس اورئوس از سواب‌های بینی گرفته شده از کودکان مورد مطالعه مورد استفاده شد. در نهایت، از آزمون β برای تجزیه و تحلیل آماری داده‌ها استفاده شد.

یافته‌ها: از ۳۲۳ نمونه سواب بینی جمع‌آوری شده از کودکان، ۱۱۵، ۳۵/۶ (درصد) نفر با استافیلوکوکوس اورئوس کلونیزه شده بودند. همچنین، میانگین سن کودکان استافیلوکوکوس اورئوس منفی ($5/7 \pm 1/0$ سال) به طور معنی‌داری بالاتر از کودکان استافیلوکوکوس اورئوس مثبت ($8/0 \pm 5/0$ سال) بود ($P < 0.001$).

نتیجه‌گیری: کلونیزاسیون بیش از یک سوم کودکان مورد مطالعه نشان دهنده آلودگی بالای کودکان ایرانی با استافیلوکوکوس اورئوس است که با دیگر مطالعات انجام گرفته در سایر کشورها قابل مقایسه می‌باشد. این شیوع بالا به عنوان یک هشدار، لزوم طراحی و انجام مطالعات دقیق‌تر در ارتباط با تعیین نوع و بررسی نحوه انتقال باکتری در بین کودکان را پیش از پیش آشکار می‌سازد.

وازگان کلیدی: استافیلوکوکوس اورئوس، ناقلین بینی، کودکان

ارجاع: رحیمی حمید، لقمانی مژگان، شعاعی پریسا، دیباچ رامین، عطایی بهروز، داعی ناصر عباس، شجاعی حسن. بررسی میزان فراوانی استافیلوکوکوس‌های اورئوس جدا شده از سواب بینی کودکان مهدهای کودک اصفهان. مجله دانشکده پزشکی اصفهان ۳۲؛ ۱۳۹۳: ۳۰۴-۱۶۹۷.

(۳۰۴): ۱۶۹۷-۱۶۹۰

۱- استادیار، گروه کودکان، دانشکده پزشکی، دانشگاه علوم پزشکی اصفهان، اصفهان، ایران

۲- گروه کودکان دانشکده پزشکی، دانشگاه علوم پزشکی اصفهان، اصفهان، ایران

۳- مرکز تحقیقات بیماری‌های عفونی و گرم‌سیری، دانشگاه علوم پزشکی اصفهان، اصفهان، ایران

۴- کارشناس ارشد، مرکز تحقیقات عفونت‌های بیمارستانی، دانشگاه علوم پزشکی اصفهان، اصفهان، ایران

۵- دانسیار، مرکز تحقیقات بیماری‌های عفونی و گرم‌سیری، دانشگاه علوم پزشکی اصفهان، اصفهان، ایران

۶- استاد، مرکز تحقیقات بیماری‌های عفونی و گرم‌سیری، دانشگاه علوم پزشکی اصفهان، اصفهان، ایران

۷- نویسنده مسؤول: دکتر حسن شجاعی

Email: h_shojaei@idrc.mui.ac.ir

مقدمه

دیگر نقاط بدن نیز می‌شود (۷-۸). میزان ناقلين بینی در مورد این باکتری در محیط بیمارستان و جامعه، می‌تواند از ۱۰-۴۰ درصد باشد. ناقلين مزمن بینی، همواره جمعیت‌هایی مانند بیماران دارای دوملهای راجعه، بیماران تحت عملیات‌های پزشکی مانند همودیالیز مزمن و بیماران تحت عمل جراحی را در معرض خطر قرار می‌دهند و می‌توانند باعث انتقال عفونت به افراد مستعد شوند (۹-۱۰). کلونیزاسیون استافیلولوکوکوس اورئوس بیشتر در مکان‌های بسته مانند مهدهای کودک و سربازخانه‌ها که افراد در تماس نزدیک به هم قرار دارند، بیشتر است (۱۱).

از سوی دیگر، مطالعات نشان می‌دهد میزان کلونیزاسیون استافیلولوکوکوس اورئوس در بچه‌ها نسبت به بالغین بیشتر است و همزیستی با بچه‌ها باعث افزایش کلونیزاسیون آن در بالغین می‌شود و به طور غیر مستقیم، باعث گردش باکتری در سطح جامعه و بیمارستان می‌گردد (۱۰-۱۱).

با توجه به اهمیت نقش کودکان و مهدهای کودک در انتقال استافیلولوکوکوس اورئوس و عدم انجام مطالعه‌ای در این زمینه در سطح شهر اصفهان، مطالعه‌ی حاضر با هدف تعیین میزان فراوانی استافیلولوکوکوس اورئوس در بینی بچه‌های مهدهای کودک شهر اصفهان و نیز بررسی رابطه‌ی بین کلونیزاسیون استافیلولوکوکوس اورئوس و عواملی مانند سن و جنس انجام شد.

روش‌ها

این مطالعه به صورت یک مطالعه‌ی مقطعی در سطح شهر اصفهان در سال ۱۳۸۷ به انجام رسید. روش

استافیلولوکوکوس اورئوس، کوکسی گرم مثبت و بی‌هوای اختیاری است که مهم‌ترین گونه در جنس استافیلولوکوک از نظر پزشکی به شمار می‌رود (۱). استافیلولوکوکوس اورئوس طیف وسیعی از بیماری‌ها شامل عفونت‌های پوستی مانند فولیکولیت تا بیماری‌های تهدید کننده‌ی زندگی مانند استئومیلیت و سپسیس را ایجاد می‌کند. علاوه بر این، استافیلولوکوکوس اورئوس به دلیل توکسین زا بودن می‌تواند نقاط بسیار دورتر از محل کولونیزه شدن را مورد تهاجم قرار دهد و باعث ایجاد بیماری گردد. غالب این توکسین‌ها به حرارت مقاوم هستند و حتی با از بین رفتن باکتری مولد، همچنان قادر به تولید بیماری می‌باشند. ایجاد بیماری‌های بسیار متنوع در انسان و همچنین قدرت بالای این پاتوژن برای کسب مقاومت دارویی، حاکی از توانایی بسیار بالای این باکتری برای تطابق و بقا در طبیعت می‌باشد (۲).

استافیلولوکوکوس اورئوس می‌تواند به عنوان فلور موقعت یا دائمی در بدن انسان کلونیزه گردد (۳-۴). مهم‌ترین قسمتی از بدن انسان که می‌تواند توسط باکتری کلونیزه گردد، منخرین جلویی بینی می‌باشد. علاوه بر آن، چین‌های پوستی در ناحیه‌ی کشاله‌ی ران، پرینه، زیر بغل و واژن نیز از جمله مناطقی از بدن انسان هستند که توسط این باکتری کلونیزه می‌شوند (۱).

به طور کلی، مطالعات نشان می‌دهد که کلونیزاسیون افراد توسط استافیلولوکوکوس اورئوس به عنوان یک عامل خطر مهم در انتقال و به دنبال آن ایجاد عفونت به شمار می‌رود (۵-۶). در این میان، اهمیت کلونیزاسیون بینی از آن جهت است که مطالعات نشان می‌دهد ریشه‌کنی باکتری از ناحیه‌ی بینی باعث حذف آن از

تجزیه و تحلیل آماری داده‌ها با نرم‌افزار SPSS نسخه‌ی ۱۶ (version 16, SPSS Inc., Chicago, IL) به انجام رسید و آزمون آماری χ^2 جهت مقایسه‌ی بین داده‌های کیفی مورد استفاده قرار گرفت.

یافته‌ها

ایزوله‌های بالینی استافیلوکوکوس اورئوس مورد بررسی

در مطالعه‌ی حاضر، تعداد ۳۲۳ کودک مورد بررسی قرار گرفتند. میانگین سنی این کودکان $10 \pm 5/3$ سال بود. دامنه‌ی سنی کودکان مورد بررسی در این مطالعه، ۲–۶ سال بود که در سه گروه زیر ۵ سال، ۵ سال و ۶ سال گروه‌بندی شدند. اطلاعات مربوط به گروه‌بندی افراد، جنس و مدت زمان حضور در مهد کودک در جدول ۱ آمده است. میانگین تعداد افراد هر خانواده، $49/5 \pm 4/0$ نفر بود؛ بدین معنی که ۱۶۰ کودک در (درصد) در خانواده‌های ۳ نفره، ۱۳۶ نفر (درصد) در خانواده‌های ۴ نفره و ۲۷ نفر (درصد) در خانواده‌های ۵ نفره و یا بیشتر زندگی می‌کردند.

میزان فراوانی کلوبیزاسیون استافیلوکوکوس اورئوس در بینی کودکان

از ۳۲۳ کودک، تعداد ۱۱۵ نفر (۳۵/۶ درصد) در بینی با استافیلوکوکوس اورئوس کولونیزه شده بودند. جدول ۱ میزان فراوانی استافیلوکوکوس اورئوس را بر حسب جنس، گروه سنی، مدت زمان حضور در مهد کودک و ارتباط شغلی والدین نشان می‌دهد. بر اساس این جدول، از لحاظ توزیع فراوانی استافیلوکوکوس اورئوس بر حسب گروه سنی، بیشترین میزان آلدگی در بچه‌های ۵ ساله با ۵۵ نفر

نمونه‌گیری خوشبای دو مرحله‌ای برای جمع‌آوری نمونه‌ها مورد استفاده قرار گرفت. ۱۵ مهد کودک از نقاط مختلف اصفهان انتخاب و از هر کدام، ۲۴ کودک از بین کودکان ۲–۶ ساله به صورت تصادفی به نسبت مساوی بین دختر و پسر برای این مطالعه انتخاب شدند. والدین کودکان به طور داوطلبانه و با رضایت‌نامه‌ی کتبی در این مطالعه شرکت کردند. همچنین این تحقیق مورد تأیید کمیته‌ی اخلاق معاونت پژوهشی دانشگاه علوم پزشکی اصفهان قرار گرفت.

اطلاعات مربوط به ویژگی‌هایی مانند سن، جنس، تعداد افراد خانواده، مدت زمان حضور در مهد کودک و شغل والدین کودکان مورد مطالعه توسط پژوهشگر و از والدین کودکان جمع‌آوری شد.

از هر کودک، دو نمونه سواب بینی از منخرین جلویی بینی جمع‌آوری و در محیط agar Blood کشت داده شد و برای جداسازی استافیلوکوکوس اورئوس با استفاده از روش‌های مرسوم میکروب‌شناسی، به مرکز تحقیقات بیماری‌های عفونی و گرم‌سیری دانشگاه علوم پزشکی اصفهان انتقال یافت.

برای جداسازی اولیه‌ی استافیلوکوکوس اورئوس از نمونه‌های سواب بینی، ابتدا از محیط نوترینت آگار (Nutrient agar) استفاده شد. کلینی‌های مشکوک به استافیلوکوکوس با استفاده از روش رنگ‌آمیزی گرم مورد بررسی قرار گرفتند. برای تعیین هویت ایزوله‌هایی که دارای آرایش خوشبای در لام گرم بودند، از آزمایش‌های کاتالاز، حساسیت به فورازولیدون، لیزواتستافین، آزمایش کلمپینگ فاکتور (Clumping factor) و کواگولاز در لوله، آزمایش DNase و آزمایش تخمیر مانیتول استفاده شد (۱).

ویژگی‌های میکروب‌شناسی استافیلوکوکوس

اورئوس جدا شده از بینی کودکان

۱۱۵ ایزوله‌ی استافیلوکوکوس اورئوس از بینی کودکان تحت بررسی جداسازی و بر اساس آزمایش‌های بیوشیمیایی، ویژگی‌های فنوتیپیک و خصوصیات رشد تعیین هویت شدند. تمامی ایزوله‌های شناسایی شده‌ی استافیلوکوکوس اورئوس، دارای آرایش خوش در لام گرم (ثبت)، کاتالاز مثبت، حساس به دیسک $100\text{ }\mu\text{g}$ فورازولیدون، هاله‌ی عدم رشد $10-16\text{ mm}$ با استفاده از دیسک $10\text{ }\mu\text{g}$ لیزوستافین، واکنش مثبت در آزمایش‌های کلمپینگ فاکتور (Clumping factor) و کواگولاز لوله ای، واکنش مثبت در آزمایش DNase و دارای قدرت تخمیر مانیتول بودند.

همچنین، ۳۰ ایزوله‌ی استافیلوکوکوس کواگولاز منفی و ۱۲ ایزوله‌ی سودوموناس اثروژینوزا از ۳۲۳ کودک جداسازی و بر اساس آزمایش‌های بیوشیمیایی تعیین هویت گردیدند که از مطالعه حذف گردیدند.

۴۷/۸ درصد) مشاهده شد.

میانگین سنی کودکان کولونیزه شده و غیر کولونیزه با استافیلوکوکوس اورئوس در بینی به ترتیب $5/0 \pm 0/8$ سال و $5/7 \pm 1/0$ سال بود که از لحاظ آماری، میانگین سن کودکان غیر کولونیزه به طور معنی‌داری بالاتر از کودکان کولونیزه بود ($P < 0/001$).

از نظر جنسیتی، ۵۲ نفر (۳۴/۴۳ درصد) از پسران و ۶۳ نفر (۳۶/۶ درصد) از دختران با استافیلوکوکوس اورئوس کولونیزه شده بودند که از لحاظ آماری، اختلاف معنی‌داری از لحاظ جنسیتی بین افراد کلوبنیزه وجود نداشت ($P = 0/680$) (جدول ۱).

از لحاظ میانگین بعد خانوار ($P = 0/820$)، ارتباط شغلی والدین ($P = 0/630$) و میانگین مدت حضور در مهد کودک برای کودکان ($P = 0/860$) و کلوبنیزاسیون استافیلوکوکوس اورئوس نیز ارتباط آماری معنی‌داری بین افراد کلوبنیزه شده وجود نداشت (جدول ۱).

جدول ۱. توزیع فراوانی کلوبنیزاسیون استافیلوکوکوس اورئوس در بینی کودکان مورد مطالعه

متغیر	جمع کل	عداد نمونه‌های کلوبنیزه شده (درصد)	عداد نمونه‌های کلوبنیزه نشده (درصد)	تعداد کل نمونه‌ها (درصد)
جنس	مذکر	۵۲ (۴۵/۲۱)	۹۹ (۴۷/۶۰)	۱۵۱ (۴۶/۷۴)
مذکور	مؤنث	۶۳ (۵۴/۸۰)	۱۰۹ (۵۲/۴۰)	۱۷۲ (۵۳/۲۵)
سن (سال)	۱-۵	۲۸ (۲۴/۴۰)	۱۵ (۷/۲۰)	۴۳ (۱۳/۳۰)
۱	۵	۵۵ (۴۷/۸۰)	۷۰ (۳۳/۷۰)	۱۲۵ (۳۸/۷۰)
۶	۲	۳۲ (۲۷/۸۰)	۱۲۳ (۵۹/۱۰)	۱۵۵ (۴۸/۱۰۰)
میانگین مدت زمان	۱	۷۶ (۶۶/۱۰)	۱۳۴ (۶۴/۵۰)	۲۱۰ (۶۵/۰۰)
۲	۲	۲۵ (۲۱/۷۰)	۵۰ (۲۴/۰۰)	۷۵ (۲۳/۲۰)
(سال)	۴<	۱۴ (۱۲/۲۰)	۲۴ (۱۱/۵۰)	۳۸ (۱۱/۸۰)
ارتباط شغلی والدین	مرتبط با امور پزشکی	۱۸ (۱۵/۶۰)	۳۷ (۱۷/۷۸)	۵۵ (۱۷/۰۰)
عدم ارتباط با امور پزشکی	جمع کل	۹۷ (۸۴/۳۴)	۱۷۱ (۸۲/۲۱)	۲۶۸ (۸۳/۰۰)
		۱۱۵ (۳۵/۶۰)	۲۰۸ (۶۴/۳۹)	۳۲۳

آن اماکن، کودکان در تماس نزدیک به هم قرار دارند. آلدگی بیش از یک سوم افراد مورد مطالعه، به دلیل نقش بالای آن در انتقال باکتری به دیگران باید مورد توجه قرار بگیرد. در این مطالعه، سن کودکان حاوی استافیلولوکوکوس اورئوس به طور معنی داری پایین تر از کودکان استافیلولوکوکوس اورئوس منفی بود که این می تواند ناشی از عدم رعایت بهداشت فردی در کودکان با سن پایین تر به دلیل عدم آشنایی با مسایل بهداشتی باشد. در مطالعه‌ی گرگان نیز به این مسئله اشاره شده است (۱۲).

طبق نتایج به دست آمده از این تحقیق رابطه‌ی معنی داری بین جنس و کلونیزاسیون استافیلولوکوکوس اورئوس وجود نداشت. در مطالعات مختلف، رابطه‌ی بین جنس و کلونیزاسیون استافیلولوکوکوس اورئوس همواره مورد بررسی قرار گرفته است که نتایج متفاوتی در برداشته است. در مطالعه‌ای در تایوان، میزان کلونیزاسیون افراد مؤنث به طور معنی داری بالاتر بود (۱۷)؛ اما در تحقیقی دیگر در لبنان، این میزان در افراد مذکور به طور معنی داری بالا بود (۱۸). در مطالعات بسیاری همانند مطالعه‌ی حاضر، رابطه‌ی معنی داری بین کلونیزاسیون استافیلولوکوکوس اورئوس و جنس تأیید نشده است. از جمله می توان به مطالعه‌ی تبرایی و همکاران (۱۲) در گرگان و همچنین، Dey و همکاران (۱۶) در هند اشاره نمود. از لحاظ سایر عوامل مورد بررسی مانند ارتباط شغلی والدین و بعد خانوار نیز ارتباط معنی داری با کلونیزاسیون استافیلولوکوکوس اورئوس به دست نیامد. این می تواند بیانگر نقش مهم محیط مهد کودک نسبت به محیط منزل در انتقال این باکتری باشد. در نهایت، می توان چنین نتیجه گیری کرد که محیط مهد

بحث

استافیلولوکوکوس اورئوس از دیرباز به عنوان یکی از عوامل ایجاد عفونت‌های مختلف در انسان‌ها شناخته شده است. همچنین مقاومت آنتی‌بیوتیکی استافیلولوکوکوس اورئوس نیز از عواملی است که باعث شده است که عفونت‌های استافیلولوکوکی به عنوان یک چالش جهانی مطرح باشند (۱، ۳-۴).

در این مطالعه، از ۳۲۳ نمونه سواب بینی ۱۱۵ نمونه (۳۵/۶ درصد) حاوی استافیلولوکوکوس اورئوس بودند که میزان بالای کلونیزاسیون با استافیلولوکوکوس اورئوس در مطالعه‌ی حاضر، تأییدی بر دیگر مطالعات انجام یافته در این زمینه است که در ادامه به مواردی از آن‌ها اشاره می‌شود.

در مطالعه‌ای در گرگان میزان کلونیزاسیون استافیلولوکوکوس اورئوس در بچه‌های سالم ۶-۱۲ ساله در مدرسه، ۱۶/۳ درصد بود (۱۲). صدیقی و همکاران در مطالعه‌ی دیگری میزان کلونیزاسیون استافیلولوکوکوس اورئوس در نمونه‌های گرفته شده از بینی کودکان در یک مرکز نگهداری در همدان را ۲۹/۶ درصد گزارش نمودند (۱۳). در تحقیقی دیگر ژاپنی نژاد و همکاران در ارک، ۷۰۰ نمونه سواب بینی از دانشآموزان بدون علیم بیماری را از جهت کلونیزاسیون با استافیلولوکوکوس اورئوس مورد بررسی قرار دادند که ۲۲ درصد از آن‌ها با این باکتری کلونیزه شده بودند (۱۴).

Okwu و همکاران در مطالعه‌ی خود میزان کلونیزاسیون استافیلولوکوکوس اورئوس در کودکان در سن قبل از مدرسه را ۱۸/۳ درصد تعیین کردند (۱۵). نتایج مطالعه‌ی حاضر و سایر مطالعات، کلونیزاسیون بالای کودکان را در محیط‌های بسته مانند مهد‌های کودک و مدارس نشان می‌دهد؛ که در

به بچه‌ها به دلیل نقش غیر قابل انکار آن‌ها در انتقال باکتری به افراد دیگر و در نتیجه، گردش باکتری در سطح جامعه می‌باشد.

تشکر و قدردانی

این مقاله برگرفته از طرح تحقیقاتی شماره‌ی ۲۸۷۱۰۰ مصوب مرکز تحقیقات بیماری‌های عفونی و گرم‌سیری دانشگاه علوم پزشکی اصفهان می‌باشد. بدین وسیله از تمامی همکاران مرکز بیماری‌های عفونی و گرم‌سیری مرکز تحقیقات حضرت صدیقه طاهره (س) دانشگاه علوم پزشکی اصفهان که در انجام این پژوهش صمیمانه ما را یاری رساندند، سپاسگزاری می‌شود.

کودک به عنوان یک مکان مهم برای کلینیزاسیون استافیلوکوکوس اورئوس به شمار می‌رود و آموزش کودکان برای رعایت بهداشت و همچنین رعایت بهداشت از سوی دست اندر کاران مهدهای کودک، می‌تواند نقش مهمی در جلوگیری از شیوع استافیلوکوکوس اورئوس در بین کودکان و انتقال آن به سایر افراد در جامعه داشته باشد.

مطالعه‌ی حاضر در نوع خود تنها مطالعه‌ی انجام گرفته برای بررسی کلینیزاسیون استافیلوکوکوس اورئوس در سطح مهدهای کودک در اصفهان می‌باشد. فراوانی بالای استافیلوکوکوس اورئوس در کودکان نشان دهنده‌ی اهمیت بالای رعایت بهداشت توسط مسؤولین مهدهای کودک و آموزش بهداشت

References

1. Topley WWC, Wilson SGS, Mahy BWJ. *Topley and Wilson's microbiology and microbial infections*. 10th ed. London, UK: Hodder Arnold; 2005.
2. Lowy FD. *Staphylococcus aureus infections*. N Engl J Med 1998; 339(8): 520-32.
3. Cheng IL, Kanungo S, Schwartz A, McIntyre A, Schreckenberger PC, Diaz PS. Prevalence of *Streptococcus pneumoniae* and *Staphylococcus aureus* nasopharyngeal colonization in healthy children in the United States. Epidemiol Infect 2004; 132(2): 159-66.
4. Boyce JM. Are the epidemiology and microbiology of methicillin-resistant *Staphylococcus aureus* changing? JAMA 1998; 279(8): 623-4.
5. Huang YC, Chou YH, Su LH, Lien RI, Lin TY. Methicillin-resistant *Staphylococcus aureus* colonization and its association with infection among infants hospitalized in neonatal intensive care units. Pediatrics 2006; 118(2): 469-74.
6. von EC, Becker K, Machka K, Stammer H, Peters G. Nasal carriage as a source of *Staphylococcus aureus* bacteremia. Study Group. N Engl J Med 2001; 344(1): 11-6.
7. Kluytmans J, van Belkum A, Verbrugh H. Nasal carriage of *Staphylococcus aureus*: epidemiology, underlying mechanisms, and associated risks. Clin Microbiol Rev 1997; 10(3): 505-20.
8. Miller LG, Diep BA. Clinical practice: colonization, fomites, and virulence: rethinking the pathogenesis of community-associated methicillin-resistant *Staphylococcus aureus* infection. Clin Infect Dis 2008; 46(5): 752-60.
9. Graham PL, III, Lin SX, Larson EL. A U.S. population-based survey of *Staphylococcus aureus* colonization. Ann Intern Med 2006; 144(5): 318-25.
10. Kuehnert MJ, Kruszon-Moran D, Hill HA, McQuillan G, McAllister SK, Fosheim G, et al. Prevalence of *Staphylococcus aureus* nasal colonization in the United States, 2001-2002. J Infect Dis 2006; 193(2): 172-9.
11. Wang JT, Liao CH, Fang CT, Chie WC, Lai MS, Lauderdale TL, et al. Prevalence of and risk factors for colonization by methicillin-resistant *Staphylococcus aureus* among adults in community settings in Taiwan. J Clin Microbiol 2009; 47(9): 2957-63.
12. Tabbarai A, Ghaemi E, Fazeli MR, Bakhshandeh Nosrat S, Behnampour N, Basori M. Prevalence of *Staphylococci aureus* nasal carrier in healthy school students in Gorgan. J Gorgan Uni Med Sci 2001, 3(2): 6-11 2001; 3(2): 6-11. [In Persian].

- 13.** Sedighi I, Moez HJ, Alikhani MY. Nasal carriage of methicillin resistant *Staphylococcus aureus* and their antibiotic susceptibility patterns in children attending day-care centers. *Acta Microbiol Immunol Hung* 2011; 58(3): 227-34.
- 14.** Japoni-Nejad A, Rezazadeh M, Kazemian H, Fardmousavi N, van Belkum A, Ghaznavi-Rad E. Molecular characterization of the first community-acquired methicillin-resistant *Staphylococcus aureus* strains from Central Iran. *Int J Infect Dis* 2013; 17(11): e949-e954.
- 15.** Okwu M, Bamgbala S, Aborisade W. Prevalence of nasal carriage of community-associated methicillin-resistant *staphylococcus aureus* (CA-MRSA) among healthy primary school children in Okada, Nigeria. *Journal of Natural Sciences Research* 2012; 2(4): 61-5.
- 16.** Dey S, Rosales-Klitz S, Shouche S, Pathak JP, Pathak A. Prevalence and risk factors for nasal carriage of *Staphylococcus aureus* in children attending anganwaries (preschools) in Ujjain, India. *BMC Res Notes* 2013; 6: 265.
- 17.** Lo WT, Wang CC, Lin WJ, Wang SR, Teng CS, Huang CF, et al. Changes in the nasal colonization with methicillin-resistant *Staphylococcus aureus* in children: 2004-2009. *PLoS One* 2010; 5(12): e15791.
- 18.** Halablab MA, Hijazi SM, Fawzi MA, Araj GF. *Staphylococcus aureus* nasal carriage rate and associated risk factors in individuals in the community. *Epidemiol Infect* 2010; 138(5): 702-6.

A Study on Frequency of Nasal Staphylococcus Aureus Colonization in Children from Kindergartens in Isfahan City, Iran

Hamid Rahimi MD¹, Mojgan Loghmani MD², Parisa Shoaei MSc³, Ramin Dibaj MSc⁴, Behrouz Ataei MD⁵, Abbas Daei-Naser³, Hasan Shojaei PhD⁶

Short Communication

Abstract

Background: Colonization of *Staphylococcus aureus* causes a significantly greater risk for transmission and development of subsequent infections. The nose appears to be the most important site for this colonization. Colonization of *Staphylococcus aureus* is more prevalent in places where people are in close contact, such as kindergartens. In current study, we evaluated the frequency of colonization of *Staphylococcus aureus* in nasal swab samples taken from children in kindergartens of Isfahan city, Iran.

Methods: In this across-sectional study carried out in 2009, children aged 2-6 years were included. The socio-demographic information was collected by the help of their parents. *Staphylococcus aureus* was isolated and identified from nasal swabs via standard microbiologic methods. The chi-square method was used for statistical analysis.

Findings: Out of 323 nasal swabs taken from children, *Staphylococcus aureus* strains were isolated and identified from 115 (35.6%) samples. In addition, the median age of *Staphylococcus aureus* negative children (5.7 ± 1.0 years) was higher than the positive ones (5.0 ± 0.8 years) ($P < 0.001$).

Conclusion: Our data showed that almost one third of children were colonized by the nasal *Staphylococcus aureus*. This indicates a high prevalence in Iranian children comparable to that of findings from other countries. The high prevalence found in this study could be alarming for more studies using more advanced techniques to assign the types and mode of transmission among children.

Keywords: *Staphylococcus aureus*, Nasal carriage, Children

Citation: Rahimi H, Loghmani M, Shoaei P, Dibaj R, B, Daei Naser A, et al. A Study on Frequency of Nasal Staphylococcus Aureus Colonization in Children from Kindergartens in Isfahan City, Iran. J Isfahan Med Sch 2014; 32(304): 1690-7

1- Assistant Professor, Department of Pediatrics, School of Medicine, Isfahan University of Medical Sciences, Isfahan, Iran

2- Department of Pediatrics, School of Medicine, Isfahan University of Medical Sciences, Isfahan, Iran

3- Infectious Diseases and Tropical Medicine Research Center, Isfahan University of Medical Sciences, Isfahan, Iran

4- Nosocomial Diseases Research Center, Isfahan University of Medical Sciences, Isfahan, Iran

5- Associate Professor, Infectious Diseases and Tropical Medicine Research Center, Isfahan University of Medical Sciences, Isfahan, Iran

6- Professor, Infectious Diseases and Tropical Medicine Research Center, Isfahan University of Medical Sciences, Isfahan, Iran

Corresponding Author: Hasan Shojaei PhD, Email: h_shojaei@idrc.mui.ac.ir

errors author should verify references against the original documents. The Reference should provide the following information as stated in the presented models as follows:

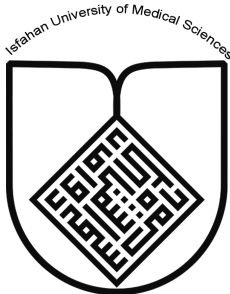
- a. **Article:** Rose ME, Huerbin MB, Melick J, Marion DW, Palmer AM, Schiding JK, et al. Regulation of interstitial excitatory amino acid concentrations after cortical contusion injury. *Brain Res.* 2002;935(1-2):40-6.
 - b. **Chapter in a book:** Meltzer PS, Kallioniemi A, Trent JM. Chromosome alterations in human solid tumors. In: Vogelstein B, Kinzler KW, editors. *The genetic basis of human cancer*. New York: McGraw-Hill; 2002. p. 93-113.
 - c. **Book:** Murray PR, Rosenthal KS, Kobayashi GS, Pfaller MA. *Medical microbiology*. 4th ed. St. Louis: Mosby; 2002.
14. **Proof Reading:** A computer prints out is sent to the corresponding author for proof reading before publication in order to avoid any mistakes. Corrections should be marked clearly and sent immediately to the Journal office.
 15. **Abbreviations and symbols:** Use only standard abbreviations. **Avoid using them in the title and abstract.** The full term for which an abbreviation stands should precede its first use in the text unless it is a standard unit of measurement.
 16. The **corresponding author:** Will be supplied with 1 free issue.
 17. **Ethical guidelines:** Ethical considerations must be addressed in the Materials and Methods. Please state that **informed consent** was obtained from all human adult participants and from the parents or legal guardians of minors. Include the name of the appropriate institutional review board that approved the project. Indicate in the text that the maintenance and care of experimental animals complies with National Institutes of Health guidelines for the humane use of laboratory animals, or those of your Institute or agency.
 18. **Conflicts of interest:** Authors must acknowledge and declare any sources of funding and potential conflicting interest, such as receiving funds or fees by, or holding stocks and shares in, an organization that may profit or lose through publication of your paper. Declaring a competing interest will not lead to automatic rejection of the paper, but we would like to be made aware of it.
 19. **Page charges:** There are no charges for publication in this Journal.
 20. **Copyright:** The entire contents of the Journal of Isfahan Medical School are protected under international copyrights. This Journal is for your personal noncommercial use. You may not modify copy, distribute, transmit, display, or publish any materials contained on the Journal without the prior written permission of it or the appropriate copyright owner.
 21. **Peer review process:** All manuscripts are considered to be confidential. They are peer-reviewed by at least 3 anonymous reviewers selected by the Editorial Board. The corresponding author is notified as soon as possible of the editor decision to accept, reject, or require modifications. If the manuscript is completely acceptable according to the criteria set forth in these instructions, it is scheduled for the next available issue.
 22. Journal has entire right for accept or reject any of received manuscripts.
 23. The editors, editorial board, sponsoring organization, and publisher do not accept responsibility for the statements expressed by authors in their contributions.
 24. **Communicating with the Editorial Office:** We encourage you to communicate with the JIMS Editorial Office and to check on the status of a manuscript via journal site: (<http://journals.mui.ac.ir/jims>) only. For more in formations you can contact with JIMS office via E-mail address (jims@med.mui.ac.ir).

INSTRUCTION TO AUTHORS

1. **Aims and Scope:** The Journal of Isfahan Medical School is the official scientific **weekly** publication of the Faculty of Medicine in Isfahan Medical Sciences University.
This Journal accepts Original Papers, Review Articles, Case Reports, Short Communications, Educational Medical Video Clips and Letters to the Editor on all aspects of medicine.
2. **Manuscript Submission is acceptable only via Journal URL: <http://journals.mui.ac.ir/jims>**
Manuscript must be accompanied by a covering letter to the Editor-in-Chief, including title and author(s) name and undertaking that it has not been published or submitted elsewhere. In case the manuscript was earlier submitted to some other Journal and was rejected, the authors must provide full information for proper analysis. Manuscript should be typed in double space of the A-4 size paper with clear margins on both sides. The text should be submitted in Microsoft Word format only. Tables as well as illustrations should be typed and drawn on a separate pages. Do not submit tables as photographs.
The figures should be sent in a format of JPEG or GIF which will produce high quality images in the online edition of the journal. Authors must declare that it is being exclusively contributed to the Journal of Isfahan Medical School.
3. The manuscript should include: **Title page, the Abstract** (in both Farsi and English), **Introduction, Materials & Methods, Results, Discussion, Acknowledgement and References.**
4. **The title page:** The complete title of the manuscript, the name of all the authors with their highest qualifications, the department or institution to which they are attached, address for correspondence with telephone numbers, e-mail, and Fax number.
5. The **Abstract:** All original articles must accompany a structured abstract up to 250 words. It should be structured as **Background, Methods, Results** and **Conclusion** followed by **3 to 5 Keywords**. Keywords will assist indexers in cross indexing the article as they are published with abstract. Use terms from the Medical Subject Headings (MeSH) list of index medicus (<http://www.nlm.nih.gov/mesh/MBrowser.html>). Authors need to be careful that the abstract reflects the content of the article accurately.
6. **Introduction:** This should summarize the purpose and the rationale for the study. It should neither review the subject extensively nor should it have data or conclusions of the study.
7. **Materials & Methods:** This should include exact method or observation or experiment. If an apparatus is used, its manufacturer's name and address should be given in parenthesis. If the method is established, give reference but if the method is new, give enough information so that another author is able to perform it. If a drug is used, its generic name, dose and route of administration must be given. For patients, age, sex with mean age ± standard deviation must be given. Statistical method must be mentioned and specify any general computer program used.
8. **Results:** It must be presented in the form of text, tables and illustrations. The contents of the tables should not be all repeated in the text. Instead, a reference to the table number may be given. Long articles may need sub-headings within some sections (especially the Results and Discussion parts) to clarify their contents.
9. **Discussion:** This should emphasize the present findings and the variations or similarities with other work done in the field by other workers. The detailed data should not be repeated in the discussion again. Emphasize the new and important aspects of the study and the conclusions that follow from them. It must be mentioned whether the hypothesis mentioned in the article is true, false or no conclusions can be derived.
10. **Acknowledgement:** All contributors who do not meet the criteria for authorship should be covered in the acknowledgement section. It should include persons who provided technical help, writing assistance and departmental head who only provided general support. Financial and material support should also be acknowledged.
11. **Tables:** In limited numbers should be submitted with the **captions placed above**. Do not submit tables as photograph. Place explanatory matters in footnotes, not in the heading.
12. **Figures:** Should be in limited numbers, with high quality art work and mounted on separate pages. The captions **should be placed below**. The same data should not be presented in tables, figures and text, simultaneously.
13. **References:** Should be as **Vancouver style**. All manuscripts should be accompanied by relevant references. The author should ensure reference to locally published studies by doing proper literature search. It may not be possible for the editor and reviewers to check the accuracy of all reference citations. To minimize such

Editorial Board (In alphabetical order)

1. **Mojtaba Abtahi** MD, Associate Professor of Otolaryngology, Isfahan University of Medical Sciences, Isfahan, Iran
2. **Khosrow Adeli** PhD, Professor of Clinical Biochemistry, University of Toronto, Toronto, Canada
3. **Mohammad Esmaeil Akbari** MD, Professor of Thoracic Surgery, Tehran University of Medical Sciences, Tehran, Iran
4. **Reza Amin** MD, Professor of Pediatrics, Shiraz University of Medical Sciences, Shiraz, Iran
5. **Babak Amra** MD, Professor of Pulmonology, Isfahan University of Medical Sciences, Isfahan, Iran
6. **Saeid Andalib Jortani** MD, Professor of Pathology, Leuis Weil University, USA
7. **Gholam Reza Askari** MD, PhD of Nutrition, Isfahan University of Medical Sciences, Isfahan, Iran
8. **Reza Bagherian-Sararoudi** PhD, Assistant Professor of Psychiatry, Isfahan University of Medical Sciences, Isfahan, Iran
9. **Majid Barekatain** MD, Associate Professor of Psychiatry, Isfahan University of Medical Sciences, Isfahan, Iran
10. **Ken Bassett** MD, Professor of Dermatology, Dermatology and Leshmaniosis Research Center, Canada
11. **Ahmad Chitsaz** MD, Associate Professor of Neurology, Isfahan University of Medical Sciences, Isfahan, Iran
12. **Afsoon Emami** MD, Associate Professor of Nephrology, Isfahan University of Medical Sciences, Isfahan, Iran
13. **Ali Reza Emami** MD, Associate Professor of Infectious Diseases, Isfahan University of Medical Sciences, Isfahan, Iran
14. **Shahin Emami** Biochemistry and Endocrinology, Saint Antoine Hospital, France
15. **Ebrahim Esfandiary** MD, PhD, Professor of Medical Anatomy, Isfahan University of Medical Sciences, Isfahan, Iran
16. **Faramarz Esmaeil beigi** MD, Professor of Internal Medicine, School of Medicine, USA
17. **Ziba Farajzadegan** MD, Associate Professor of Community Medicine, Isfahan University of Medical Sciences, Isfahan, Iran
18. **Hamid Fesharaki** Associate Professor of Ophthalmology, Isfahan University of Medical Sciences, Isfahan, Iran
19. **Marjane Foladi** PhD of Nursing, University of Flourida, USA
20. **Aziz Gahari** MD, Professor of Dermatology, Dermatology and Leshmaniosis Research Center, Canada
21. **Ali Gheisari** MD, Professor of Cardiovascular Surgery, California, USA
22. **Jafar Golshahi** MD, Associate Professor of Cardiology, Isfahan University of Medical Sciences, Isfahan, Iran
23. **Ali Mohammad Hanjani** MD, Professor of Cardiology, Shiraz University of Medical Sciences, Shiraz, Iran
24. **Mina Hasanzadeh** MD, NeuroImmunology, School of Pharmacy, USA
25. **Saeid Morteza Heidari** MD, Associate Professor of Anesthesiology, Isfahan University of Medical Sciences, Isfahan, Iran
26. **Mansour karamooz** MD, Professor of Urology, California, USA
27. **Roya Kelishadi** MD, Professor of Pediatrics, Isfahan University of Medical Sciences, Isfahan, Iran
28. **Behnaz Khani** MD, Associate Professor of Obstetrics & Gynecology, Isfahan University of Medical Sciences, Isfahan, Iran
29. **Majid Khazaie** MD, PhD, Associate Professor of Medical Physiology, Isfahan University of Medical Sciences, Isfahan, Iran
30. **Parvin Mahzooni** MD, Associate Professor of Pathology, Isfahan University of Medical Sciences, Isfahan, Iran
31. **Majid Maleki** MD, Professor of Cardiology, Shahid Beheshti University of Medical Sciences, Tehran, Iran
32. **Mohammad Mardani** MD, Associate Professor of Medical Anatomy, Isfahan University of Medical Sciences, Isfahan, Iran
33. **Atiye Moghisi** MD, Professor of Endocrinology, Endocrine and Metabolism Research Center, USA
34. **Mehdi Modares** MD, Professor of Ophthalmology, Tehran University of Medical Sciences, Tehran, Iran
35. **Hoshang Moein** MD, Professor of Neurosurgery, Isfahan University of Medical Sciences, Isfahan, Iran
36. **Fereydoun Nouhi** MD, Professor of Cardiology, Tehran University of Medical Sciences, Tehran, Iran
37. **Mohammadreza Nourbakhsh** Associate Professor of Physiotherapy, USA
38. **Farzin Pourfarzad** Department of Cell Biology and Genetics, Erasmus University MC Rotterdam, The Netherlands
39. **Masoud Pourmoghadass** MD, Professor of Cardiology, Isfahan University of Medical Sciences, Isfahan, Iran
40. **Hassan Razmjoo** MD, Professor of Ophthalmology, Isfahan University of Medical Sciences, Isfahan, Iran
41. **Mohammad Reza Safavi** MD, Assistant Professor of Anesthesiology, Isfahan University of Medical Sciences, Isfahan, Iran
42. **Reza Rouzbahani** MD, MPH, Assistant Professor of Community Medicine, Isfahan University of Medical Sciences, Isfahan, Iran
43. **Mansour Sholevar** MD, Associate Professor of Cardiology, Isfahan University of Medical Sciences, Isfahan, Iran
44. **Masoud Soheilian.** MD, Professor of Ophthalmology, Shahid Beheshti University of Medical Sciences, Tehran, Iran



JOURNAL OF ISFAHAN MEDICAL SCHOOL

Vol. 32, No. 304, 1st week, December 2014

Isfahan University of Medical Sciences

Responsible: Mansour Sholehvar MD

Emerita Editor-in-Chief: Roya Kelishadi MD

Editor-in-Chief: Majid Barekatain MD

Associate Editor: Reza Rouzbahani MD, MPH

Published by:

Isfahan University of Medical Sciences
E-mail: publications@mui.ac.ir

Office:

P.O. Box 81744-176, Isfahan, I.R. IRAN
Telefax: +98 311 7922291
E-mail: jims@med.mui.ac.ir

Website: <http://www.journals.mui.ac.ir/jims>

Office Secretary: Golnaz Rajabi

Copy edit, Layout edit, Design and Print:

Farzanegan Radandish Co.
P.O. Box 81465-1798, Isfahan, I.R. IRAN
Telefax: +98 311 6686302
E-mail: esfahanfarzanegan@yahoo.com
f.radandish@gmail.com
www.farzaneganco.ir
Circulation: 500

This journal is indexed in the following international indexers

- Scopus
- Chemical Abstracts
- Islamic World Science Citation Center (ISC)
- Academic Search Complete EBSCO Publishing databases
- WHO/EMRO/Index Medicus
- Google Scholar
- Index Copernicus
- Directory of Open Access Journal (DOAJ)
- Index Academicus
- Scientific Information Database (www.sid.ir)
- www.iranmedex.com

The online version is available in; IUMS website (www.journals.mui.ac.ir/jims), Iran Publications database (www.magiran.com), Scientific Information Database website (www.sid.ir) and in Health Researchers website (www.iranmedex.com).

Copyright: All rights reserved, no part may be reproduced without the prior permission of the publisher.